



**TUGAS AKHIR - TE 141599**

**STUDI ALIRAN DAYA SISTEM DISTRIBUSI RADIAL TIGA  
FASA METODE *NEWTON-RAPHSON* UNTUK MEMPERBAIKI  
PROFIL TEGANGAN MENGGUNAKAN REKONFIGURASI  
JARINGAN DAN PENEMPATAN KAPASITOR BANK**

Ainul Yaqin  
NRP 2213105079

Dosen Pembimbing  
Prof. Ir. Ontoseno Penangsang, M.Sc., Ph.D.  
Dr. Ir. Soedibyo, M.MT.

JURUSAN TEKNIK ELEKTRO  
Fakultas Teknologi Industri  
Institut Teknologi Sepuluh Nopember  
Surabaya 2015



**FINAL PROJECT - TE 141599**

**STUDY OF THREE PHASE RADIAL LOAD FLOW IN  
DISTRIBUTION NETWORK USING NEWTON-RAPHSON  
METHOD FOR IMPROVING VOLTAGE PROFILE WITH  
NETWORK RECONFIGURATION AND CAPACITOR  
PLACEMENT**

Ainul Yaqin  
NRP 2213105079

Supervisors  
Prof. Ir. Ontoseno Penangsang, M.Sc., Ph.D.  
Dr. Ir. Soedibyo, M.MT.

**DEPARTMENT OF ELECTRICAL ENGINEERING  
Faculty Of Industry Technology  
Sepuluh Nopember Institute Of Technology  
Surabaya 2015**

**STUDI ALIRAN DAYA SISTEM DISTRIBUSI RADIAL TIGA FASA  
METODE NEWTON-RAPHSON UNTUK MEMPERBAIKI PROFIL  
TEGANGAN MENGGUNAKAN REKONFIGURASI JARINGAN  
DAN PENEMPATAN KAPASITOR BANK**

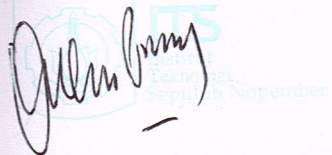
**TUGAS AKHIR**

Diajukan Guna Memenuhi Sebagian Persyaratan  
Untuk Memperoleh Gelar Sarjana Teknik  
Pada

Bidang Studi Teknik Sistem Tenaga  
Jurusan Teknik Elektro  
Institut Teknologi Sepuluh Nopember

Menyetujui :

**Dosen Pembimbing I**



**Dosen Pembimbing II**



**Prof. Ir. Ontoseno Penangsang, M.Sc., Ph.D**  
NIP. 194907151974121001

**Dr. Ir. Soedibyo, M.MT.**  
NIP. 195512071980031004



# **STUDI ALIRAN DAYA SISTEM DISTRIBUSI RADIAL TIGA FASA METODE NEWTON-RAPHSON UNTUK MEMPERBAIKI PROFIL TEGANGAN MENGGUNAKAN REKONFIGURASI JARINGAN DAN PENEMPATAN KAPASITOR BANK**

**Nama Mahasiswa : Ainul Yaqin**  
**NRP : 2213105079**  
**Dosen Pembimbing I : Prof. Ir. Ontoseno Penangsang, M.Sc, Ph.D**  
**NIP : 194907151974121001**  
**Dosen Pembimbing II : Dr. Ir. Soedibyo, M.MT.**  
**NIP : 195512071980031004**

## **ABSTRAK**

Analisa aliran daya merupakan bagian yang penting dalam melakukan desain dan operasi pada sistem distribusi tenaga listrik. Salah satu metode yang dapat digunakan untuk analisa aliran daya adalah metode *Newton-Raphson*. Metode tersebut umumnya digunakan untuk analisa sistem transmisi. Karena topologi sistem distribusi yang berbeda dengan transmisi maka, analisa aliran daya klasik tidak selalu dapat digunakan untuk sistem distribusi. Sistem distribusi umumnya radial dan beroperasi pada tegangan menengah serta tersambung dengan beban, oleh karena itu profil tegangan harus dijaga pada standart yang diperbolehkan. Pada tugas akhir ini diusulkan analisa aliran daya sistem distribusi radial tiga fasa seimbang dengan metode *Newton-Raphson* untuk aplikasi perbaikan profil tegangan pada bus dengan cara melakukan rekonfigurasi jaringan dan menempatkan kapasitor bank. Penilitian ini menggunakan IEEE 16 bus modifikasi untuk uji coba. Hasilnya metode *Newton-Raphson* dapat digunakan untuk aplikasi rekonfigurasi jaringan dan penempatan kapasitor bank. Hal tersebut dapat dilihat dengan validasi dengan ETAP yang menghasilkan kesalahan perhitungan terbesar dengan nilai 0,03285%. Rekonfigurasi jaringan dan penempatan kapasitor bank secara bersamaan akan menghasilkan perbaikan tegangan yang lebih besar.

**Kata Kunci :** Analisis Aliran Daya Sistem Distribusi, Rekonfigurasi jaringan, Kapasitor Bank

# **STUDI ALIRAN DAYA SISTEM DISTRIBUSI RADIAL TIGA FASA METODE *NEWTON-RAPHSON* UNTUK MEMPERBAIKI PROFIL TEGANGAN MENGGUNAKAN REKONFIGURASI JARINGAN DAN PENEMPATAN KAPASITOR BANK**

**Nama Mahasiswa : Ainul Yaqin**  
**NRP : 2213105079**  
**Dosen Pembimbing I : Prof. Ir. Ontoseno Penangsang, M.Sc, Ph.D**  
**NIP : 194907151974121001**  
**Dosen Pembimbing II : Dr. Ir. Soedibyo, M.MT.**  
**NIP : 195512071980031004**

## **ABSTRAK**

Analisa aliran daya merupakan bagian yang penting dalam melakukan desain dan operasi pada sistem distribusi tenaga listrik. Salah satu metode yang dapat digunakan untuk analisa aliran daya adalah metode *Newton-Raphson*. Metode tersebut umumnya digunakan untuk analisa sistem transmisi. Karena topologi sistem distribusi yang berbeda dengan transmisi maka, analisa aliran daya klasik tidak selalu dapat digunakan untuk sistem distribusi. Sistem distribusi umumnya radial dan beroperasi pada tegangan menengah serta tersambung dengan beban, oleh karena itu profil tegangan harus dijaga pada standart yang diperbolehkan. Pada tugas akhir ini diusulkan analisa aliran daya sistem distribusi radial tiga fasa seimbang dengan metode *Newton-Raphson* untuk aplikasi perbaikan profil tegangan pada bus dengan cara melakukan rekonfigurasi jaringan dan menempatkan kapasitor bank. Penilitian ini menggunakan IEEE 16 bus modifikasi untuk uji coba. Hasilnya metode *Newton-Raphson* dapat digunakan untuk aplikasi rekonfigurasi jaringan dan penempatan kapasitor bank. Hal tersebut dapat dilihat dengan validasi dengan ETAP yang menghasilkan kesalahan perhitungan terbesar dengan nilai 0,03285%. Rekonfigurasi jaringan dan penempatan kapasitor bank secara bersamaan akan menghasilkan perbaikan tegangan yang lebih besar.

**Kata Kunci :** Analisis Aliran Daya Sistem Distribusi, Rekonfigurasi jaringan, Kapasitor Bank



*Halaman ini sengaja dikosongkan*

# **STUDY OF THREE PHASE RADIAL POWER FLOW IN DISTRIBUTION NETWORK USING NEWTON- RAPHSON METHOD FOR IMPROVING VOLTAGE PROFILE WITH NETWORK RECONFIGURATION AND CAPACITOR PLACEMENT**

**Student Name**

: Ainul Yaqin

**Id Number**

: 2213105079

**Supervisor I**

: Prof. Ir. Ontoseno Penangsang, M.Sc, Ph.D

**Id Number**

: 19490715 197412 1 001

**Supervisor II**

: Dr. Ir. Soedibyo, M.MT.

**Id Number**

: 19551207 198003 1 004

## **ABSTRACT**

*Power flow analysis is the important part of distribution systems design and operation. The one of popular power flow method is Newton-Raphson. This method generally used in transmission systems analysis but, distribution system has the different characteristic that regular newton-raphson can't handle. Distribution system operating in middle voltage level, radial structure and connected directly to load, so the voltage profile is should be in a range of standard. This research proposed modified Newton-Raphson power flow method is used to improve voltage profile with reconfiguration and capacitor placement. This research using IEEE 16 bus modified to test proposed method. The result is Newton-Raphson is effective can be applied to reconfiguration and capacitor placement. The validation with ETAP show that the biggest error of method was 0,03285%. Reconfiguration and capacitor placement simultaneously can improve average voltage profile for each bus.*

**Keywords** : Distribution Power Flow Analysis, Reconfiguration, Capacitor Bank

*Halaman ini sengaja dikosongkan*

## KATA PENGANTAR

Puji Syukur penulis panjatkan kehadiran Allah SWT atas segala Rahmat, Karunia, dan Petunjuk yang telah dilimpahkan-Nya sehingga penulis mampu menyelesaikan tugas akhir dengan judul "**Studi Aliran Daya Sistem Distribusi Radial Tiga Fasa Metode Newton-Raphson Untuk Memperbaiki Profil Tegangan Menggunakan Rekonfigurasi Jaringan dan Penempatan Kapasitor Bank**". Tugas Akhir ini disusun sebagai salah satu persyaratan untuk menyelesaikan jenjang pendidikan S1 pada Bidang Studi Teknik Sistem Tenaga, Jurusan Teknik Elektro, Fakultas Teknologi Industri, Institut Teknologi Sepuluh Nopember. Atas selesainya penyusunan tugas akhir ini, penulis ingin mengucapkan terima kasih kepada :

1. Allah SWT atas limpahan rahmat dan karunia-Nya.
2. Bapak dan Ibu, Moh. Arifin, Rahmatul Ummah, serta seluruh keluarga yang selalu mendukung penulis dalam menyelesaikan studi.
3. Prof. Ir. Ontoseno Penangsang, M.Sc, PhD dan Dr. Ir. Soedibyo M.MT sebagai dosen pembimbing yang telah memberikan arahan dan perhatiannya dalam tugas akhir.
4. Prof. Dr. Ir. Adi Soeprijanto, MT. yang telah memberikan bimbingan, ilmu, serta nasihat selama penulis melaksanakan studi.
5. Dimas Fajar Uman Putra, ST., MT., Suyanto ST., MT. dan Dr. Eng. Rony Seto Wibowo, dan yang telah memberikan dukungan penulis dalam menyelesaikan tugas akhir.
6. Keluarga Laboratorium simulasi B103, albert, khakim, surya, citra, ayla, reyhan, nani, fadhli, dan kharis serta trainee 2012 serta 2013 yang sudah banyak membantu.
7. Seluruh dosen yang telah memberikan ilmunya selama kuliah, karyawan, dan keluarga besar Jurusan Teknik Elektro ITS baik LJ maupun Reguler yang tidak bisa disebutkan satu per satu.
8. Semua rekan-rekan kuliah yang sudah banyak membantu
9. Semua rekan kos yang selalu menemani saat susah maupun senang.

Semoga tugas akhir ini bermanfaat bagi mahasiswa maupun orang lain. Penulis menyadari bahwa masih banyak kekurangan, untuk itu kritik dan saran diharapkan untuk penyempurnaan tugas akhir ini.

Surabaya, 3 juli 2015  
Penulis

## DAFTAR ISI

|   |     |
|---|-----|
| <b>HALAMAN SAMPUL</b>   |     |
| <b>HALAMAN JUDUL</b>  |     |
| <b>PERNYATAAN KEASLIAN TUGAS AKHIR</b>                                    |     |
| <b>LEMBAR PENGESAHAN</b>  |     |
| <b>ABSTRAK .....</b>  | v   |
| <b>ABSTRACT .....</b>   | vii |
| <b>KATA PENGANTAR .....</b>   | ix  |
| <b>DAFTAR ISI .....</b>   | xi  |
| <b>DAFTAR GAMBAR .....</b>  | ix  |
| <b>DAFTAR TABEL .....</b>   | xi  |
| <br><b>BAB 1 PENDAHULUAN</b>  |     |
| 1.1 Latar Belakang .....  | 1   |
| 1.2 Permasalahan .....  | 2   |
| 1.3 Tujuan .....  | 2   |
| 1.4 Batasan Masalah .....   | 2   |
| 1.5 Metodologi .....  | 2   |
| 1.6 Sistematika Penulisan .....   | 4   |
| 1.7 Relevansi .....   | 4   |
| <br><b>BAB 2 SISTEM DISTRIBUSI TENAGA LISTRIK DAN ANALISA ALIRAN DAYA</b> |     |
| 2.1 Sistem Distribusi Tenaga Listrik .....                                | 5   |
| 2.2.1 Jaringan Distribusi Radial .....                                    | 6   |
| 2.2.1.1 Jaringan radial tipe pohon .....                                  | 7   |
| 2.2.1.2 Jaringan radial dengan <i>tie-switch</i> pemisah .....            | 8   |
| 2.2.1.3 Jaringan dengan pembagian fasa area .....                         | 9   |
| 2.2.1.4 Jaringan radial tipe pusat beban .....                            | 10  |
| 2.2 Analisa Aliran Daya .....   | 10  |
| 2.2.1 Metode <i>Newton-Raphson</i> .....                                  | 11  |
| 2.2.1.1 Fungsi Non-Linier .....   | 11  |
| 2.2.2 Penyelesaian aliran daya metode <i>Newton-Raphson</i> .....         | 15  |
| 2.3 Kapasitor Bank .....  | 17  |

## **BAB 3 ANALISA ALIRAN DAYA SISTEM DISTRIBUSI METODE NEWTON-RAPHSON, REKONFIGURASI JARINGAN DAN PENEMPATAN KAPASITOR BANK**

|     |   |    |
|-----|---|----|
| 3.1 | Studi Aliran Daya Metode <i>Newton-Raphson</i> Pada Sistem Distribusi Radial..... | 20 |
| 3.2 | Rekonfigurasi Jaringan distribusi .....   | 29 |
| 3.3 | <i>Loss sensitifity factor (LSF)</i> untuk penempatan kapasitor bank ...          | 31 |
| 3.4 | Sistem distribusi IEEE 16 bus .....   | 31 |

## **BAB 4 SIMULASI DAN ANALISIS**

|     |  |    |
|-----|--|----|
| 4.1 | Analisa aliran daya sistem IEEE 14 bus (Kasus1) .....                                | 33 |
| 4.2 | Perbandingan analisis aliran daya metode <i>Newton-Raphson</i> dengan ETAP 12.6..... | 34 |
| 4.3 | Rekonfigurasi jaringan pada sistem IEEE 16 bus(Kasus2) .....                         | 37 |
| 4.4 | Penempatan kapasitor bank pada sistem IEEE 16 bus (Kasus 3) .....                    | 43 |
| 4.5 | Rekonfigurasi dan Penempatan kapasitor bank pada sistem IEEE 16 bus(Kasus 4) .....   | 44 |

## **BAB 5 PENUTUP**

|     |                  |    |
|-----|------------------|----|
| 5.1 | Kesimpulan ..... | 49 |
| 5.2 | Saran .....      | 49 |

## DAFTAR TABEL

|           |  |    |
|-----------|--|----|
| Tabel 2.1 | Hasil iterasi contoh 2.2 .....   | 15 |
| Tabel 3.1 | Data saluran dan beban contoh 3.1 .....  | 24 |
| Tabel 3.2 | Hasil analisa aliran daya metode <i>Newton-Raphson</i> contoh 3.1 .....                              | 27 |
| Tabel 3.3 | Jumlah kombinasi konfigurasi baru yang mungkin terjadi pada jaringan sederhana pada gambar 3.3 ..... | 30 |
| Tabel 3.4 | Data saluran IEEE 16 bus modifikasi.....   | 33 |
| Tabel 3.5 | Data beban IEEE 16 bus modifikasi.....   | 34 |
| Tabel 4.1 | Studi kasus pada simulasi aliran daya .....  | 35 |
| Tabel 4.2 | Hasil perhitungan tegangan metode <i>Newton-Raphson</i> pada sistem IEEE 16 bus modifikasi.....      | 36 |
| Tabel 4.3 | Kombinasi rekonfigurasi pada sistem IEEE 16 bus modifikasi.....                                      | 37 |
| Tabel 4.4 | Hasil analisa tegangan pada konfigurasi baru .....   | 40 |
| Tabel 4.5 | Hasil perhitungan indeks <i>Loss Sensitivity Factor</i> konfigurasi awal .....                       | 42 |
| Tabel 4.6 | Hasil analisis tegangan akibat penempatan kapasitor bank   | 43 |
| Tabel 4.7 | Hasil perhitungan indeks <i>Loss Sensitivity Factor</i> pada konfigurasi baru.....                   | 44 |
| Tabel 4.8 | Hasil analisis tegangan akibat rekonfigurasi dan penempatan kapasitor bank .....                     | 45 |
| Tabel 4.9 | Hasil Validasi perhitungan metode <i>Newton-Raphson</i> pada IEEE 16 bus modifikasi.....             | 47 |



*Halaman ini sengaja dikosongkan*

## DAFTAR GAMBAR

|             |  |    |
|-------------|--|----|
| Gambar 1.1  | Flow Chart Penyelesaian Tugas Akhir .....  | 3  |
| Gambar 2.2  | Sistem Tenaga Listrik Secara Umum .....  | 8  |
| Gambar 2.3  | Jaringan Distribusi Radial .....   | 7  |
| Gambar 2.4  | Jaringan Radial Tipe Pohon.....  | 8  |
| Gambar 2.5  | Sistem Jaringan Distribusi Radial Dengan <i>Tie-Switch</i> .   | 9  |
| Gambar 2.6  | Jaringan Distribusi Radial Dengan <i>Phase Area</i> .....  | 9  |
| Gambar 2.7  | Ilustrasi Metode <i>Newton-Raphson</i> .....   | 11 |
| Gambar 2.8  | Rangkaian Konduktor Sebelum Pemasangan Kapasitor   | 18 |
| Gambar 2.9  | Rangkaian Konduktor Setelah Pemasangan Kapasitor.  | 18 |
| Gambar 2.10 | Aliran Daya Tanpa Kompensasi.....  | 18 |
| Gambar 2.11 | Aliran Daya Dengan Kompensasi .....  | 18 |
| Gambar 3.1  | <i>Flow Chart</i> Penyelesaian Analisa Aliran Daya .....   | 19 |
| Gambar 3.2  | Single Line Diagram Contoh 3.1 .....   | 23 |
| Gambar 3.3  | Ilustrasi Rekonfigurasi Pada Jaringan Distribusi.....  | 29 |
| Gambar 3.4  | Tie dan Sectionalizing switch pada jaringan distribusi.  | 28 |
| Gambar 3.5  | Saluran distribusi dengan impedansi dan beban .....  | 28 |
| Gambar 3.6  | Flow chart penentuan lokasi kapasitor bank.....  | 32 |
| Gambar 3.7  | Single line diagram sistem IEEE 16 bus modifikasi....  | 28 |
| Gambar 4.1  | Grafik tegangan setiap bus pada kondisi awal.....  | 36 |
| Gambar 4.2  | Rata-rata tegangan sistem dengan setiap kombinasi<br>switch.....   | 38 |
| Gambar 4.3  | Konfigurasi baru IEEE 16 bus modifikasi setelah<br>rekonfigurasi.....  | 41 |
| Gambar 4.4  | Grafik perbandingan tegangan konfigurasi awal dan<br>konfigurasi baru.....   | 41 |
| Gambar 4.5  | Grafik Perbandingan Tegangan Konfigurasi awal dan<br>tegangan akibat pemasangan kapasitor bank .....   | 44 |
| Gambar 4.6  | Grafik Perbandingan Tegangan Konfigurasi awal dan<br>tegangan akibat rekonfigurasi jaringan dan pemasangan<br>kapasitor bank.....                    | 44 |
| Gambar 4.7  | Grafik perbandingan Tegangan rata-rata untuk semua<br>studi kasus .....  | 48 |
| Gambar 4.8  | Grafik perbandingan Tegangan Hasil metode <i>Newton-<br/>Raphson</i> pada IEEE 16 bus modifikasi dengan konfigurasi<br>baru dan Kapasitor Bank ..... | 48 |



*Halaman ini sengaja dikosongkan*

## BIODATA PENULIS



Penulis bernama lengkap Ainul Yaqin. Anak pertama dari dua bersaudara dari pasangan Bapak Moh. Arifin dan Rohmtul Ummah. Penulis lahir pada tanggal 24 Maret 1991 di Kota Kediri. Mengawali pendidikannya di MIN Tanjung Tani Kabupaten Nganjuk, pada tahun 1997-2003. Kemudian melanjutkan pendidikan pada tingkat menengah pertama di MTsN Tanjung Tani Kabupaten Nganjuk pada tahun 2003- 2006. Setelah itu, penulis melanjutkan jenjang pendidikannya di MAN 3 Kota Kediri pada tahun 2006–2009. Setelah lulus menyelesaikan pendidikannya di tingkat SMA pada tahun 2009, penulis meneruskan pendidikannya ke jenjang perkuliahan di Institut Teknologi Sepuluh Nopember Surabaya, Fakultas Teknologi Industri, Jurusan Teknik Elektro, bidang studi Teknik Sistem Tenaga. Semasa perkuliahan penulis belum pernah mengikuti organisasi namun pada akhir tahun perkuliahan penulis aktif sebagai asisten Laboratorium Simulasi Sistem Tenaga Listrik Jurusan Teknik Elektro FTI ITS pada tahun 2013-2014.

## BAB I

### PENDAHULUAN

#### 1.1 Latar Belakang

Analisa aliran daya merupakan bagian yang penting dalam melakukan desain dan operasi pada sistem distribusi tenaga listrik. Salah satu metode yang banyak digunakan untuk analisa aliran daya adalah metode *Newton-Raphson*. Metode tersebut umumnya digunakan untuk analisa sistem transmisi. Topologi sistem distribusi yang berbeda dengan sistem transmisi menyebabkan analisa aliran daya klasik tidak selalu konvergen bila di terapkan di sistem distribusi[1]. Sistem distribusi dioperasikan dengan tegangan rendah dan langsung tersambung dengan beban, oleh karena itu profil tegangan harus dijaga pada standart yang diperbolehkan. Pada tugas akhir ini diusulkan analisa aliran daya sistem distribusi radial tiga fasa seimbang dengan metode *Newton-Raphson* untuk aplikasi perbaikan profil tegangan pada bus dengan cara melakukan rekonfigurasi jaringan dan menempatkan kapasitor bank. Dengan upaya rekonfigurasi jaringan dan penempatan kapasitor bank, diharapkan profil tegangan akan menjadi lebih baik.

#### 1.2 Rumusan Masalah

Hal yang menjadi permasalahan dan akan dibahas dalam tugas akhir ini adalah :

1. Memodifikasi metode standart *Newton-Raphson* agar dapat di implementasikan pada sistem distribusi radial tiga fasa seimbang.
2. Meningkatkan profil tegangan bus pada jaringan distribusi radial.
3. Memperbaiki profil tegangan pada bus menggunakan rekonfigurasi jaringan dan menempatkan kapasitor bank.

Untuk memperjelas bahasan perlu adanya pembatasan masalah. Adapun batasan tersebut adalah :

Metode analisa aliran daya yang digunakan adalah *Newton-Raphson* dengan saluran dan beban seimbang. Nilai kapasitor bank yang digunakan dibatasi sesuai dengan nilai yang terdapat dilapangan[2].

#### 1.3 Tujuan

Tujuan yang ingin dicapai dalam tugas akhir ini adalah memperlajari cara pembuatan simulasi aliran daya sistem distribusi

radial menggunakan metode *Newton-Raphson*. Tegangan setiap bus hasil simulasi dijadikan acuan melakukan rekonfigurasi jaringan dan menempatkan kapasitor bank untuk meningkatkan profil tegangan meningkat.

#### 1.4 Metodologi

Metodologi yang digunakan dalam penyusunan tugas ini adalah sebagai berikut:

1. Pengambilan Data

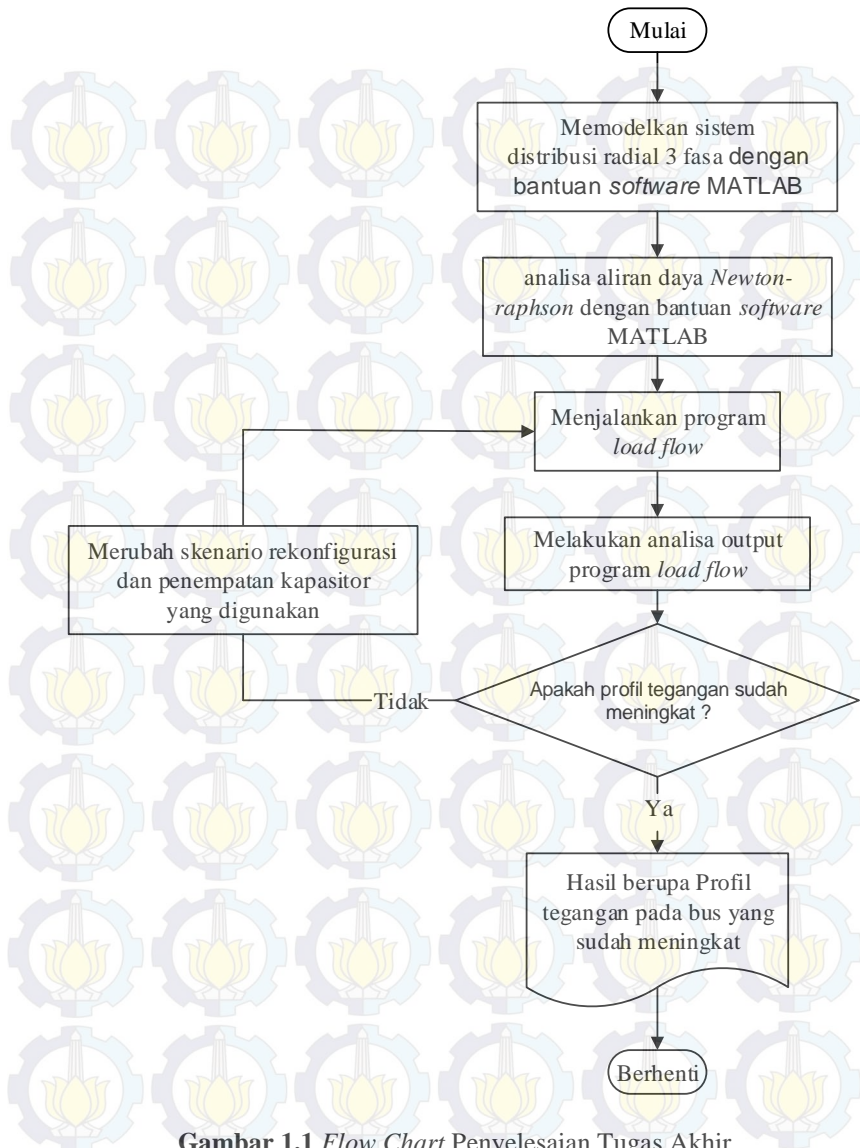
Pengerjaan tugas akhir ini dimulai dengan mengumpulkan data berupa *single line diagram*, data beban serta data setiap saluran. Semua data yang didapatkan dituliskan pada script software Matlab.

2. Simulasi dan Analisis Data

Langkah awal yang dilakukan adalah menentukan persamaan aliran arus setiap bus menggunakan formulasi *Newton-Raphson* untuk sistem distribusi. Perhitungan aliran daya dimulai dengan membentuk matrik  $F$  dan matrik  $Y_{bus}$  sesuai dengan persamaan (3.7) dan (3.15). Langkah selanjutnya adalah membuat *jacobian* matrik dibuat berdasarkan persamaan (3.10) sampai (3.13). Untuk menghitung tegangan bus pertama dihitung matrik  $\Delta\delta$  dan  $\Delta V$  yang merepresentasikan selisih tegangan dan sudut hasil perhitungan dengan tegangan sebenarnya. Hasil perhitungan tersebut ditambah dengan nilai awal (*initial value*), sehingga didapatkan tegangan bus dan sudut tegangan setiap bus yang baru. Proses perhitungan di ulang untuk mendapatkan nilai akurat sesuai dengan batasan iterasi dan toleransi yang ditentukan. Dengan mengacu pada hasil analisa aliran daya tersebut tegangan bus diperbaiki dengan cara melakukan rekonfigurasi jaringan serta menempatkan kapasitor bank. Semua perhitungan dilakukan dengan bantuan software Matlab 2013. Hasil perhitungan yang didapatkan akan dibandingkan dengan simulasi menggunakan software ETAP 12.6 untuk validasi dan pembanding.

3. Penarikan Kesimpulan

Dari hasil analisa data, penarikan kesimpulan dilakukan untuk menjawab permasalahan yang ada.



Gambar 1.1 Flow Chart Penyelesaian Tugas Akhir

## **1.6 Sistematika**

Sistematika penulisan dalam Tugas Akhir ini terdiri atas lima bab dengan uraian sebagai berikut :

Bab 1 : Pendahuluan

Bab ini membahas tentang penjelasan mengenai latar belakang, permasalahan dan batasan masalah, tujuan, metode penelitian, sistematika pembahasan, dan relevansi.

Bab 2 : Sistem Distribusi Tenaga Listrik

Berisi pembahasan mengenai sistem distribusi tenaga listrik, teori tentang standart *Newton-Raphson* dan teori mengenai rekonfigurasi jaringan dan penempatan kapasitor bank.

Bab 3 : Analisis Aliran Daya Pada Sistem Distribusi, Rekonfigurasi jaringan dan Penempatan kapasitor bank

Bab ini membahas mengenai karakteristik sistem distribusi, analisis aliran daya menggunakan *Newton-raphson* serta sistem IEEE 16 bus modifikasi yang dijadikan objek penelitian.

Bab 4 : Simulasi dan Analisis

Bab ini membahas hasil perhitungan analisis aliran daya pada sistem distribusi IEEE 16 bus modifikasi dan perbandingannya dengan hasil *software* ETAP. Pada bab ini juga dijelaskan analisa rekonfigurasi jaringan dan penempatan kapasitor bank dan efeknya terhadap perbaikan profil tegangan.

Bab 5 : Penutup

Bab ini berisi tentang kesimpulan dan saran dari hasil keseluruhan pembahasan yang telah dilakukan.

## **1.7 Relevansi**

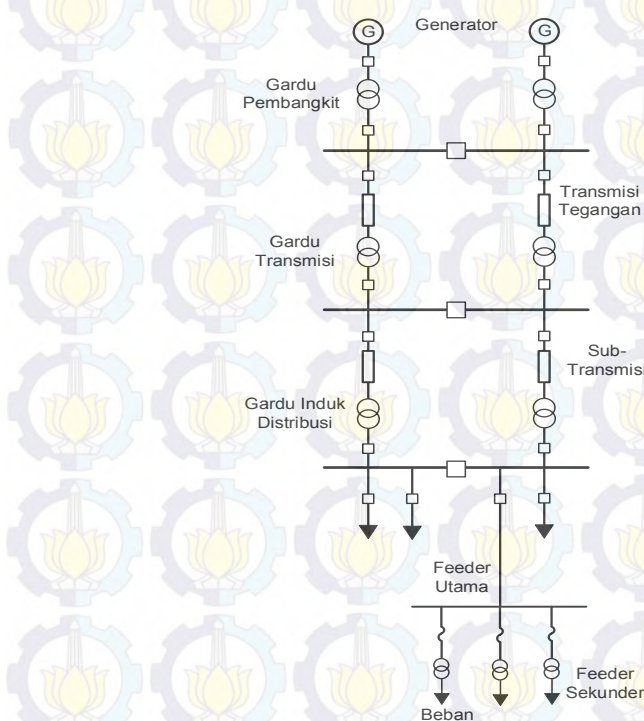
Hasil yang diperoleh dari tugas akhir ini diharapkan dapat memberi manfaat bagi pihak yang berkepentingan seperti operator jaringan distribusi untuk desain dan operasi jaringan. Selain itu tugas akhir ini diharapkan dapat menjadi referensi bagi mahasiswa lain yang akan melakukan penelitian tentang perbaikan parameter tegangan sistem distribusi.

## BAB II

# SISTEM DISTRIBUSI TENAGA LISTRIK

### 2.1 Sistem Distribusi Tenaga Listrik[3]

Sistem tenaga listrik secara umum terdiri dari sistem pembangkitan, sistem transmisi dan sistem distribusi. Tenaga listrik yang dihasilkan pembangkit dengan tegangan 11-24 kV akan dinaikkan menjadi 70-500 kV untuk transmisi. Hal tersebut dilakukan untuk mengurangi rugi daya pada transmisi. Dari saluran transmisi tegangan akan diturunkan kembali menjadi 20 kV di gardu distribusi kemudian akan di salurkan ke beban tegangan menengah atau ke trafo distribusi untuk saluran sekunder.



**Gambar 2.1** Sistem Tenaga Listrik Secara Umum

Sistem distribusi digunakan untuk menyalurkan daya listrik ke pusat-pusat beban. Sistem ini menggunakan saluran udara, kabel udara maupun kabel tanah sesuai dengan kondisi, lingkungan dan keandalan yang diinginkan. Secara umum komponen sistem distribusi adalah sebagai berikut :

a. Gardu Induk

Gardu induk merupakan unit sistem distribusi yang berfungsi untuk menerima daya dari sistem transmisi untuk kemudian diteruskan sistem distribusi. Pada gardu induk ini tegangan berasal dari sistem transmisi tegangan tinggi yaitu 70kV, 154kV, 220kV atau 500kV.

b. Jaringan Subtransmisi

Jaringan Subtransmisi merupakan jaringan yang berfungsi untuk mengalirkan daya dari gardu induk menuju gardu-gardu distribusi. Namun jaringan subtransmisi belum tentu ada di seluruh sistem distribusi, karena jaringan subtransmisi merupakan jaringan dengan tegangan peralihan yaitu antara 170-150kV.

c. Gardu Distribusi

Gardu Distribusi merupakan komponen dalam sistem distribusi yang berfungsi untuk menyalurkan daya dari Gardu Induk atau dari jaringan subtransmisi yang kemudian disalurkan pada penyulang primer atau langsung kepada konsumen-konsumen besar yang membutuhkan tegangan menengah 20 kV.

d. Jaringan distribusi Primer

Saluran penyulang utama merupakan rangkaian yang berfungsi menghubungkan gardu distribusi dengan transformator distribusi.

e. Transformator Distribusi.

Transformator Distribusi adalah transformator yang berfungsi untuk mengubah tegangan menengah 20KV menjadi tegangan rendah 220/380V. Kemudian tegangan tersebut disalurkan kepada beban-beban yang beroperasi pada tegangan rendah seperti perumahan atau perkantoran.

f. Jaringan distribusi Sekunder.

Rangkaian sekunder merupakan rangkaian yang berasal dari gardu distribusi yang berfungsi untuk melayani konsumen yang tersebar di sepanjang jaringan distribusi dengan rating tegangan 220/380V.

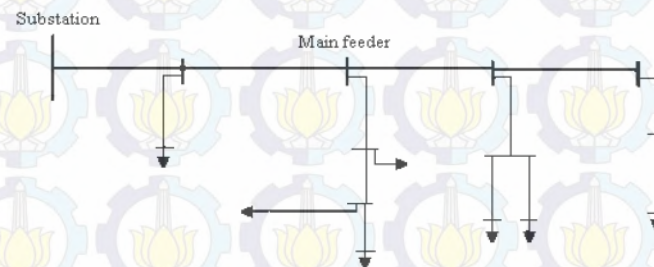
### 2.2.1 Jaringan Distribusi Radial

Distribusi radial adalah jaringan yang mempunyai karakteristik terdiri dari satu saluran antara titik sumber dengan titik bebananya. Distribusi radial merupakan bentuk sistem distribusi yang paling banyak digunakan dengan spesifikasi sebagai berikut :

- a. bentuknya sederhana
- b. membutuhkan biaya investasi yang murah.

Disisi lain jenis distribusi ini punya beberapa kekurangan yaitu:

- c. kualitas daya yang lebih rendah karena mempunyai drop tegangan yang relatif besar
- d. dan tingkat keandalan jaringan yang rendah karena beban hanya di supply hanya dengan satu sumber.



**Gambar 2.2 Jaringan Distribusi Radial**

Untuk melokalisir gangguan, pada bentuk radial ini biasanya dilengkapi dengan perlatan pengaman berupa fuse, *sectionalizer*, *recloser*, atau alat pemutus beban lainnya yang fungsinya melokalisir gangguan.

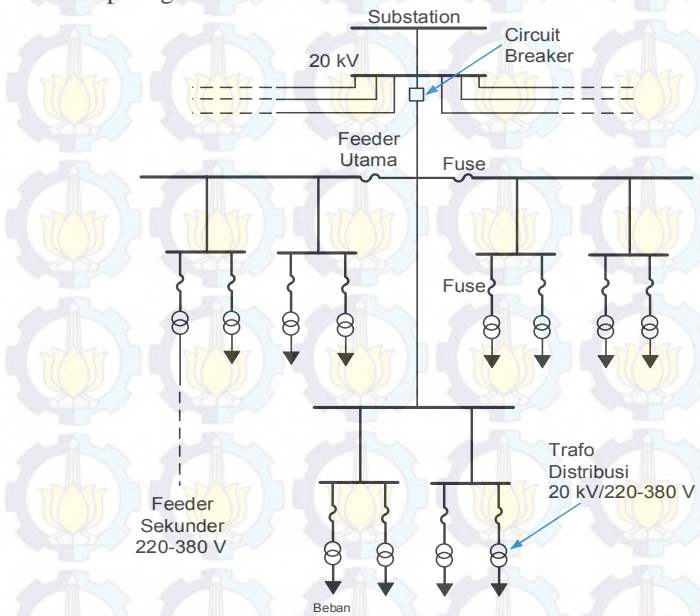
Sitem distribusi radial dapat dibedakan lagi menjadi beberapa tipe jaringan. Berikut ini beberapa modifikasi jaringan distribusi radial: sistem radial pohon, sistem radial dengan *tie-switch* pemisah, sistem radial dengan pembagian fasa area serta sistem radial dengan pusat beban.

#### 2.2.1.1 Jaringan Radial Tipe Pohon

Sistem radial jenis ini dinamakan radial pohon karena dari bentuknya menyerupai cabang pohon. Jaringan ini merupakan bentuk yang paling sederhana dari distribusi radial. Saluran utama ditarik

percabangan ke saluran lateral, dari saluran lateral tadi ditarik lagi saluran sublateral yang kemudian tersambung ke beban.

Sesuai dengan beban yang ditanggung saluran, ukuran saluran utama memiliki ukuran terbesar, ukuran saluran lateral akan lebih kecil dari saluran utama sampai saluran sublateral yang mempunyai ukuran saluran paling kecil.

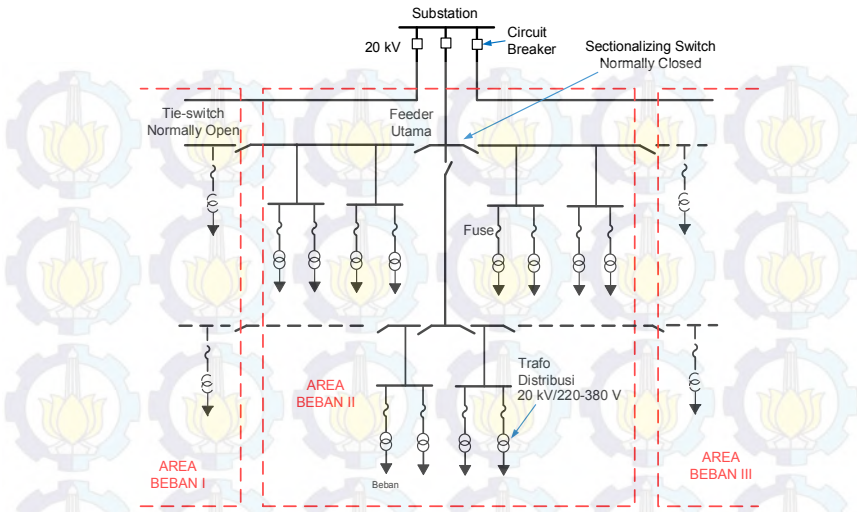


Gambar 2.3 Jaringan Radial Tipe Pohon

#### 2.2.1.2 Jaringan Radial dengan Tie Switch Pemisah

Penggunaan *tie-switch* bertujuan untuk meningkatkan keandalan sistem. Apabila terdapat gangguan pada suatu penyulang maka akan dilakukan manuver dengan menggunakan *tie-switch* untuk memindahkan suplai beban ke penyulang yang lain. Sistem ini merupakan pengembangan dari sistem radial pohon. Sistem radial dengan *tie switch* pemisah dapat dilihat pada gambar 2.3

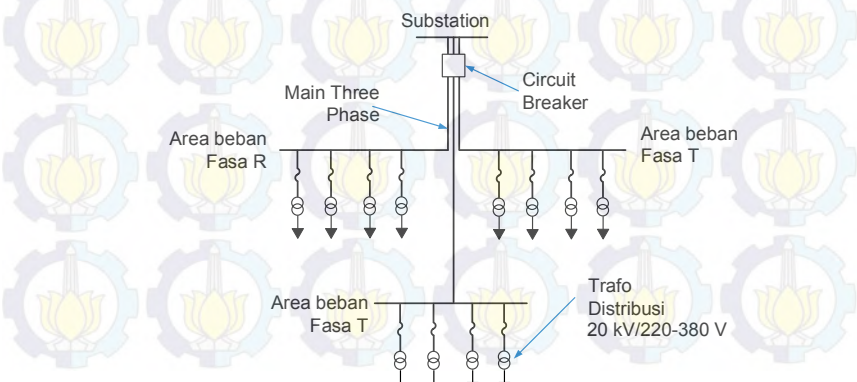
Dengan adanya *tie-switch* dan *sectionalizing switch* pada tiap saluran maka konfigurasi sistem ini juga dapat diubah dengan cara mengubah kombinasi buka dan tutup *switch*.



**Gambar 2.4 Jaringan Distribusi Radial Dengan Tie-Switch**

#### 2.2.1.3 *Jaringan Radial dengan Pembagian Fasa Area*

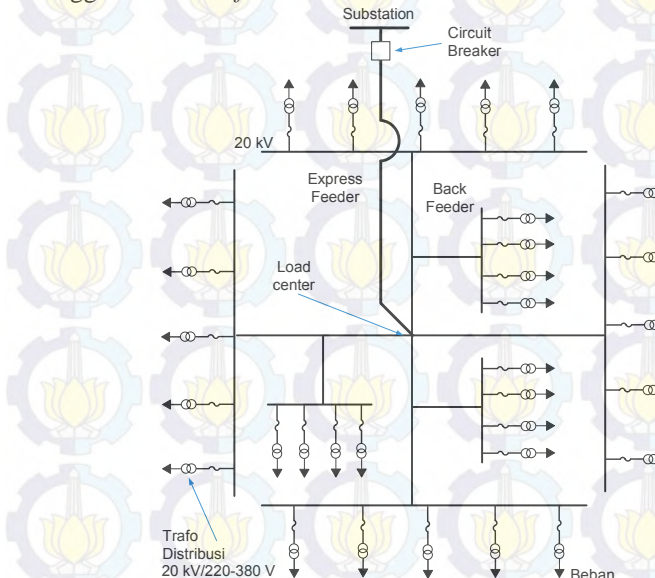
Sebagaimana namanya, jaringan ini mempunyai karakteristik satu fasa hanya melayani satu area tertentu. Jaringan jenis ini hanya cocok untuk daerah beban yang stabil dan penambahan maupun pembagian bebananya dapat diatur merata dan seimbang pada setiap fasanya. Contoh dari sistem jaringan ini dapat dilihat pada gambar 2.4



**Gambar 2.5 Jaringan Distribusi Radial Dengan Phase Area**

#### 2.2.1.4 Jaringan radial tipe pusat beban

Bentuk jaringan ini mensupply daya dengan menggunakan penyulang utama yang disebut *express feeder* yang langsung tersambung dengan pusat beban. Dari pusat beban tersebut listrik disebarluaskan menggunakan *back feeder* secara radial



Gambar 2.6 Jaringan Distribusi Dengan Pusat Beban

## 2.2 Simulasi Dan Analisis Aliran Daya[4]

Analisis aliran daya sangat penting baik untuk perencanaan sistem yang baru maupun untuk pengembangan sistem di masa mendatang. Dengan menggunakan simulasi dan analisis aliran daya dapat diperoleh informasi mengenai akibat perubahan beban, perubahan pembebanan pembangkit, serta perubahan konfigurasi sistem.

Dengan melakukan perhitungan aliran daya pada sistem tenaga listrik dengan menggunakan program komputer, digunakan rengakaiian pengganti komponen-komponen sistem tenaga dan semua besaran di berikan dalam P.U.(per-unit). Metode perhitungan aliran daya yang secara umum adalah metode *Gauss-Seidel*, *Newton-Raphson*, dan *Fast-Decoupled*.

Perhitungan aliran daya dilakukan untuk perencanaan, operasi dan pengendalian operasi sistem tenaga listrik dimana kondisi operasi statis sistem tenaga di ditentukan oleh batasan daya atau tegangan pada bus-bus yang terdapat pada sistem.

Secara umum klasifikasi bus dibagi menjadi 3 yaitu :

1. Load (P-Q) bus atau bus beban, yaitu bus dimana daya nyata  $S_i$  ditentukan
2. Generator (P-V) bus, yaitu bus dimana daya aktif dan tegangan yang tetap.
3. Slack (Swing bus) adalah bus yang harga tegangan dan sudutnya tetap.

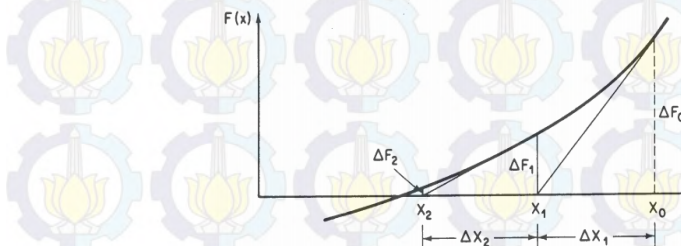
### 2.2.1 Metode Newton-Raphson

Metode Newton-Raphson banyak digunakan untuk menyelesaikan persamaan non-linier. Dengan metode ini persamaan non-linier diubah ke dalam bentuk linier dan digunakan untuk menentukan solusi dari persamaan non-linier tersebut. Metode ini diterapkan untuk menentukan satu besaran yang tidak diketahui dalam satu persamaan, atau sistem dengan sejumlah persamaan dengan besaran yang tidak diketahui jumlah persamaan maupun besarnya.

#### 2.2.1.1 Fungsi non-linier

Misalkan  $F(x) = 0$  sebagai persamaan non-linier, dimana setiap nilai  $x$  yang memenuhi nilai  $F(x) = 0$  adalah akar dari Misalkan  $F(x)$ . Untuk mendapatkan akar dari persamaan tersebut diperlukan perkiraan awal untuk  $x$  pada sekitar nilai tersebut dengan perkiraan awal yaitu  $x_0$ ,

$$F(x) = \Delta F_0 \quad (2.1)$$



**Gambar 2.7** Ilustrasi Metode Newton-Raphson

Dimana  $\Delta F_0$  adalah kesalahan (error) bila  $x_0$  bukan merupakan akar dari  $F(x)$ . hal ini ditunjukkan pada gambar 2.5, garis singgung ditarik pada titik dikurva yang sesuai dengan  $x_0$ , dan diproyeksikan sampai memotong sumbu  $x$  untuk menentukan perkiraan kedua dari akar dan seterusnya sampai  $\Delta F_0$  lebih kecil dari nilai toleransi. dimana bila  $y(x) = 0$  diberikan rumus perkiraan nilai akar pada setiap iterasi,

$$x_{n+1} = x_n - \frac{F(x_n)}{F'(x_n)} \quad \text{atau} \quad x_{n+1} = x_n - \Delta x_n \quad (2.2)$$

Berikut adalah contoh 2.1 aplikasi perhitungan *Newton-Raphson* :

$$F(x) = x^3 - 64$$

$$F'(x) = 3x^2$$

selanjutnya digunakan perkiraan awal  
 $x_0 = 5$

proses iterasi berjalan sesuai persamaan (2.2) sehingga menghasilkan :

$$\Delta x_n = \frac{F(x_n)}{F'(x_n)}$$

$$\Delta x_n = \frac{x^3 - 64}{3x^2}$$

pada iterasi pertama diperoleh

$$\Delta x_1 = \frac{125 - 64}{75} = 0,8133$$

maka

$$x_1 = 5 - 0,8133 = 4,1867$$

untuk iterasi kedua,

$$\Delta x_2 = \frac{(4,1867)^2 - 64}{3(4,1867)^2} = 0,1785 \text{ dan}$$

$$x_2 = 4,1867 - 0,1785 = 4,0082$$

Proses ini dilakukan sampai akurasi yang diinginkan tercapai. untuk mencari solusi masalah yang terdiri dari lebih dari satu persamaan metode newton raphson juga dapat digunakan. misalkan diketahui dua persamaan non-linier  $F_1, F_2$  maka

$$F_1(x_1, x_2)=0, F_2(x_1, x_2)=0 \quad (2.3)$$

matriks jacobian untuk 2x2 persamaan adalah

$$\begin{pmatrix} \frac{\partial F_1}{\partial x_1} & \frac{\partial F_1}{\partial x_2} \\ \frac{\partial F_2}{\partial x_1} & \frac{\partial F_2}{\partial x_2} \end{pmatrix} \quad (2.4)$$

Hubungan linier untuk perubahan kecil  $(\Delta x_1, \Delta x_2)$  diberikan pada persamaan (2.5)

$$\begin{pmatrix} \frac{\partial F_1}{\partial x_1}^k & \frac{\partial F_1}{\partial x_2}^k \\ \frac{\partial F_2}{\partial x_1}^k & \frac{\partial F_2}{\partial x_2}^k \end{pmatrix} \begin{pmatrix} \Delta x_1^{(k+1)} \\ \Delta x_2^{(k+1)} \end{pmatrix} = \begin{pmatrix} \Delta F_1^{(k)} \\ \Delta F_2^{(k)} \end{pmatrix} \quad (2.5)$$

Persamaan ini kemudian diselesaikan secara langsung untuk koreksi pertama. koreksi tersebut kemudian di tambahkan ke variabel pada iterasi awal (nol) untuk memperoleh nilai variabel pada iterasi pertama

$$\begin{pmatrix} x_1^{(k+1)} \\ x_2^{(k+1)} \end{pmatrix} + \begin{pmatrix} x_1^{(k)} \\ x_2^{(k)} \end{pmatrix} = \begin{pmatrix} \Delta x_1^{(k+1)} \\ \Delta x_2^{(k+1)} \end{pmatrix} \quad (2.6)$$

berikut ini contoh 2.2 aplikasi metode *Newton-Raphson* untuk perhitungan persamaan 2x2 menggunakan metode *Newton-Raphson* :

$$F_1 = x_1^2 + x_2^2 - 5x_1 = 0$$

$$F_2 = x_1^2 + x_2^2 - 1,5x_1 = 0$$

Penyelesaian.

turunan parsial dari persamaan diatas adalah

$$\frac{\partial F_1}{\partial x_1} = 2x_1 - 5 \quad \frac{\partial F_1}{\partial x_2} = 2x_2$$

$$\frac{\partial F_1}{\partial x_1} = 2x_1 \quad \frac{\partial F_1}{\partial x_2} = -2x_2 - 1,5$$

dengan menggunakan perkiraan awal,

$$x_1^{(0)} = 3 \quad \text{dan} \quad x_2^{(0)} = 3$$

hasilnya adalah

$$F_1^0 = (3)^2 + (3)^2 - 5(3) = 3$$

$$F_2^0 = (3)^2 - (3)^2 - 1,5(3) = 4,5$$

elemen matriks jacobian adalah sebagai berikut :

$$\frac{\partial F_1}{\partial x_1}^0 = 2(3) - 5 = 1 \quad \frac{\partial F_1}{\partial x_2}^0 = 2(3) = 1$$

$$\frac{\partial F_2}{\partial x_1}^0 = 2(3) = 6 \quad \frac{\partial F_2}{\partial x_2}^0 = (-2)(3) + 1,5 = -4,5$$

maka,

$$\begin{pmatrix} 1 & 6 \\ 6 & -4.5 \end{pmatrix} \begin{pmatrix} \Delta x_1^{(0)} \\ \Delta x_2^{(0)} \end{pmatrix} = \begin{pmatrix} -3 \\ -4,5 \end{pmatrix}$$

penyelesaiannya adalah

$$\Delta x_1^{(0)} = -1$$

$$\Delta x_2^{(0)} = -0,333$$

dengan demikian hasil pada iterasi pertama adalah

$$x_1^{(1)} = x_1^{(0)} + \Delta x_1^{(1)} = 3 - 1 = 2$$

$$x_2^{(1)} = x_2^{(0)} + \Delta x_2^{(1)} = 3 - 0,333 = 2,667$$

prosedur di atas diulangi

$$F_1^{(1)} = (2)^2 + (2,667)^2 - 5(3) = 1,1129$$

$$F_2^{(1)} = (2)^2 - (2,667)^2 - 1,5(2,667) = 0,8876$$

elemen matriks jacobian adalah sebagai berikut :

$$\frac{\partial F_1^{(1)}}{\partial x_1} = 2(2) - 5 = -1 \quad \frac{\partial F_1^{(1)}}{\partial x_2} = 2(2,6667) = 6$$

$$\frac{\partial F_2^{(1)}}{\partial x_1} = 2(2) = 4 \quad \frac{\partial F_2^{(1)}}{\partial x_2} = -2(2,6667) = 6$$

kemudian,

$$\begin{pmatrix} -1 & 5,334 \\ 4 & -3,834 \end{pmatrix} \begin{pmatrix} \Delta x_1^{(1)} \\ \Delta x_2^{(1)} \end{pmatrix} = \begin{pmatrix} -1,1129 \\ -0,8876 \end{pmatrix}$$

dengan mengulangi prosedur diatas berikut ini adalah hasil pada setiap iterasi sampai dengan iterasi ke 8 :

**Tabel 2.1** Hasil iterasi contoh 2.2

| iterasi | $x_1$      | $x_2$      |
|---------|------------|------------|
| 3       | 1,223900   | 2,17380    |
| 4       | 1,093500   | 2,07330    |
| 5       | 1,031600   | 2,02480    |
| 6       | 1,000650   | 2,00510    |
| 7       | 1,004000   | 2,00030    |
| 8       | 1,00000189 | 2,00000149 |

### 2.2.2 Penyelesaian Aliran Daya dengan Metode *Newton-Raphson*

Untuk menyelesaikan aliran daya menggunakan persamaan aliran daya untuk mendapatkan tegangan setiap bus. Persamaan aliran daya yang dimaksud adalah :

$$P_i - jQ_i = |V_i| \angle -\delta_i \sum_{j=1}^n |Y_{ij}| |V_j| \angle \theta_{ij} + \delta_j \quad (2.7)$$

Dengan memisahkan bagian real dan imajiner persamaan diatas didapatkan:

$$\begin{aligned} P_i &= |V_i| \sum_{j=1}^n |Y_{ij}| |V_j| \cos(\theta_{ij} - \delta_i + \delta_j) \\ Q_i &= |V_i| \sum_{j=1}^n |Y_{ij}| |V_j| \sin(\theta_{ij} - \delta_i + \delta_j) \end{aligned} \quad (2.7)$$

Persamaan diatas merupakan fungsi  $|V|$  dan  $\delta$  pada tiap-tiap bus. Persamaan tersebut kemudian digunakan untuk menghitung  $|V|$  dan  $\delta$  tiap bus. Cara umum metode analisa aliran daya *Newton-Raphson* ditulis sebagai berikut.

$$\begin{pmatrix} H & N \\ J & L \end{pmatrix} \begin{pmatrix} \Delta\delta \\ \Delta|V| \\ \Delta P \\ \Delta Q \end{pmatrix} = \begin{pmatrix} \Delta\delta \\ \Delta|V| \\ \Delta P \\ \Delta Q \end{pmatrix} \quad (2.8)$$

Dimana elemen matrik H :

$$\frac{\partial P_i}{\partial \delta_i} = \sum_{j \neq 1} |V_i| |V_j| |Y_{ij}| \sin(\theta_{ij} - \delta_i + \delta_j)$$

$$\frac{\partial P_i}{\partial \delta_j} = -|V_i| |V_j| |Y_{ij}| \sin(\theta_{ij} - \delta_i + \delta_j)$$

Elemen matrik N:

$$\frac{\partial P_i}{\partial |V|_i} = 2|V_i| |Y_{ii}| \cos \theta_{ii} + \sum_{j \neq 1} |V_j| |Y_{ij}| \cos(\theta_{ij} - \delta_i + \delta_j)$$

$$\frac{\partial P_i}{\partial |V|_j} = |V_i| |Y_{ij}| \sin(\theta_{ij} - \delta_i + \delta_j)$$

elemen matrik J :

$$\frac{\partial Q_i}{\partial \delta_i} = \sum_{j \neq 1} |V_i| |V_j| |Y_{ij}| \cos(\theta_{ij} - \delta_i + \delta_j)$$

$$\frac{\partial Q_i}{\partial \delta_j} = -|V_i| |V_j| |Y_{ij}| \sin(\theta_{ij} - \delta_i + \delta_j)$$

Elemen matrik L:

$$\frac{\partial Q_i}{\partial |V|_i} = -2|V_i||Y_{ii}|\sin\theta_{ii} + \sum_{j \neq i}|V_j||Y_{ij}|\cos(\theta_{ij} - \delta_i + \delta_j) \quad (2.9)$$

$$\frac{\partial Q_i}{\partial |V|_j} = -|V_i||Y_{ij}|\sin(\theta_{ij} - \delta_i + \delta_j)$$

Nilai mismatch dihitung dengan persamaan berikut:

$$\Delta P_i^{(k)} = P^{sch} - \Delta P_i^{(k)}$$

$$\Delta Q_i^{(k)} = Q^{sch} - \Delta Q_i^{(k)}$$

akar akar persamaan diperoleh dari operasi perkalian secara matriks. dengan akar akarnya adalah:

$$\delta_i^{(k+1)} = \delta_i^{(k)} + \Delta\delta_i^{(k)}$$

$$|V|_i^{(k+1)} = |V|_i^{(k)} + \Delta|V|_i^{(k)}$$

(2.10)

### 2.3 Kapasitor Bank[5]

Kapasitor merupakan komponen kompensator yang berfungsi untuk memperbaiki faktor daya, sebagai pengatur tegangan maupun untuk mengurangi kerugian daya (*Ploss*) dan drop tegangan (*Vdrop*) pada jaringan. Fungsi lain dari kapasitor bank adalah untuk mengkompensasi daya reaktif yang sekaligus menjaga kualitas tegangan dan juga untuk meningkatkan effisiensi pada sistem dan umumnya pemakaian bank kapasitor memberikan keuntungan antara lain:

Kapasitor paralel dan reaktor paralel berguna untuk :

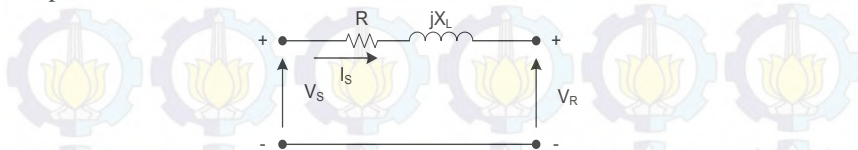
- Mengkompensasi kebutuhan daya reaktif
- Menaikkan atau menurunkan tegangan
- Mengurangi rugi-rugi distribusi
- Memperbaiki faktor daya
- Memaksimalkan kapasitas sistem

Kapasitor dipasang pada jaringan dengan tujuan untuk perbaikan faktor daya, sebagai pengatur tegangan maupun untuk mengurangi kerugian daya dan drop tegangan pada jaringan.

#### 2.3.1 Pengaruh Pemasangan Kapasitor Terhadap Tegangan

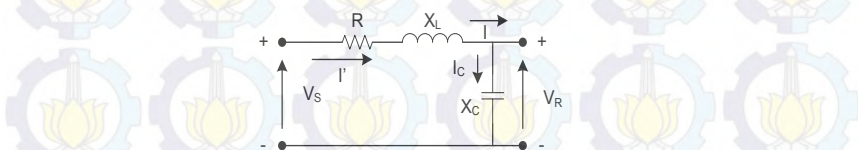
Pada umumnya jaringan distribusi akan menyerap daya reaktif karena karakteristik beban-beban yang ada. Kondisi sistem distribusi tanpa kapasitor dapat dilihat pada gambar 2.8. Gambar tersebut

memperlihatkan kondisi suatu konduktor sebelum pemasangan kapasitor.

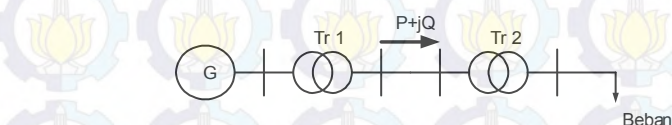


**Gambar 2.8** Rangkaian Konduktor Sebelum Pemasangan Kapasitor

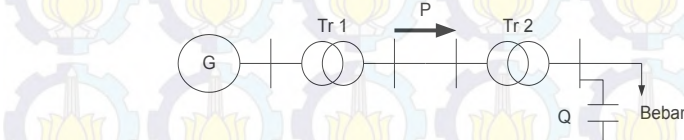
Sedangkan pada Gambar 2.9 dibawah diperlihatkan suatu sistem yang diberi kompensasi daya reaktif berupa kapasitor. Pemasangan kapasitor membuat kenaikan pada tegangan disisi terima ( $V_R$ ) jika tegangan pengirim ( $V_s$ ) dipertahankan konstan.



**Gambar 2.9** Rangkaian Konduktor Setelah Pemasangan Kapasitor



**Gambar 2.10** Aliran Daya Tanpa Kompensasi

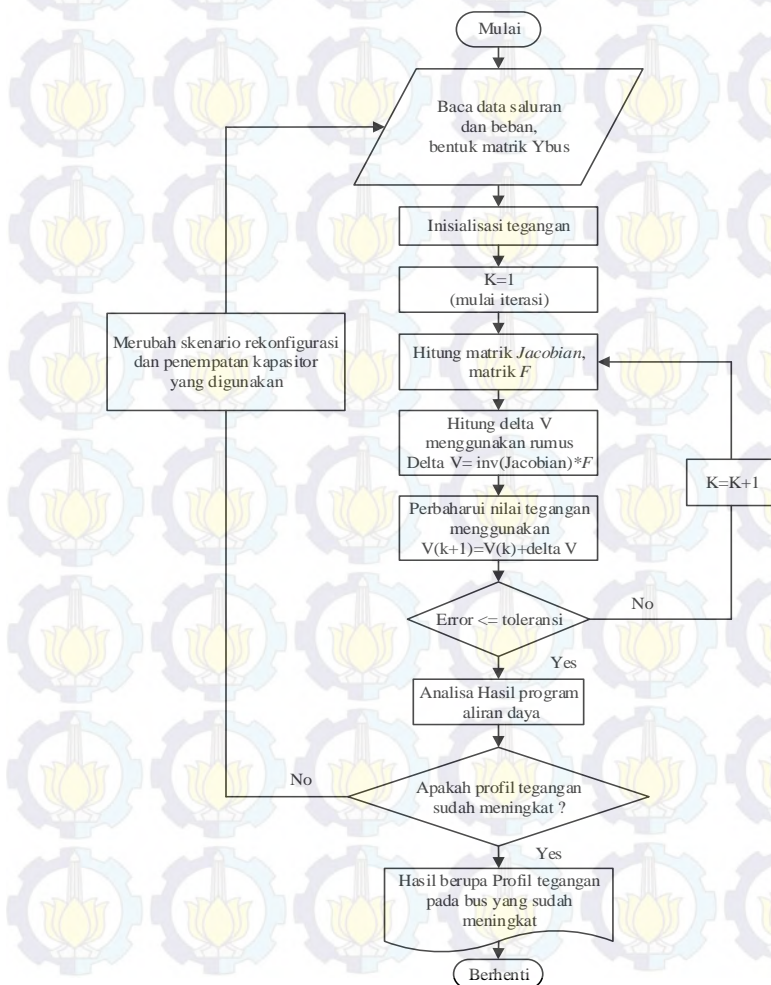


**Gambar 2.11** Aliran Daya Dengan Kompensasi

Daya reaktif bisa dibangkitkan oleh kapasitor dan penggunaan kapasitor bank sebagai suplai daya reaktif pada sistem tenaga listrik adalah solusi terbaik untuk memproduksi daya reaktif, karena biaya awal dan pemeliharaannya tidak mahal.

### BAB III

## ANALISA ALIRAN DAYA SISTEM DISTRIBUSI METODE NEWTON-RAPHSON, REKONFIGURASI JARINGAN DAN PENEMPATAN KAPASITOR BANK



**Gambar 3.1 Flow Chart Penyelesaian Analisa Aliran Daya**

Pada bab ini akan dijelaskan tentang perancangan dari analisa aliran daya, rekonfigurasi jaringan dan lokasi pemasangan kapasitor bank. Tahapan pengerjaan tugas akhir ini dijelaskan melalui *flowchart* diatas.

### 3.1 Studi Aliran Daya Metode *Newton-Raphson* Pada Sistem Distribusi Radial

Metode *Newton-Raphson* adalah metode yang handal digunakan untuk menghitung analisa aliran daya, selain itu metode tersebut juga mempunyai sejarah panjang dan digunakan secara luas untuk diterapkan pada *software* komersial. Metode *Newton-Raphson* juga sangat efisien dan sudah digunakan sebagai standart perhitungan analisa aliran daya pada banyak literatur.

Analisa aliran daya metode *Newton-Raphson* digunakan untuk menentukan tegangan bus melalui persamaan *mismatch* daya, namun untuk elternatif *Newton-Raphson* pada tugas akhir ini menggunakan persamaan *mismatch* arus[6].

Bila sebuah sistem mempunyai jumlah bus sebanyak- $n$  maka di asumsikan bus  $k=1$  merupakan slack bus dimana tegangan dan sudutnya tetap. Persamaan aliran arus setiap bus dapat di representasikan dengan persamaan berikut.

$$(I_{gen,k} - I_{dem,k}) - \sum_{i=1}^n Y_{ki}V_i = 0 \quad (3.1)$$

$I_{gen,k}$  merupakan arus generator yang mengalir di bus ke- $k$  sedangkan  $I_{dem,k}$  merupakan arus akibat beban. Pada kondisi praktis beban di sistem tenaga listrik merupakan persamaan daya. Oleh karena itu dapat dituliskan persamaan baru dengan mensubstitusi persamaan (3.2) ke persamaan (3.1) sehingga persamaan aliran daya menjadi persamaan (3.3) yang dituliskan sebagai berikut.

$$I_k = \frac{S_k^*}{V_k} \quad (3.2)$$

$$I_k = \left( \frac{S_{sch,k} - S_{dem,k}}{V_k} \right)^* - \sum_{i=1}^n Y_{ki}V_i \quad (3.3)$$

Dalam persamaan tersebut tegangan, daya di bus ke- $k$ , serta admitansi dari bus- $k$  ke bus- $i$  di definisikan dengan.

$$|V_k| \angle \delta_k$$

$$Y_{ki} \angle \theta_{ki} \\ S_{gen,k} - S_{dem,k} = S_{sch,k} = S_k \angle \varphi_k \quad (3.4)$$

Persamaan (3.4) jika disubstitusikan ke persamaan (3.3) akan menjadi.

$$I_k = \left| \frac{S_{sch,k}}{V_k} \right| \angle (-\varphi_k + \delta_k) - \sum_{i=1}^n |Y_{ki} V_i| \angle (-\varphi_{ki} + \delta_i) \quad (3.5)$$

Pada persamaan (3.5) merupakan persamaan arus masih berupa bentuk kompleks.

$$I_k = G_k + jH_k \quad (3.6)$$

Persamaan (3.5) dapat diuraikan menjadi persamaan arus real dan imajinernya sehingga menjadi.

$$G_k = \left| \frac{S_{sch,k}}{V_k} \right| \cos \angle (-\varphi_k + \delta_k) - \sum_{i=1}^n |Y_{ki} V_i| \cos \angle (-\theta_{ki} + \delta_i) \\ H_k = \left| \frac{S_{sch,k}}{V_k} \right| \sin \angle (-\varphi_k + \delta_k) - \sum_{i=1}^n |Y_{ki} V_i| \sin \angle (-\theta_{ki} + \delta_i) \quad (3.7)$$

Keterangan :

$G_k$  = arus aktif yang mengalir pada bus ke- $k$

$H_k$  = arus reaktif yang mengalir pada bus ke- $k$

$V_k$  = tegangan pada bus ke- $k$

$I_k$  = arus pada bus ke- $k$

$V_i$  = tegangan pada bus- $i$

$Y_{ki}$  = admitansi saluran dari bus- $k$  ke bus- $i$

$\delta_k$  = sudut fasa tegangan kompleks pada bus- $k$

$\varphi_k$  = sudut fasa daya kompleks pada bus- $k$

$\theta_{ki}$  = sudut fasa admitansi saluran dari bus- $k$  ke bus- $i$

Persamaan (3.5) merupakan persamaan *mismatch* arus pada bus- $k$ . nilai *mismatch* akan bernilai nol bila semua tegangan pada bus telah ditemukan. Untuk mencari tegangan setiap bus maka kedua persamaan diatas harus di formulasikan menjadi deret taylor sehingga menjadi :

$$G_k = \sum_{i=1}^n \frac{\partial G_k}{\partial \delta_i} \Delta \delta_i + \sum_{i=1}^n \frac{\partial G_k}{\partial V_k} \Delta V_i \quad (3.8)$$

dari persamaan deret taylor ini, formula untuk menentukan sudut dan magnitude tegangan dapat di ekspresikan sebagai berikut.

$$\begin{bmatrix} G \\ H \end{bmatrix} = \begin{bmatrix} \frac{\partial G}{\partial \delta} & \frac{\partial G}{\partial V} \\ \frac{\partial H}{\partial \delta} & \frac{\partial H}{\partial V} \end{bmatrix} \begin{bmatrix} \Delta \delta \\ \Delta V \end{bmatrix} = \begin{bmatrix} J_1 & J_2 \\ J_3 & J_4 \end{bmatrix} \begin{bmatrix} \Delta \delta \\ \Delta V \end{bmatrix} \quad (3.9)$$

Elemen matriks jacobian persamaan (3.8) dapat diturunkan seperti metode *Newton-Raphson* biasa, penurunan elemen matriks tersebut dijelaskan pada persamaan (3.10) sampai (3.13)

Submatriks J1 :

$$\begin{aligned} \frac{\partial G_k}{\partial \delta_i} &= -|V_i Y_{ki}| \sin(\theta_{ki} + \delta_i) \text{ untuk } k \neq i \\ \frac{\partial G_k}{\partial \delta_k} &= -|V_i Y_{kk}| \sin(\theta_{kk} + \delta_k) + \left| \frac{S_{sch,k}}{V_k} \right| \sin(-\varphi_k + \delta_k) \end{aligned} \quad (3.10)$$

Submatriks J2 :

$$\begin{aligned} \frac{\partial G_k}{\partial |V_k|} &= -|V_i Y_{ki}| \sin(\theta_{ki} + \delta_i) \text{ untuk } k \neq i \\ \frac{\partial G_k}{\partial |V_k|} &= -|V_k Y_{kk}| \sin(\theta_{kk} + \delta_k) + \left| \frac{S_{sch,k}}{V_k} \right| \sin(-\varphi_k + \delta_k) \end{aligned} \quad (3.11)$$

Submatriks J3 :

$$\frac{\partial H_k}{\partial \delta_i} = |V_i Y_{ki}| \cos(\theta_{ki} + \delta_i) \text{ untuk } k \neq i$$

$$\frac{\partial H_k}{\partial \delta_k} = \left| V_i Y_{kk} \right| \cos(\theta_{kk} + \delta_k) - \left| \frac{S_{sch,k}}{V_k} \right| \cos(-\varphi_k + \delta_k) a \quad (3.12)$$

Submatriks J4 :

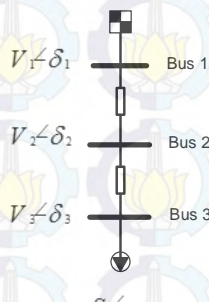
$$\begin{aligned} \frac{\partial G_k}{\partial |V_k|} &= \left| V_i Y_{ki} \right| \cos(\theta_{ki} + \delta_i) \text{ untuk } k \neq i \\ \frac{\partial H_k}{\partial |V_k|} &= \left| V_k Y_{kk} \right| \cos(\theta_{kk} + \delta_k) + \left| \frac{S_{sch,k}}{V_k} \right| \cos(-\varphi_k + \delta_k) \end{aligned} \quad (3.13)$$

Persamaan aliran daya tersebut diselesaikan dengan menggunakan suatu proses pengulangan (iterasi) dengan menetapkan nilai-nilai perkiraan untuk tegangan pada bus yang tidak diketahui nilainya dan kemudian menghitung suatu nilai baru untuk setiap tegangan bus dari nilai perkiraan pada bus yang lain.

Setiap perhitungan suatu himpunan nilai tegangan yang baru disebut sebagai satu iterasi. Proses iterasi ini diulang terus-menerus hingga perubahan yang terjadi pada setiap bus kurang dari nilai minimum atau tidak melebihi nilai maksimum yang telah ditentukan.

Salah satu contoh sederhana penyelesaian persamaan aliran daya dengan metode *Newton-Raphson* adalah sebagai berikut.

**Contoh 3.1 :**



**Gambar 3.2 Single Line Diagram Contoh 3.1**

**Tabel 3.1** Data saluran dan beban contoh 3.1

| bus | bus | R(ohm)  | X(ohm)  | P(MW) | Q(Mvar) |
|-----|-----|---------|---------|-------|---------|
| 1   | 2   | 0,39675 | 0,5920  | 2     | 1,6     |
| 2   | 3   | 0,42320 | 0,5819  | 3     | 1,5     |
|     |     | KVbase  |         | 20 kV |         |
|     |     |         | MVAbase |       | 100 MVA |

Sebelum menghitung, semua data harus dikonversi menjadi satuan per-unit (p.u.) dengan rumus sebagai berikut.

$$\begin{aligned} Z_{p.u} &= \frac{Z_{Actual}(\text{ohm})}{Z_{Base}(\text{ohm})} \quad \text{dan}, \quad S_{p.u} = \frac{S_{Actual}(\text{VA})}{S_{Base}(\text{VA})} \\ KV_{p.u} &= \frac{KV_{Actual}(\text{kV})}{KV_{Base}(\text{kV})} \end{aligned} \quad (3.14)$$

Pada perhitungan juga ditetapkan nilai awal tegangan dan sudutnya sebesar  $1\angle 0$  p.u.

Gambar 3.3 merepresentasikan sebuah sistem distribusi sederhana yang berbentuk radial dan disuplai dari satu sumber. Untuk mempermudah perhitungan maka dihitung terlebih dahulu matriks  $Y_{bus}$  berdasarkan gambar 3.3 dan tabel 3.1 sehingga menghasilkan matrik  $Y_{bus}$  sebagai berikut.

$$Y_{bus} = \begin{pmatrix} Y_{11} & Y_{12} & Y_{13} \\ Y_{21} & Y_{22} & Y_{23} \\ Y_{31} & Y_{32} & Y_{33} \end{pmatrix} \quad (3.15)$$

Persamaan matrik  $Y_{bus}$  terdiri dari dua komponen, yaitu elemen matriks *on-diagonal* dan elemen matriks *off-diagonal*. Elemen *on-diagonal* matriks  $Y_{bus}$  adalah penjumlahan admitansi yang tersambung pada bus tersebut, pada contoh ini nilai elemen *on-diagonal* adalah sebagai berikut.

$$Y_{11} = y_{12}$$

$$Y_{22} = y_{12} + y_{13}$$

$$Y_{33} = y_{13}$$

Sedangkan elemen *off-diagonal* matriks adalah negatif admitansi saluran yang tersambung pada bus tersebut, nilainya sebagai berikut :

$$\begin{aligned} Y_{12} &= Y_{21} = -y_{12} \\ Y_{13} &= Y_{31} = -y_{13} \end{aligned}$$

Semua elemen matrik disusun sesuai persamaan (3.15) yang dituliskan sebelumnya. sehingga menghasilkan matrik sebagai berikut :

$$Y_{bus} = \begin{bmatrix} 3,629 - j4,839 & -3,6294 + j4,839 & 0 \\ -3,6294 + j4,839 & 6,899 - j9,335 & -3,269 + j4,495 \\ 0 & -3,269 + j4,495 & 3,269 - j4,495 \end{bmatrix}$$

atau dalam bentuk polar

$$Y_{bus} = \begin{bmatrix} 6,049\angle-0,927 & 6,049\angle2,214 & 0 \\ 6,049\angle2,214 & 11,608\angle-0,934 & 5,559\angle2,199 \\ 0 & 5,559\angle2,199 & 5,59\angle-0,942 \end{bmatrix}$$

Matrik  $Y_{bus}$  ini selanjutnya digunakan untuk menghitung elemen matriks *jacobian* maupun matriks  $F$ . Langkah selanjutnya adalah menghitung matriks Setelah menghitung matriks, langkah selanjutnya adalah menghitung matrik  $F$  dengan persamaan (3.7) sehingga didapatkan nilai berikut.

$$G_2 = \left| \frac{S_2}{V_2} \right| \cos \angle(-\varphi_2 + \delta_2) - (|Y_{21}V_1| \cos \angle(-\theta_{21} + \delta_1) + |Y_{22}V_2| \cos \angle(-\theta_{22} + \delta_2)$$

$$+ |Y_{23}V_3| \cos \angle(-\theta_{23} + \delta_3) = -0,02$$

$$G_3 = \left| \frac{S_3}{V_3} \right| \cos \angle(-\varphi_3 + \delta_3) - (|Y_{31}V_1| \cos \angle(-\theta_{31} + \delta_1) + |Y_{32}V_2| \cos \angle(-\theta_{32} + \delta_2)$$

$$+ |Y_{33}V_3| \cos \angle(-\theta_{33} + \delta_3) = -0,03$$

Kemudian dihitung nilai  $H$  sebagai berikut :

$$H_2 = \left| \frac{S_2}{V_2} \right| \sin \angle(-\varphi_2 + \delta_2) - (|Y_{21}V_1| \sin \angle(-\theta_{21} + \delta_1) + |Y_{22}V_2| \sin \angle(-\theta_{22} + \delta_2)$$

$$+ |Y_{23}V_3| \sin \angle(-\theta_{23} + \delta_3)) = 0,01599$$

$$H_3 = \begin{vmatrix} S_3 \\ V_3 \end{vmatrix} \sin \angle(-\varphi_3 + \delta_3) - (|Y_{31}V_1| \sin \angle(-\theta_{31} + \delta_1) + |Y_{32}V_2| \sin \angle(-\theta_{32} + \delta_2) + |Y_{33}V_3| \sin \angle(-\theta_{33} + \delta_3)) = 0,1499$$

Setelah semua elemen matriks  $F$  didapatkan, untuk menentukan persamaan tegangan setiap bus masih diperlukan matriks *jacobian*. Matriks *jacobian* dihitung menggunakan persamaan (3.10) sampai (3.13).

$$J1 = \begin{bmatrix} \frac{\partial G_1}{\partial \delta_1} & \frac{\partial G_2}{\partial \delta_1} & \frac{\partial G_3}{\partial \delta_1} \\ \frac{\partial G_1}{\partial \delta_2} & \frac{\partial G_2}{\partial \delta_2} & \frac{\partial G_3}{\partial \delta_2} \\ \frac{\partial G_1}{\partial \delta_3} & \frac{\partial G_2}{\partial \delta_3} & \frac{\partial G_3}{\partial \delta_3} \end{bmatrix}, J2 = \begin{bmatrix} \frac{\partial G_1}{\partial |V_1|} & \frac{\partial G_2}{\partial |V_1|} & \frac{\partial G_3}{\partial |V_1|} \\ \frac{\partial G_1}{\partial |V_2|} & \frac{\partial G_2}{\partial |V_2|} & \frac{\partial G_3}{\partial |V_2|} \\ \frac{\partial G_1}{\partial |V_3|} & \frac{\partial G_2}{\partial |V_3|} & \frac{\partial G_3}{\partial |V_3|} \end{bmatrix},$$

$$J3 = \begin{bmatrix} \frac{\partial H_1}{\partial \delta_1} & \frac{\partial H_2}{\partial \delta_1} & \frac{\partial H_3}{\partial \delta_1} \\ \frac{\partial H_1}{\partial \delta_2} & \frac{\partial H_2}{\partial \delta_2} & \frac{\partial H_3}{\partial \delta_2} \\ \frac{\partial H_1}{\partial \delta_3} & \frac{\partial H_2}{\partial \delta_3} & \frac{\partial H_3}{\partial \delta_3} \end{bmatrix}, J4 = \begin{bmatrix} \frac{\partial H_1}{\partial |V_1|} & \frac{\partial H_2}{\partial |V_1|} & \frac{\partial H_3}{\partial |V_1|} \\ \frac{\partial H_1}{\partial |V_2|} & \frac{\partial H_2}{\partial |V_2|} & \frac{\partial H_3}{\partial |V_2|} \\ \frac{\partial H_1}{\partial |V_3|} & \frac{\partial H_2}{\partial |V_3|} & \frac{\partial H_3}{\partial |V_3|} \end{bmatrix}$$

Setiap elemen matriks *jacobian* yang merupakan fungsi penurunan terhadap magnitude dan sudut tegangan *slack bus* (bus 1) dihapus, karena *slack bus* mempunyai tegangan dan sudut yang tetap yaitu sebesar  $1\angle 0$ . Setelah dilakukan eliminasi baris dan kolom pada setiap elemen matriks maka didapatkan persamaan sebagai berikut.

$$J_1 = \begin{vmatrix} \frac{\partial G_2}{\partial \delta_2} & \frac{\partial G_3}{\partial \delta_2} \\ \frac{\partial G_2}{\partial \delta_3} & \frac{\partial G_3}{\partial \delta_3} \end{vmatrix}, J_2 = \begin{vmatrix} \frac{\partial G_2}{\partial |V_2|} & \frac{\partial G_3}{\partial |V_2|} \\ \frac{\partial G_2}{\partial |V_3|} & \frac{\partial G_3}{\partial |V_3|} \end{vmatrix}$$

$$J_1 = \begin{vmatrix} \frac{\partial H_2}{\partial \delta_2} & \frac{\partial H_3}{\partial \delta_2} \\ \frac{\partial H_2}{\partial \delta_3} & \frac{\partial H_3}{\partial \delta_3} \end{vmatrix}, J_2 = \begin{vmatrix} \frac{\partial H_2}{\partial |V_2|} & \frac{\partial H_3}{\partial |V_2|} \\ \frac{\partial H_2}{\partial |V_3|} & \frac{\partial H_3}{\partial |V_3|} \end{vmatrix}$$

Setelah dihitung elemen matriks  $J_1$ ,  $J_2$ ,  $J_3$  dan  $J_4$  akan bernilai

$$J_1 = \begin{bmatrix} 9,351 & -4,495 \\ -4,495 & 4,510 \end{bmatrix}, J_2 = \begin{bmatrix} 6,879 & -3,269 \\ -3,269 & 3,239 \end{bmatrix}$$

$$J_3 = \begin{bmatrix} 6,919 & -3,269 \\ -3,269 & -3,299 \end{bmatrix}, J_4 = \begin{bmatrix} -9,319 & 4,495 \\ 4,495 & -4,480 \end{bmatrix}$$

Setelah semua komponen untuk menghitung tegangan sudah di dapatkan maka langkah selanjutknya adalah membentuk operasi matrik sesuai dengan persamaan (3.7)

$$\left[ \begin{array}{c|ccccc} -0,0200 & 9,351 & -4,495 & 6,879 & -3,269 & \Delta\delta_2 \\ -0,0300 & -4,495 & 4,510 & -3,269 & 3,239 & \Delta\delta_3 \\ 0,0159 & 6,919 & -3,269 & -9,139 & 4,495 & \Delta|V_2| \\ 0,0149 & -3,269 & 3,299 & 4,495 & -4,480 & \Delta|V_3| \end{array} \right]$$

Untuk menentukan tegangan sampai kondisi toleransi tertentu maka jacobian matriks dihitung menggunakan perkiraan awal. Update nilai untuk iterasi pertama sebagai berikut

$$\left[ \begin{array}{c} \Delta\delta_2 \\ \Delta\delta_3 \\ \Delta|V_2| \\ \Delta|V_3| \end{array} \right]^0 = \left[ \begin{array}{cccc} 9,351 & -4,495 & 6,879 & -3,269 \\ -4,495 & 4,510 & -3,269 & 3,239 \\ 6,919 & -3,269 & -9,139 & 4,495 \\ -3,269 & 3,299 & 4,495 & -4,480 \end{array} \right]^{-1} \left[ \begin{array}{c} -0,0200 \\ -0,0300 \\ 0,0159 \\ 0,0149 \end{array} \right]$$

Didapatkan nilai .

$$\begin{bmatrix} \Delta\delta_2 \\ \Delta\delta_3 \\ \Delta|V_2| \\ \Delta|V_3| \end{bmatrix}^0 = \begin{bmatrix} -0,0035378 \\ -0,0063219 \\ -0,0091888 \\ -0,0146409 \end{bmatrix}^0 \rightarrow \begin{bmatrix} \delta_2 \\ \delta_3 \\ |V_2| \\ |V_3| \end{bmatrix}^1 = \begin{bmatrix} \delta_2 \\ \delta_3 \\ |V_2| \\ |V_3| \end{bmatrix}^0 + \begin{bmatrix} \Delta\delta_2 \\ \Delta\delta_3 \\ \Delta|V_2| \\ \Delta|V_3| \end{bmatrix}^0$$

Berdasarkan perhitungan pada persamaan diatas didapatkan nilai iterasi tegangan pada iterasi pertama yaitu.

$$\begin{bmatrix} \delta_2 \\ \delta_3 \\ |V_2| \\ |V_3| \end{bmatrix}^1 = \begin{bmatrix} 0 \\ 0 \\ 1 \\ 1 \end{bmatrix} + \begin{bmatrix} -0,0035378 \\ -0,0063219 \\ -0,0091888 \\ -0,0146409 \end{bmatrix} = \begin{bmatrix} -0,00353785rad \\ -0,0063219rad \\ 0,9908111p.u \\ 0,9853590p.u \end{bmatrix}$$

Untuk iterasi kedua, persamaan diselesaikan dengan semua variabel yang digunakan diperoleh dari iterasi pertama.

$$\begin{bmatrix} \Delta\delta_2 \\ \Delta\delta_3 \\ \Delta|V_2| \\ \Delta|V_3| \end{bmatrix}^1 = \begin{bmatrix} 9,289 & -4,450 & 6,845 & -3,241 \\ -4,466 & 4,465 & -3,253 & 3,210 \\ 6,823 & -3,193 & -9,343 & 4,516 \\ -3,223 & 3,224 & 4,507 & -4,500 \end{bmatrix}^{-1} \begin{bmatrix} 0,0000901 \\ -0,000230 \\ 0,0001110 \\ -0,0002513 \end{bmatrix}$$

Didapatkan nilai

$$\begin{bmatrix} \Delta\delta_2 \\ \Delta\delta_3 \\ \Delta|V_2| \\ \Delta|V_3| \end{bmatrix}^1 = \begin{bmatrix} -0,00001706 \\ -0,00009266 \\ 0,000004586 \\ 0,000017065 \end{bmatrix} \rightarrow \begin{bmatrix} \delta_2 \\ \delta_3 \\ |V_2| \\ |V_3| \end{bmatrix}^2 = \begin{bmatrix} \delta_2 \\ \delta_3 \\ |V_2| \\ |V_3| \end{bmatrix}^1 + \begin{bmatrix} \Delta\delta_2 \\ \Delta\delta_3 \\ \Delta|V_2| \\ \Delta|V_3| \end{bmatrix}^1$$

Berdasarkan perhitungan diatas didapatkan nilai pada iterasi kedua yaitu.

$$\begin{bmatrix} \delta_2 \\ \delta_3 \\ |V_2| \\ |V_3| \end{bmatrix}^2 = \begin{bmatrix} -0,00353785rad \\ -0,0063219rad \\ 0,9908111p.u \\ 0,9853590p.u \end{bmatrix} + \begin{bmatrix} -0,00001706 \\ -0,00009266 \\ 0,000004586 \\ 0,000017065 \end{bmatrix} = \begin{bmatrix} -0,0035699rad \\ -0,00641457rad \\ 0,99908157p.u \\ 0,98537613p.u \end{bmatrix}$$

dengan mengulangi prosedur diatas berikut ini adalah hasil perhitungan magnitude dan sudut tegangan pada setiap iterasi 1 sampai dengan iterasi ke-2 dengan ketelitian  $10^{-3}$  dan mismatch 0,000251. Dengan

mengembalikan nilai p.u ke nilai sebenarnya dengan persamaan (3.14) maka didapatkan nilai pada tabel 3.2

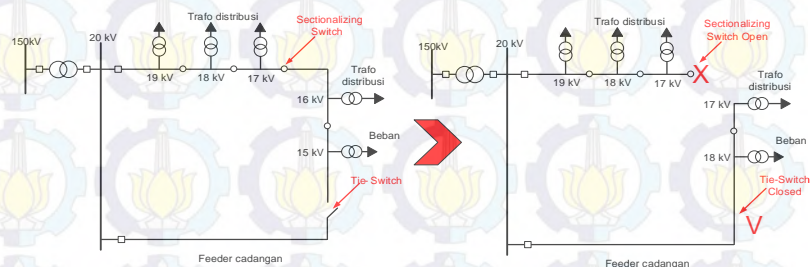
**Tabel 3.2** Hasil analisa aliran daya metode *Newton-Raphson* contoh 3.1

| Bus ke- | Tegangan Ke- (kV) | Sudut (Derajat) |
|---------|-------------------|-----------------|
| 1       | 20                | 0               |
| 2       | 19,81631          | -0,204544       |
| 3       | 19,70752          | -0,36752        |

### 3.2 Rekonfigurasi Jaringan Distribusi Radial

Sistem distribusi secara umum merupakan distribusi radial karena biaya dan proteksi yang sederhana, namun pada distribusi primer pada umumnya terdapat tie dan sectionalizing switch yang dapat digunakan untuk manuver agar keandalan dan fleksibilitas operasi meningkat. Secara umum pada jaringan distribusi primer terdapat switch *normally closed* yaitu *sectionalizing-switch* dan switch yang beroperasi *normally open* yaitu *tie-switch*. Kedua tipe switch tersebut digunakan untuk menanggulangi kondisi darurat dan proteksi serta untuk perawatan jaringan.

Pada kondisi normal konfigurasi jaringan diubah dengan tujuan untuk menurunkan rugi jaringan, maupun memperbaiki tegangan[3]. Konfigurasi sistem dapat diubah dengan melakukan operasi buka-tutup switch pada jaringan distribusi primer.

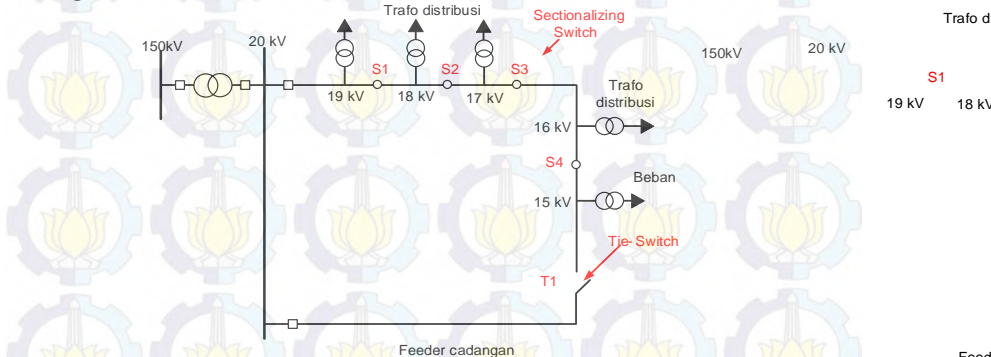


**Gambar 3.3** Ilustrasi rekonfigurasi pada jaringan distribusi

Rekonfigurasi jaringan distribusi dapat digunakan untuk menurunkan rugi-rugi daya dengan mengatur ulang konfigurasi jaringan distribusi sehingga efisiensi daya listrik yang disalurkan meningkat dan

konsumen dapat dilayani dengan baik. Pada tugas akhir ini rekonfigurasi dilakukan pada sistem yang telah terpasang dengan kombinasi switch yang ada agar rekonfigurasi jaringan menghasilkan drop tegangan yang nilai signifikan.

Ilustrasi kombinasi buka dan tutup switch pada jaringan adalah sebagai berikut:



**Gambar 3.4 Tie dan sectionalizing switch pada jaringan distribusi**

Pada gambar 3 terdapat 4 *sectionalizing switch* dan *tie-switch* yang dapat digunakan. Dengan jumlah switch tersebut maka kemungkinan yang bisa dilakukan adalah :

**Tabel 3.3** jumlah kombinasi konfigurasi baru yang mungkin terjadi pada jaringan sederhana pada gambar 3.3

| No kombinasi | Switch open | Switch Closed |
|--------------|-------------|---------------|
| 1            | S1          | T1            |
| 2            | S2          | T1            |
| 3            | S3          | T1            |
| 4            | S4          | T1            |

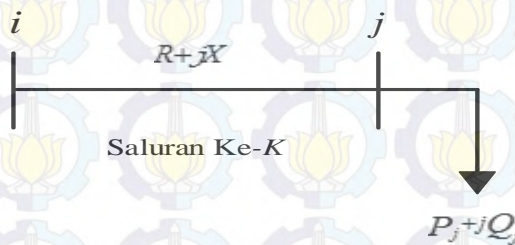
Dari kemungkinan tersebut nantinya dipilih kombinasi baru yang menghasilkan perbaikan tegangan yang lebih baik. Konfigurasi baru dari kombinasi yang dipilih selanjutnya akan digunakan untuk menentukan pada bus mana kapasitor bank akan dipasang.

### 3.3 Loss Sensitivity Factor (LSF) untuk penempatan kapasitor Bank

Kapasitor secara umum digunakan untuk mengkompensasi daya reaktif, mengurangi rugi daya dan mengatur profil tegangan. Langkah dalam pemasangan kapasitor bank pada sistem distribusi radial adalah menentukan nilai kapasitor kemudian menentukan dibus manakah kapasitor tersebut harus dipasang.

Pada kondisi kapasitas kapasitor bank yang tersedia tidak memiliki banyak variasi, sehingga secara teori dan praktik di lapangan, kapasitas kapasitor yang dipasang pada sistem sedikit berbeda. Oleh karena itu dengan mempertimbangkan kapasitas yang tersedia di lapangan nilai kapasitor yang digunakan sudah ditentukan berdasarkan literatur yang sudah ada [7].

Untuk menentukan kandidat bus yang akan dipasang kapasitor. Digunakan sebuah metode yang bernama *Loss Sensitivity Factor* (LSF). Metode ini dilakukan dengan cara melakukan perhitungan faktor sensitifitas rugi-rugi yang di ilustrasikan pada gambar 3.5.



Gambar 3.5 Saluran distribusi dengan impedansi dan beban

Berdasarkan gambar 3.5 rugi-rugi daya aktif  $I^2R$  pada saluran ke- $K$  dapat dituliskan sebagai berikut.

$$P_{loss,j} = \frac{P_j^2 + Q_j^2 \times R_{ij}}{V_j^2} \quad (3.16)$$

Faktor sensitifitas rugi-rugi dapat dihitung dengan persamaan berikut.

$$\frac{\partial P_{loss,j}}{\partial Q_j} = \frac{2 \times Q_j \times R_{ij}}{V_j^2} \quad (3.17)$$

Dari persamaan (3.18) didapatkan rumus LSF sebagai berikut

$$LSF_j = \frac{2 \times Q_j \times R_{jj}}{V_j^2} \quad (3.18)$$

Rugi pada bus yang mempunyai indeks LSF yang besar akan menyebabkan drop tegangan yang besar sehingga lokasi penempatan kapasitor nantinya akan dipilih pada bus yang mempunyai indeks LSF besar.

Segala indeks LSF pada sistem akan dihitung menggunakan persamaan (3.18), kemudian di implementasikan pada IEEE 14 bus modifikasi. Selain mempertimbangkan nilai LSF bus, parameter untuk menentukan lokasi kapasitor adalah indeks normalisasi. Dengan persamaan berikut:

$$\text{norm}_j = \frac{V_j}{0,95} \quad (3.19)$$

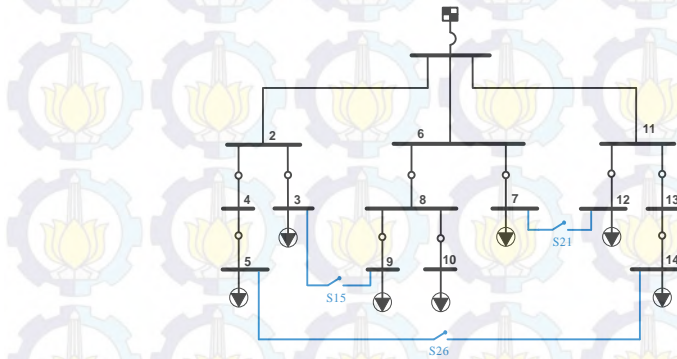
Ketika suatu bus pada sistem, mempunyai indeks LSF dan normalisasi yang jelek maka kandidat bus tersebut akan digunakan sebagai lokasi pemasangan kapasitor bank.



Gambar 3.6 Flow chart penentuan lokasi kapasitor bank

### 3.4 Sistem Distribusi IEEE 16 Bus Modifikasi

Untuk mencoba keberhasilan metode maka metode akan diterapkan pada sistem standart yaitu IEEE 16 bus yang di modifikasi . Berikut ini data saluran maupun beban yang digunakan untuk pengujian.



**Gambar 3.7** Single line diagram sistem IEEE 16 bus modifikasi

**Tabel 3.4** Data saluran IEEE 16 bus modifikasi

| Switch | Saluran |     | Impedansi |        |
|--------|---------|-----|-----------|--------|
|        | Bus     | Bus | R(ohm)    | X(ohm) |
|        | 1       | 2   | 0,39675   | 0,529  |
| S12    | 2       | 3   | 0,4232    | 0,5819 |
| S13    | 2       | 4   | 0,4761    | 0,9522 |
| S14    | 4       | 5   | 0,2116    | 0,2116 |
|        | 1       | 6   | 0,5819    | 0,5819 |
| S17    | 6       | 7   | 0,5819    | 0,5819 |
| S18    | 6       | 8   | 0,4232    | 0,5819 |
| S19    | 8       | 9   | 0,5819    | 0,5819 |
| S20    | 8       | 10  | 0,4232    | 0,5819 |
|        | 1       | 11  | 0,5819    | 0,5819 |
| S24    | 11      | 12  | 0,4761    | 0,6348 |
| S23    | 11      | 13  | 0,4232    | 0,5819 |
| S25    | 13      | 14  | 0,2116    | 0,2116 |
| S15    | 3       | 9   | 0,4761    | 0,9522 |
| S21    | 7       | 12  | 0,2116    | 0,2116 |
| S26    | 5       | 14  | 0,4761    | 0,2116 |

**Tabel 3.5** Data beban IEEE 16 bus modifikasi

| No<br>Bus | Daya Beban |         |
|-----------|------------|---------|
|           | P(MW)      | Q(MVar) |
| 1         | 0          | 0       |
| 2         | 2          | 1,6     |
| 3         | 3          | 1,5     |
| 4         | 2          | 0,8     |
| 5         | 1,5        | 1,2     |
| 6         | 4          | 2,7     |
| 6         | 1          | 0,9     |
| 8         | 5          | 3       |
| 9         | 0,6        | 0,1     |
| 10        | 4,5        | 3,5     |
| 11        | 1          | 0,9     |
| 12        | 1          | 0,7     |
| 13        | 1          | 0,9     |

## BAB IV

### SIMULASI DAN ANALISIS

Pada bab 4 ini, akan dibahas mengenai simulasi dan analisis metode *Newton-Raphson* pada sistem distribusi radial IEEE 16 bus modifikasi. Langkah pertama untuk pengujian metode adalah simulasi pada konfigurasi awal IEEE 16 bus modifikasi, Selanjutnya adalah melakukan perbaikan tegangan dengan rekonfigurasi jaringan maupun menempatkan kapasitor bank pada sistem.

Untuk mengetahui efek rekonfigurasi jaringan dan kapasitor bank pada sistem maka di lakukan uji coba simulasi dengan beberapa studi kasus sebagai berikut:

**Tabel 4.1** Studi kasus pada simulasi aliran daya

| No. | Studi kasus | Keterangan                                  |
|-----|-------------|---|
| 1   | Kasus 1     | Konfigurasi awal sistem                     |
| 2   | Kasus 2     | Rekonfigurasi Jaringan                      |
| 3   | Kasus 3     | Penempatan Kapasitor Bank                   |
| 4   | Kasus 4     | Rekonfigurasi dan penempatan kapasitor bank |

Dari beberapa kasus diatas kemudian akan dapat ditentukan konfigurasi baru mana yang menghasilkan perbaikan tegangan yang lebih baik dibandingkan konfigurasi awal.

#### 4.1 Analisis Aliran Daya Sistem IEEE 16 Bus (Kasus 1)

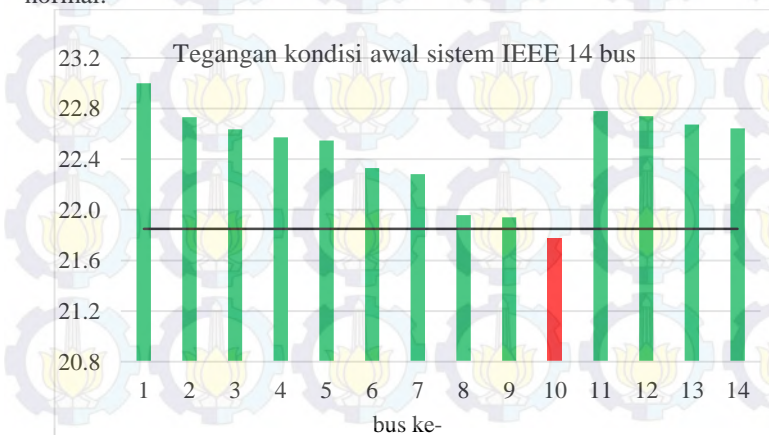
Bab ini akan membahas mengenai simulasi dan analisis aliran daya sistim distribusi radial menggunakan metode *Newton-Raphson*. Dari hasil simulasi pada sistem IEEE 16 bus modifikasi maka didapatkan nilai tegangan agar diketahui kondisi awal sistem sebelum dilakukan upaya perbaikan tegangan dengan rekonfigurasi dan penempatan kapasitor bank pada jaringan.

Berikut ini merupakan hasil analisis aliran daya metode *Newton-Raphson* :

**Tabel 4.2** Hasil perhitungan tegangan metode *Newton-Raphson* pada sistem IEEE 16 bus modifikasi

| Bus No | Tegangan     |                 |
|--------|--------------|-----------------|
|        | besaran (kV) | sudut (derajat) |
| 1      | 23,000       | 0,000           |
| 2      | 22,731       | -0,271          |
| 3      | 22,637       | -0,394          |
| 4      | 22,573       | -0,536          |
| 5      | 22,547       | -0,544          |
| 6      | 22,330       | -0,314          |
| 7      | 22,281       | -0,321          |
| 8      | 21,959       | -0,675          |
| 9      | 21,940       | -0,709          |
| 10     | 21,778       | -0,811          |
| 11     | 22,779       | -0,102          |
| 12     | 22,739       | -0,135          |
| 13     | 22,673       | -0,212          |
| 14     | 22,644       | -0,238          |

Dari tabel 4.2 dapat dilihat bahwa pada kondisi semula rata-rata nilai tegangan semua bus pada sistem berada pada kondisi normal, kecuali pada bus 10 yang mengalami *undervoltage* karena kurang dari 0,95pu. pada kondisi tersebut maka tegangan harus diperbaiki agar menjadi normal.



**Gambar 4.1** Grafik tegangan setiap bus pada kondisi awal sistem

## 4.2 Rekonfigurasi Jaringan Pada sistem IEEE 16 bus (Kasus 2)

Rekonfigurasi pada tugas akhir ini dilakukan dengan *switch* yang sudah terpasang pada sistem. IEEE 16 bus modifikasi mempunyai 3 buah *tie-switch* dan 10 *sectionalizing-switch* yang dapat digunakan untuk merubah konfigurasi jaringan dengan merubah buka tutup switch tersebut. Untuk merubah konfigurasi jaringan dilakukan dengan uji coba buka dan tutup *switch* secara manual. Kombinasi *switch* yang menghasilkan profil tegangan yang lebih baik dari kondisi awal sistem akan dipilih untuk konfigurasi sistem yang baru.

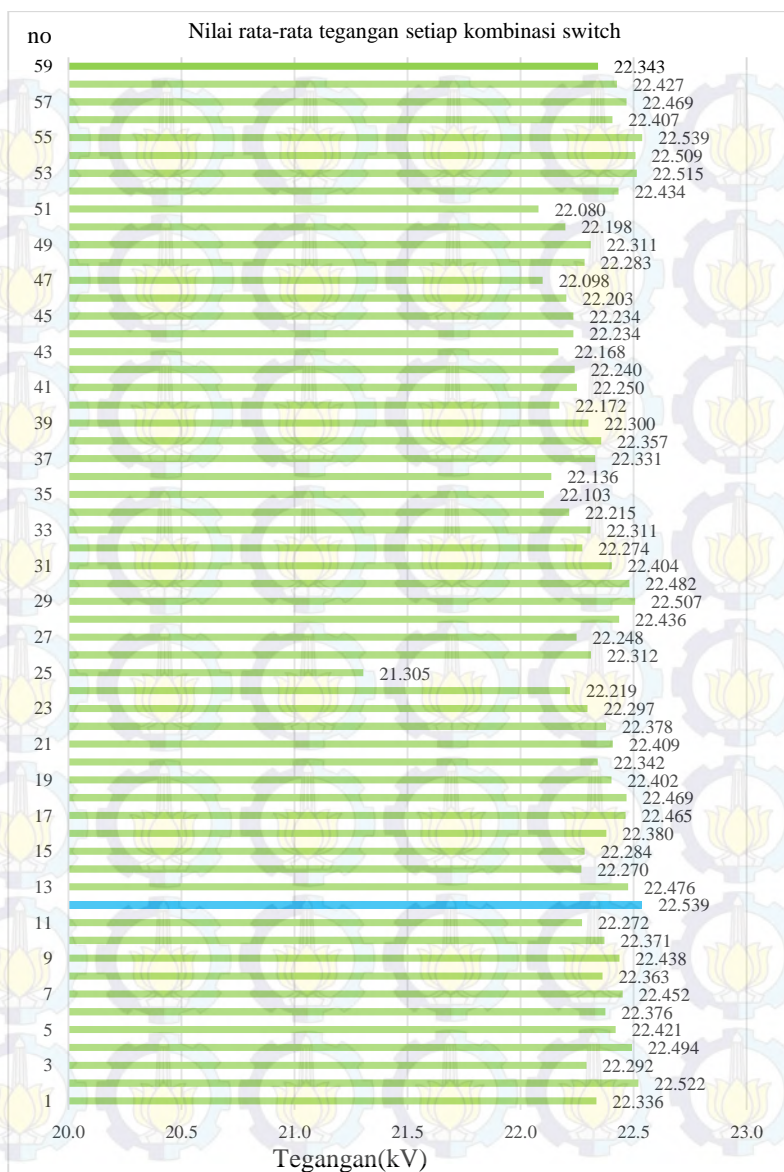
Simulasi yang dilakukan pada penelitian ini dilakukan dengan kombinasi *switch* yang mungkin dilakukan. Berikut ini kombinasi yang dilakukan dalam penelitian :

**Tabel 4.3** Kombinasi rekonfigurasi pada sistem IEEE 16 bus modifikasi

| No | Switch ditutup | Switch dibuka | Rata-rata tegangan | tegangan terendah |
|----|----------------|---------------|--------------------|-------------------|
| 1  |                | 15            | 22,336             | 21,541            |
| 2  |                | 15            | 22,522             | 21,813            |
| 3  |                | 15            | 22,292             | 21,093            |
| 4  |                | 21            | 22,494             | 21,830            |
| 5  |                | 21            | 22,421             | 21,730            |
| 6  |                | 26            | 22,376             | 21,778            |
| 7  |                | 26            | 22,452             | 22,778            |
| 8  |                | 26            | 22,363             | 21,778            |
| 9  |                | 26            | 22,438             | 21,778            |
| 10 | 15&21          | 12&17         | 22,371             | 21,569            |
| 11 | 15&21          | 12&24         | 22,272             | 21,495            |
| 12 | 15&21          | 19&17         | 22,539             | 21,865            |
| 13 | 15&21          | 19&24         | 22,476             | 21,765            |
| 14 | 15&21          | 18&17         | 22,270             | 21,865            |
| 15 | 15&21          | 18&24         | 22,284             | 21,093            |
| 16 | 21&26          | 17&13         | 22,380             | 21,830            |
| 17 | 21&26          | 17&14         | 22,465             | 21,830            |
| 18 | 21&26          | 17&23         | 22,469             | 21,830            |
| 19 | 21&26          | 17&25         | 22,402             | 21,830            |
| 20 | 21&26          | 24&13         | 22,342             | 21,730            |
| 21 | 21&26          | 24&14         | 22,409             | 21,730            |
| 22 | 21&26          | 24&23         | 22,378             | 21,730            |

**Tabel 4.3** kombinasi rekonfigurasi pada sistem IEEE 16 bus modifikasi(Lanjutan)

| No | Switch ditutup | Switch dibuka | Rata-rata tegangan | tegangan terendah |
|----|----------------|---------------|--------------------|-------------------|
| 23 | 21&26          | 24&25         | 22,297             | 21,730            |
| 24 | 15&26          | 12&13         | 22,219             | 22,541            |
| 25 | 15&26          | 12&14         | 21,305             | 21,541            |
| 26 | 15&26          | 12&23         | 22,312             | 21,541            |
| 27 | 15&26          | 12&25         | 22,248             | 21,541            |
| 28 | 15&26          | 19&13         | 22,436             | 21,813            |
| 29 | 15&26          | 19&14         | 22,507             | 21,813            |
| 30 | 15&26          | 19&23         | 22,482             | 21,813            |
| 31 | 15&26          | 19&25         | 22,404             | 21,813            |
| 32 | 15&26          | 18&13         | 22,274             | 21,214            |
| 33 | 15&26          | 18&14         | 22,311             | 21,154            |
| 34 | 15&26          | 18&23         | 22,215             | 21,023            |
| 35 | 15&26          | 18&25         | 22,103             | 20,978            |
| 36 | 15&21&26       | 12&17&13      | 22,136             | 21,595            |
| 37 | 15&21&26       | 12&17&14      | 22,331             | 21,596            |
| 38 | 15&21&26       | 12&17&23      | 22,357             | 21,595            |
| 39 | 15&21&26       | 12&17&25      | 22,300             | 22,595            |
| 40 | 15&21&26       | 12&24&13      | 22,172             | 21,495            |
| 41 | 15&21&26       | 12&24&14      | 22,250             | 21,495            |
| 42 | 15&21&26       | 12&24&23      | 22,240             | 21,495            |
| 43 | 15&21&26       | 12&24&25      | 22,168             | 21,495            |
| 44 | 15&21&26       | 18&17&13      | 22,234             | 21,214            |
| 45 | 15&21&26       | 18&17&14      | 22,234             | 21,214            |
| 46 | 15&21&26       | 18&17&23      | 22,203             | 20,978            |
| 47 | 15&21&26       | 18&17&25      | 22,098             | 21,023            |
| 48 | 15&21&26       | 18&24&13      | 22,283             | 21,214            |
| 49 | 15&21&26       | 18&24&14      | 22,311             | 21,154            |
| 50 | 15&21&26       | 18&24&23      | 22,198             | 21,023            |
| 51 | 15&21&26       | 18&24&25      | 22,080             | 20,978            |
| 52 | 15&21&26       | 19&17&13      | 22,434             | 21,865            |
| 53 | 15&21&26       | 19&17&14      | 22,515             | 21,865            |
| 54 | 15&21&26       | 19&17&23      | 22,509             | 21,865            |
| 55 | 15&21&26       | 19&17&25      | 22,539             | 21,865            |
| 56 | 15&21&26       | 19&24&13      | 22,407             | 21,765            |
| 57 | 15&21&26       | 19&24&14      | 22,469             | 21,752            |
| 58 | 15&21&26       | 19&24&23      | 22,427             | 21,765            |
| 59 | 15&21&26       | 19&24&25      | 22,343             | 21,765            |



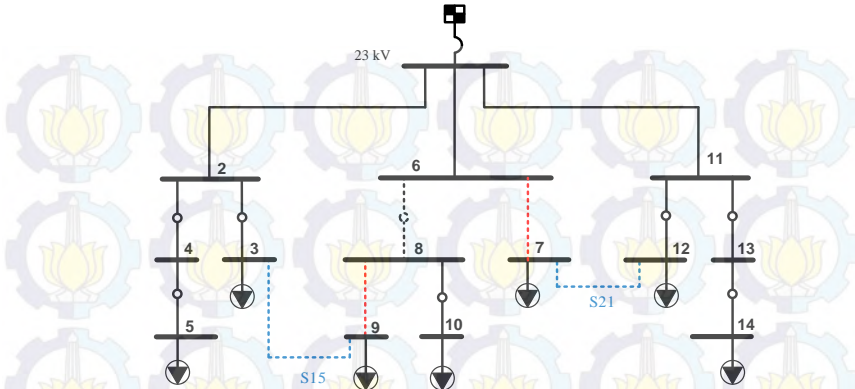
**Gambar 4.2** Rata-rata tegangan sistem dengan setiap kombinasi *switch*

Setelah dilakukan simulasi maka didapatkan hasil peningkatan tegangan yang lebih signifikan dengan melakukan rekonfigurasi sesuai kombinasi nomor 12, dengan cara mengaktifkan *switch* S15(3,9), S21(7,12) serta memutus *switch* S19(3,9) dan S(6,7). Dengan merubah konfigurasi jaringan sesuai kombinasi tersebut rata-rata tegangan semua bus akan menjadi 22,539kV. hasil simulasi yang dilakukan menghasilkan profil tegangan sebagai berikut :

**Tabel 4.4** Hasil analisa tegangan pada konfigurasi baru

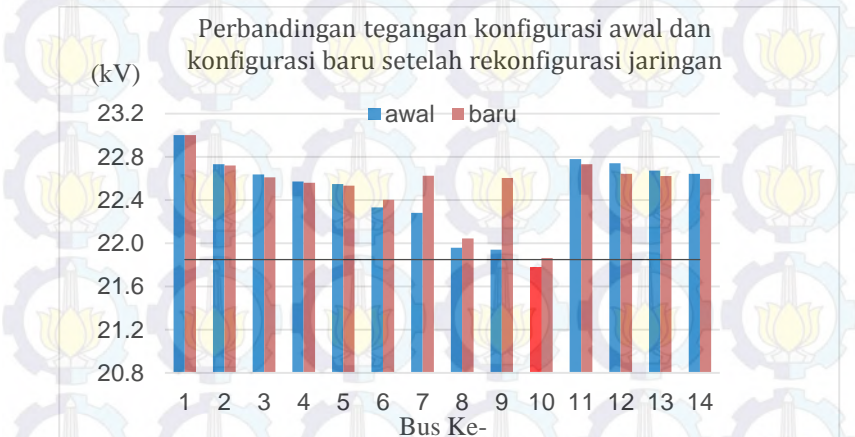
| No Bus    | Tegangan awal Magnitude (kV) | Tegangan baru Magnitude (kV) |
|-----------|------------------------------|------------------------------|
| 1         | 23                           | 23                           |
| 2         | 22,731                       | 22,718                       |
| 3         | 22,637                       | 22,609                       |
| 4         | 22,573                       | 22,559                       |
| 5         | 22,547                       | 22,534                       |
| 6         | 22,330                       | 22,401                       |
| 7         | 22,281                       | 22,625                       |
| 8         | 21,959                       | 22,045                       |
| 9         | 21,940                       | 22,603                       |
| 10        | 21,778                       | 21,865                       |
| 11        | 22,779                       | 22,730                       |
| 12        | 22,739                       | 22,643                       |
| 13        | 22,673                       | 22,623                       |
| 14        | 22,644                       | 22,594                       |
| Rata-rata | 22,472                       | 22,539                       |

Dari data pada tabel 4.4 diperoleh hasil bahwa konfigurasi baru pada sistem ini akan menghasilkan rata-rata peningkatan tegangan yang lebih besar dibandingkan dengan konfigurasi awal. Peningkatan profil tegangan terlihat saat konfigurasi awal rata-rata tegangan setiap bus adalah 22,472kV. Saat menerapkan konfigurasi baru, rata-rata semua bus menjadi sebesar 22,539kV. dapat dilihat pula bahwa tegangan pada bus 10 sebesar 21,865kV sudah menjadi normal yaitu berada di atas diatas 0,95pu akibat rekonfigurasi.



**Gambar 4.3** Konfigurasi baru IEEE 16 bus modifikasi setelah rekonfigurasi

Konfigurasi awal single line diagram IEEE 16 bus modifikasi dapat dilihat pada gambar 3.7, sedangkan konfigurasi baru sistem setelah rekonfigurasi jaringan dapat dilihat di grafik pada gambar 4.3.



**Gambar 4.4** Grafik perbandingan tegangan konfigurasi awal dan konfigurasi baru

### 4.3 Penempatan kapasitor bank pada sistem IEEE 16 bus (Kasus 3)

Pada tugas akhir ini, analisa penempatan kapasitor bank pada jaringan distribusi bertujuan untuk meningkatkan profil tegangan. Lokasi penempatan kapasitor bank ditentukan menggunakan metode *Loss Sensitivity Factor* (LSF). Lokasi penempatan kapasitor bank dilakukan pada bus yang mempunyai indeks LFS terbesar dan mempunyai indeks normalisasi kurang dari 1,01.

**Tabel 4.5** Hasil perhitungan indeks *Loss Sensitivity Factor* konfigurasi awal

| Bus | LSF    | Normaliasi |
|-----|--------|------------|
| 2   | 0,0079 | 1,0403     |
| 3   | 0,0025 | 1,0360     |
| 4   | 0,0037 | 1,0331     |
| 5   | 0,0010 | 1,0319     |
| 6   | 0,0243 | 1,0220     |
| 7   | 0,0021 | 1,0197     |
| 8   | 0,0117 | 1,0050     |
| 9   | 0,0002 | 1,0041     |
| 10  | 0,0062 | 0,9967     |
| 11  | 0,0079 | 1,0425     |
| 12  | 0,0013 | 1,0407     |
| 13  | 0,0031 | 1,0376     |
| 14  | 0,0008 | 1,0363     |

Berdasarkan tabel 4.5 dan penempatan kapasitor bank akan dilakukan pada bus 8 dan bus 10. Nilai kapasitor yang akan digunakan akan dipasang berdasarkan kebutuhan daya reaktif beban total sebesar 18,8MVar. Berdasarkan data tersebut maka nilai kapasitor yang digunakan haruslah lebih kecil dari 18,8Mvar agar tidak terjadi kompensasi yang berlebihan dan tegangan bus menjadi *overvoltage*.

Mengacu pada kapasitas kapasitor yang terdapat di dalam kondisi praktis, kapasitor yang digunakan adalah 1800 kVar. nilai tersebut

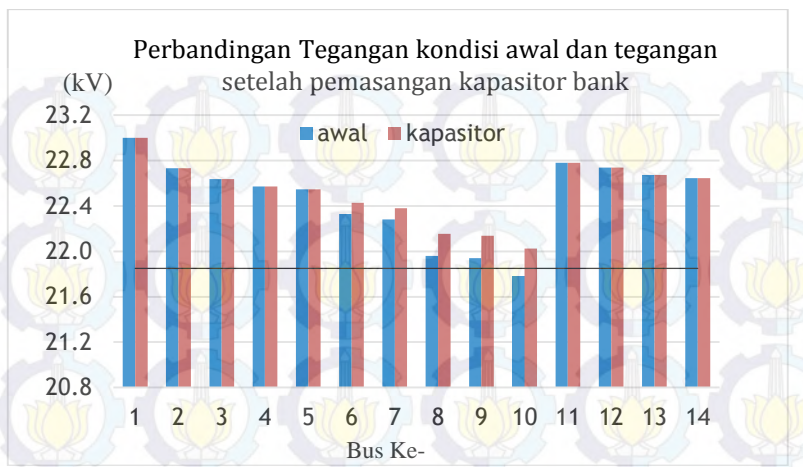
merupakan nilai kapasitor terbesar yang terdapat pada kondisi dilapangan.

**Tabel 4.6** Hasil analisis tegangan akibat penempatan kapasitor bank

| Bus       | Tegangan       |                |
|-----------|----------------|----------------|
|           | magnitude (kV) | magnitude (kV) |
| 1         | 23.000         | 23.000         |
| 2         | 22.731         | 22.731         |
| 3         | 22.637         | 22.637         |
| 4         | 22.573         | 22.573         |
| 5         | 22.547         | 22.547         |
| 6         | 22.330         | 22.429         |
| 7         | 22.281         | 22.379         |
| 8         | 21.959         | 22.155         |
| 9         | 21.940         | 22.136         |
| 10        | 21.778         | 22.023         |
| 11        | 22.779         | 22.779         |
| 12        | 22.739         | 22.739         |
| 13        | 22.673         | 22.673         |
| 14        | 22.644         | 22.644         |
| Rata-rata | 22.472         | 22.532         |

Dari hasil simulasi tersebut akibat pemasangan kapasitor bank pada jaringan, rata-rata tegangan setiap bus akan meningkat menjadi 22,532kV dan bus yang mengalami *undervoltage* yaitu bus 10 menjadi normal setelah pemasangan kapasitor.

Kenaikan rata-rata akibat penempatan kapasitor masih lebih kecil dibandingkan dengan rekonfigurasi jaringan. Perbandingan tegangan antara kondisi awal dan kondisi setelah pemasangan kapasitor bank pada jaringan dapat dilihat pada gambar 4.4 sebagai berikut.



Gambar 4.5 Grafik perbandingan antara tegangan konfigurasi awal dan tegangan akibat pemasangan kapasitor bank

#### 4.4 Rekonfigurasi jaringan dan Penempatan kapasitor bank pada sistem IEEE 16 bus (Kasus 4)

Pada sub bab ini digunakan rekonfigurasi dan kapasitor bank secara bersamaan untuk meningkatkan profil tegangan. Konfigurasi baru yang digunakan adalah konfigurasi pada gambar 4.3. Dari konfigurasi yang sudah dipilih nilai LSF dari setiap bus akan dicari untuk menentukan kandidat bus yang akan digunakan untuk pemasangan kapasitor bank agar menghasilkan perbaikan tegangan yang lebih signifikan. Setelah dilakukan simulasi maka didapatkan hasil sebagai berikut.

Tabel 4.7 Hasil perhitungan indeks *Loss Sensitivity Factor* pada konfigurasi baru

| Bus | LSF     | norm    |
|-----|---------|---------|
| 2   | 0,00807 | 1,03973 |
| 3   | 0,00265 | 1,03475 |
| 9   | 0,00166 | 1,03247 |
| 4   | 0,00225 | 1,03131 |
| 5   | 0,00793 | 1,02522 |

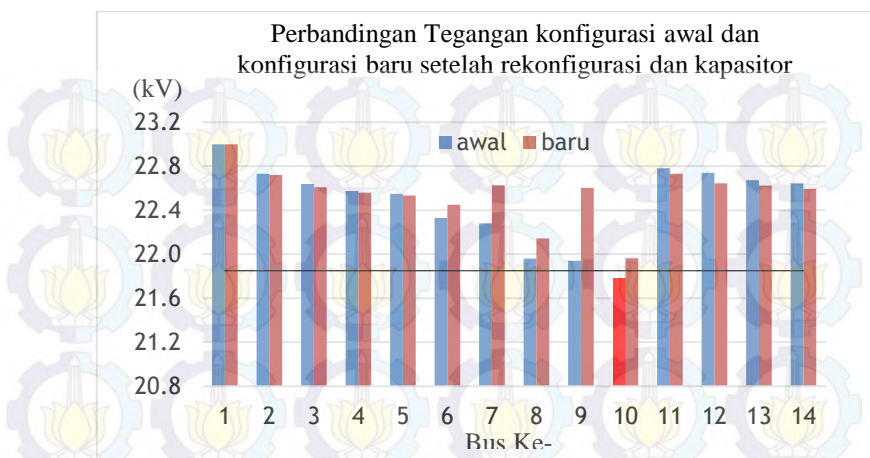
**Tabel 4.7** Hasil perhitungan indeks *Loss Sensitivity Factor* pada konfigurasi baru(Lanjutan)

| Bus | LSF     | norm    |
|-----|---------|---------|
| 6   | 0,00205 | 1,03548 |
| 8   | 0,01139 | 1,00893 |
| 10  | 0,00017 | 1,03445 |
| 11  | 0,00852 | 1,00068 |
| 12  | 0,00816 | 1,04027 |
| 7   | 0,00058 | 1,03629 |
| 13  | 0,00315 | 1,03538 |
| 14  | 0,00083 | 1,03405 |

Dari tabel 4.8 maka kandidat bus yang digunakan untuk pemasangan kapasitor bank adalah bus 8 karena memenuhi syarat normalisasi serta mempunyai indeks LSF yang besar. Setelah dilakukan simulasi maka didapatkan hasil sebagai berikut :

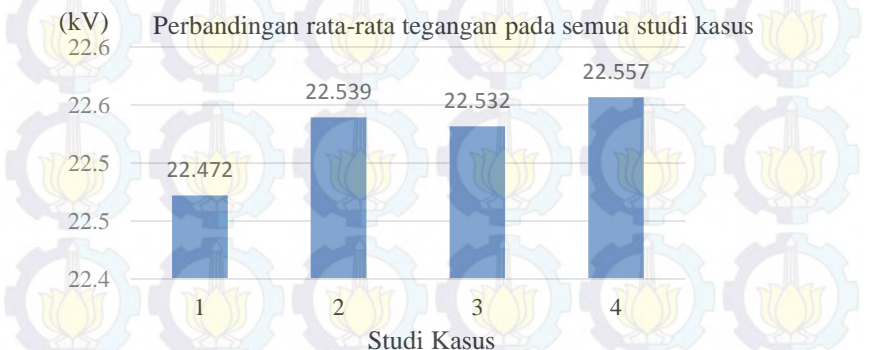
**Tabel 4.8** Hasil analisis tegangan akibat rekonfigurasi dan penempatan kapasitor bank

| No Bus    | Tegangan       |                |
|-----------|----------------|----------------|
|           | magnitude (kV) | magnitude (kV) |
| 1         | 23,000         | 23,000         |
| 2         | 22,731         | 22,718         |
| 3         | 22,637         | 22,609         |
| 4         | 22,573         | 22,559         |
| 5         | 22,547         | 22,534         |
| 6         | 22,330         | 22,450         |
| 7         | 22,281         | 22,625         |
| 8         | 21,959         | 22,143         |
| 9         | 21,940         | 22,603         |
| 10        | 21,778         | 21,963         |
| 11        | 22,779         | 22,730         |
| 12        | 22,739         | 22,643         |
| 13        | 22,673         | 22,623         |
| 14        | 22,644         | 22,594         |
| Rata-rata | 22,472         | 22,557         |



**Gambar 4.6** Grafik perbandingan antara tegangan konfigurasi awal dan tegangan akibat rekonfigurasi jaringan dan pemasangan kapasitor bank

Apabila hanya rekonfigurasi jaringan atau hanya penempatan kapasitor yang digunakan untuk memperbaiki profil tegangan, maka penggunaan rekonfigurasi jaringan dan kapasitor bank secara bersamaan .



**Gambar 4.7** Grafik perbandingan rata-rata tegangan untuk semua studi kasus

Dari grafik 4.5 rekonfigurasi dan kapasitor bank dapat dilakukan untuk memperbaiki profil tegangan. Namun peningkatan tegangan yang lebih signifikan terjadi ketika rekonfigurasi jaringan dan kapasitor bank dilakukan secara bersamaan.

## 4.5 Perbandingan Analisis Aliran Daya Metode *Newton-Raphson* Untuk Aplikasi Rekonfigurasi dan Penempatan Kapasitor Dengan ETAP 12,6

Untuk mengetahui akurasi perhitungan, baik implementasi metode *Newton-Raphson* maupun rekonfigurasi jaringan serta pemasangan kapasitor bank, maka metode tersebut perlu pembandingan dan validasi untuk membuktikan kebenaran metode tersebut.

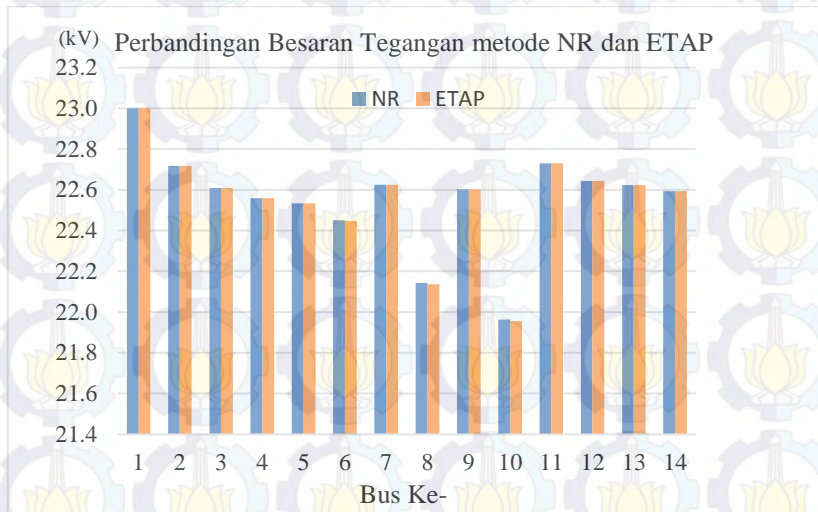
Pada tugas akhir ini ETAP 12,6 digunakan sebagai pembandingan karena *software* tersebut mampu digunakan untuk analisa aliran daya sistem distribusi dan sudah digunakan secara riil pada industri.

Berikut adalah data perbandingan hasil analisa aliran daya metode *Newton-Raphson* dengan software etap 12,6 untuk sistem IEEE 16 bus modifikasi.

**Tabel 4.9** Hasil validasi perhitungan tegangan metode *Newton-Raphson* pada IEEE 16 bus dengan konfigurasi baru dan kapasitor

| Bus<br>No | Newton-Raphson  |                    | ETAP            |                    | Error (%) |         |
|-----------|-----------------|--------------------|-----------------|--------------------|-----------|---------|
|           | Tegangan        |                    | Tegangan        |                    |           |         |
|           | Besaran<br>(kV) | sudut<br>(derajat) | Besaran<br>(kV) | sudut<br>(derajat) | besaran   | sudut   |
| 1         | 23,00000        | 0,00000            | 23,00000        | 0,00000            | 0,00000   | 0,00000 |
| 2         | 22,71799        | -0,30120           | 22,71802        | -0,30120           | 0,00011   | 0,00077 |
| 3         | 22,60934        | -0,45935           | 22,60923        | -0,45935           | 0,00048   | 0,00097 |
| 4         | 22,55937        | -0,56741           | 22,55932        | -0,56741           | 0,00022   | 0,00009 |
| 5         | 22,53402        | -0,57457           | 22,53402        | -0,57457           | 0,00002   | 0,00083 |
| 6         | 22,44997        | -0,39082           | 22,44639        | -0,38228           | 0,01594   | 2,23388 |
| 7         | 22,62524        | -0,16694           | 22,62533        | -0,16694           | 0,00038   | 0,00049 |
| 8         | 22,14274        | -0,79873           | 22,13566        | -0,78390           | 0,03199   | 1,89138 |
| 9         | 22,60278        | -0,47121           | 22,60279        | -0,47121           | 0,00003   | 0,00052 |
| 10        | 21,96324        | -0,93272           | 21,95603        | -0,91799           | 0,03285   | 1,60478 |
| 11        | 22,72997        | -0,10802           | 22,72998        | -0,10802           | 0,00004   | 0,00421 |
| 12        | 22,64301        | -0,16457           | 22,64304        | -0,16457           | 0,00012   | 0,00161 |
| 13        | 22,62297        | -0,21947           | 22,62303        | -0,21947           | 0,00028   | 0,00185 |
| 14        | 22,59393        | -0,24556           | 22,59382        | -0,24556           | 0,00049   | 0,00127 |

Berdasarkan validasi pada tabel 4.3 dapat dilihat bahwa hasil perhitungan tegangan setelah rekonfigurasi dan penempatan kapasitor bank mempunyai *error* yang cukup kecil dibandingkan dengan ETAP 12,6. Nilai *error* terbesar yang dihasilkan sebesar 0,03285 % untuk besaran dan 2,23388 % untuk sudut tegangan.



**Gambar 4.8** Grafik Perbandingan Tegangan Hasil Metode *Newton-Raphson* Dengan ETAP pada IEEE 16 bus modifikasi dengan konfigurasi baru dan kapasitor bank.

## DAFTAR PUSTAKA

1. U. Thongkrajay, N. Poolsawat, T Ratniyomchai & T. Kulwanichpong "Alternative Newton-Raphson Power Flow Calculation in Unbalance Three-Phase Distribution Systems", Proceedings of 5th WSEAS International conference on Application of electrical engineering . 2, Mei 2007
2. Horacio Diaz R., Ildefonso Harnisch V., Raul Sanhueza H., "Feeder Reconfiguration And Capacitor Placement In Distribution Systems: An Approach For Simultaneous Solution Using A Genetic Algorithm", Revista Chilena de ingnierira, Vol 18 No 1, 2010,pp 144-153.
3. Suhadi, "Teknik Distribusi Tenaga Listrik", Departemen pendidikan nasional, jakarta, 17 agustus 2008.
4. Penangsang, Ontoseno. "Analisis Aliran Daya". ITS Press, Surabaya, 2006.
5. Saadat, Hadi. "Power System Analysis (Second Edition)", McGraw-Hill Education (Asia). Singapore, 2004.
6. T. Kulwanichpong " Simplfied Newton-Raphson power flow solution method", Journal of electrical and energy systems 32(2010) 551-558. , Thailand, 6 Nopember 2009.
7. Mirzaeian, Dehkordi. "Optimal Capacitor Placement and Sizing in TABRIZ Distribution System Using Loss Sensitivity Factors and Particle Swarm Optimization (PSO)", ITS, Surabaya, 2012.
8. Priambodo, Pungky. "Analisis Aliran Daya Tiga Fasa Tidak Seimbang Menggunakan Metode K-Matrik Dan  $Z_{br}$  Pada Sistem Distribusi 20kV Kota Surabaya", ITS, Surabaya, 2012.



*Halaman ini sengaja dikosongkan*

## BAB 5

### PENUTUP

#### 5.1 KESIMPULAN

Memperbaiki tegangan pada jaringan distribusi IEEE 16 bus modifikasi dengan rekonfigurasi jaringan akan meningkatkan rata-rata tegangan dari 22,447kV menjadi 22,539kV. Memperbaiki tegangan dengan kapasitor bank akan meningkatkan profil tegangan menjadi 22,532 sedangkan saat menggunakan rekonfigurasi dan kapasitor bank akan menghasilkan profil tegangan menjadi 22,557kV.

Berdasarkan hasil yang didapatkan dari simulasi dan analisis pada tugas akhir ini, dapat diambil kesimpulan bahwa analisa aliran daya metode *Newton-Raphson* dapat digunakan untuk aplikasi rekonfigurasi dan penempatan kapasitor bank pada IEEE 16 bus modifikasi. Berdasarkan hasil validasi dengan software ETAP metode *Newton-Raphson* mempunyai *error* terbesar dengan nilai 0.03285%

#### 5.2 SARAN

Saran yang dapat diberikan untuk perbaikan dan pengembangan simulasi ini adalah sebagai berikut :

Mempertimbangkan penerapan kecerdasan buatan untuk rekonfigurasi jaringan dan penentuan lokasi kapasitor agar penentuan konfigurasi baru berjalan lebih cepat.



*Halaman ini sengaja dikosongkan*

## Lampiran

Tabel 5. Tegangan yang dihasilkan setiap kombinasi rekonfigurasi

| kombinasi | 1           | 2           | 3           | 4           | 5           | 6           |
|-----------|-------------|-------------|-------------|-------------|-------------|-------------|
| No        | teg<br>(kV) | teg<br>(kV) | teg<br>(kV) | teg<br>(kV) | teg<br>(kV) | teg<br>(kV) |
| 1         | 23,000      | 23,000      | 23,000      | 23,000      | 23,000      | 23,000      |
| 2         | 22,820      | 22,369      | 22,718      | 22,841      | 22,787      | 22,627      |
| 3         | 21,541      | 21,886      | 22,609      | 22,747      | 22,692      | 22,532      |
| 4         | 22,662      | 22,207      | 22,559      | 22,203      | 22,711      | 22,318      |
| 5         | 22,637      | 22,182      | 22,534      | 22,229      | 22,444      | 22,245      |
| 6         | 22,202      | 22,780      | 22,350      | 22,330      | 22,330      | 22,330      |
| 7         | 22,152      | 22,732      | 22,301      | 22,281      | 22,281      | 22,281      |
| 8         | 21,726      | 21,280      | 21,993      | 21,959      | 21,959      | 21,959      |
| 9         | 21,585      | 21,720      | 22,603      | 21,940      | 21,940      | 21,940      |
| 10        | 21,543      | 21,093      | 21,813      | 21,778      | 21,778      | 21,778      |
| 11        | 22,779      | 22,779      | 22,779      | 22,633      | 22,708      | 22,908      |
| 12        | 22,739      | 22,739      | 22,739      | 22,592      | 22,668      | 22,868      |
| 13        | 22,673      | 22,673      | 22,673      | 22,405      | 22,541      | 22,142      |
| 14        | 22,644      | 22,644      | 22,644      | 22,323      | 22,487      | 22,160      |
| Rata-rata | 22,336      | 22,292      | 22,522      | 22,376      | 22,452      | 22,363      |

Tabel 5. Tegangan yang dihasilkan setiap kombinasi rekonfigurasi (Lanjutan)

| kombinasi | 7           | 8           | 9           | 10          | 11          | 12          |
|-----------|-------------|-------------|-------------|-------------|-------------|-------------|
| No        | teg<br>(kV) | teg<br>(kV) | teg<br>(kV) | teg<br>(kV) | teg<br>(kV) | teg<br>(kV) |
| 1         | 23,000      | 23,000      | 23,000      | 23,000      | 23,000      | 23,000      |
| 2         | 22,668      | 22,731      | 22,731      | 22,820      | 22,820      | 22,718      |
| 3         | 22,573      | 22,637      | 22,637      | 21,493      | 21,595      | 22,609      |
| 4         | 22,421      | 22,573      | 22,573      | 22,662      | 22,662      | 22,559      |
| 5         | 22,366      | 22,547      | 22,547      | 22,637      | 22,637      | 22,534      |
| 6         | 22,330      | 22,382      | 22,284      | 22,155      | 22,253      | 22,401      |
| 7         | 22,281      | 22,625      | 22,190      | 22,060      | 22,625      | 22,625      |
| 8         | 21,959      | 22,011      | 21,912      | 21,678      | 21,779      | 22,045      |
| 9         | 21,940      | 21,992      | 21,893      | 21,537      | 21,639      | 22,603      |
| 10        | 21,778      | 21,830      | 21,730      | 21,495      | 21,596      | 21,865      |
| 11        | 22,860      | 22,730      | 22,823      | 22,823      | 22,730      | 22,730      |
| 12        | 22,819      | 22,643      | 22,174      | 22,044      | 22,643      | 22,643      |
| 13        | 22,818      | 22,623      | 22,717      | 22,717      | 22,623      | 22,623      |
| 14        | 22,311      | 22,594      | 22,688      | 22,688      | 22,594      | 22,594      |
| Rata-rata | 22,438      | 22,494      | 22,421      | 22,272      | 22,371      | 22,539      |

Tabel 5. Tegangan yang dihasilkan setiap kombinasi rekonfigurasi (Lanjutan)

| kombinasi<br>No | 13<br>teg<br>(kV) | 14<br>teg<br>(kV) | 15<br>teg<br>(kV) | 16<br>teg<br>(kV) | 17<br>teg<br>(kV) | 18<br>teg<br>(kV) |
|-----------------|-------------------|-------------------|-------------------|-------------------|-------------------|-------------------|
| 1               | 23,000            | 23,000            | 23,000            | 23,000            | 23,000            | 23,000            |
| 2               | 22,369            | 22,369            | 22,718            | 22,787            | 22,841            | 22,668            |
| 3               | 21,886            | 21,886            | 22,609            | 22,692            | 22,747            | 22,573            |
| 4               | 22,207            | 22,207            | 22,559            | 22,711            | 22,151            | 22,421            |
| 5               | 22,182            | 22,182            | 22,534            | 22,393            | 22,178            | 22,366            |
| 6               | 22,829            | 22,736            | 22,304            | 22,382            | 22,382            | 22,382            |
| 7               | 22,625            | 22,643            | 22,210            | 22,553            | 22,477            | 22,706            |
| 8               | 21,280            | 21,280            | 21,947            | 22,011            | 22,011            | 22,011            |
| 9               | 21,720            | 21,720            | 22,603            | 21,992            | 21,992            | 21,992            |
| 10              | 21,093            | 21,093            | 21,765            | 21,830            | 21,830            | 21,830            |
| 11              | 22,730            | 22,823            | 22,823            | 22,658            | 22,582            | 22,811            |
| 12              | 22,643            | 22,627            | 22,193            | 22,571            | 22,495            | 22,724            |
| 13              | 22,623            | 22,717            | 22,717            | 22,491            | 22,354            | 22,769            |
| 14              | 22,594            | 22,688            | 22,688            | 22,436            | 22,272            | 22,311            |
| Rata-rata       | 22,270            | 22,284            | 22,476            | 22,465            | 22,380            | 22,469            |

Tabel 5. Tegangan yang dihasilkan setiap kombinasi rekonfigurasi (Lanjutan)

| kombinasi<br>No | 19<br>teg<br>(kV) | 20<br>teg<br>(kV) | 21<br>teg<br>(kV) | 22<br>teg<br>(kV) | 23<br>teg<br>(kV) | 24<br>teg<br>(kV) |
|-----------------|-------------------|-------------------|-------------------|-------------------|-------------------|-------------------|
| 1               | 23,000            | 23,000            | 23,000            | 23,000            | 23,000            | 23,000            |
| 2               | 22,627            | 22,841            | 22,787            | 22,627            | 22,668            | 22,928            |
| 3               | 22,532            | 22,747            | 22,692            | 22,532            | 22,573            | 21,541            |
| 4               | 22,318            | 22,248            | 22,711            | 22,318            | 22,421            | 22,203            |
| 5               | 22,245            | 22,275            | 22,488            | 22,245            | 22,366            | 22,229            |
| 6               | 22,382            | 22,284            | 22,284            | 22,284            | 22,284            | 22,202            |
| 7               | 22,755            | 22,190            | 22,190            | 22,190            | 22,190            | 22,152            |
| 8               | 22,011            | 21,912            | 21,912            | 21,912            | 21,912            | 21,726            |
| 9               | 21,992            | 21,893            | 21,893            | 21,893            | 21,893            | 21,585            |
| 10              | 21,830            | 21,730            | 21,730            | 21,730            | 21,730            | 21,543            |
| 11              | 22,860            | 22,677            | 22,752            | 22,952            | 22,903            | 22,633            |
| 12              | 22,773            | 22,174            | 22,174            | 22,174            | 22,174            | 22,592            |
| 13              | 22,142            | 22,450            | 22,586            | 22,142            | 22,862            | 22,405            |
| 14              | 22,160            | 22,368            | 22,531            | 22,160            | 22,311            | 22,323            |
| Rata-rata       | 22,402            | 22,342            | 22,409            | 22,297            | 22,378            | 22,219            |

Tabel 5. Tegangan yang dihasilkan setiap kombinasi rekonfigurasi (Lanjutan)

| kombinasi | 25       | 26       | 27       | 28       | 29       | 30       |
|-----------|----------|----------|----------|----------|----------|----------|
| No        | teg (kV) |
| 1         | 23,000   | 23,000   | 23,000   | 23,000   | 23,000   | 23,000   |
| 2         | 22,875   | 22,717   | 22,757   | 22,828   | 22,774   | 22,614   |
| 3         | 21,541   | 21,541   | 21,541   | 22,720   | 22,665   | 22,505   |
| 4         | 22,800   | 22,409   | 22,511   | 22,203   | 22,698   | 22,304   |
| 5         | 22,444   | 22,336   | 22,456   | 22,229   | 22,444   | 22,231   |
| 6         | 22,202   | 22,202   | 22,202   | 22,350   | 22,350   | 22,350   |
| 7         | 22,152   | 22,152   | 22,152   | 22,301   | 22,301   | 22,301   |
| 8         | 21,726   | 21,726   | 21,726   | 21,993   | 21,993   | 21,993   |
| 9         | 21,585   | 21,585   | 21,585   | 22,713   | 22,659   | 22,498   |
| 10        | 21,543   | 21,543   | 21,543   | 21,813   | 21,813   | 21,813   |
| 11        | 22,708   | 22,908   | 22,860   | 22,633   | 22,708   | 22,908   |
| 12        | 22,668   | 22,868   | 22,819   | 22,592   | 22,668   | 22,868   |
| 13        | 22,541   | 22,233   | 22,818   | 22,405   | 22,541   | 22,128   |
| 14        | 22,487   | 22,251   | 22,402   | 22,323   | 22,487   | 22,146   |
| Rata-rata | 22,305   | 22,248   | 22,312   | 22,436   | 22,507   | 22,404   |

Tabel 5. Tegangan yang dihasilkan setiap kombinasi rekonfigurasi (Lanjutan)

| kombinasi | 31       | 32       | 33       | 34       | 35       | 36       |
|-----------|----------|----------|----------|----------|----------|----------|
| No        | teg (kV) |
| 1         | 23,000   | 23,000   | 23,000   | 23,000   | 23,000   | 23,000   |
| 2         | 22,655   | 22,482   | 22,426   | 22,261   | 22,303   | 22,928   |
| 3         | 22,546   | 22,003   | 21,945   | 21,776   | 21,819   | 21,595   |
| 4         | 22,407   | 22,203   | 22,349   | 21,946   | 22,051   | 22,151   |
| 5         | 22,352   | 22,229   | 22,444   | 21,871   | 21,995   | 22,178   |
| 6         | 22,350   | 22,780   | 22,780   | 22,780   | 22,780   | 22,253   |
| 7         | 22,301   | 22,732   | 22,732   | 22,732   | 22,732   | 22,477   |
| 8         | 21,993   | 21,400   | 21,340   | 21,166   | 21,211   | 21,779   |
| 9         | 22,539   | 21,837   | 21,779   | 21,608   | 21,652   | 21,639   |
| 10        | 21,813   | 21,214   | 21,154   | 20,978   | 21,023   | 21,596   |
| 11        | 22,860   | 22,633   | 22,708   | 22,908   | 22,860   | 22,582   |
| 12        | 22,819   | 22,592   | 22,668   | 22,868   | 22,819   | 22,495   |
| 13        | 22,818   | 22,405   | 22,541   | 21,766   | 22,818   | 22,354   |
| 14        | 22,298   | 22,323   | 22,487   | 21,785   | 21,940   | 22,272   |
| Rata-rata | 22,482   | 22,274   | 22,311   | 22,103   | 22,215   | 22,236   |

Tabel 5. Tegangan yang dihasilkan setiap kombinasi rekonfigurasi (Lanjutan)

| kombinasi | 37       | 38       | 39       | 40       | 41       | 42       |
|-----------|----------|----------|----------|----------|----------|----------|
| No        | teg (kV) |
| 1         | 23,000   | 23,000   | 23,000   | 23,000   | 23,000   | 23,000   |
| 2         | 22,875   | 22,717   | 22,757   | 22,928   | 22,875   | 22,717   |
| 3         | 21,595   | 21,595   | 21,595   | 21,493   | 21,493   | 21,493   |
| 4         | 22,800   | 22,409   | 22,511   | 22,248   | 22,800   | 22,409   |
| 5         | 22,393   | 22,336   | 22,456   | 22,275   | 22,488   | 22,336   |
| 6         | 22,253   | 22,253   | 22,253   | 22,155   | 22,155   | 22,155   |
| 7         | 22,553   | 22,755   | 22,706   | 22,060   | 22,060   | 22,060   |
| 8         | 21,779   | 21,779   | 21,779   | 21,678   | 21,678   | 21,678   |
| 9         | 21,639   | 21,639   | 21,639   | 21,537   | 21,537   | 21,537   |
| 10        | 21,596   | 21,596   | 21,596   | 21,495   | 21,495   | 21,495   |
| 11        | 22,658   | 22,860   | 22,811   | 22,677   | 22,752   | 22,952   |
| 12        | 22,571   | 22,773   | 22,724   | 22,044   | 22,044   | 22,044   |
| 13        | 22,491   | 22,233   | 22,769   | 22,450   | 22,586   | 22,233   |
| 14        | 22,436   | 22,251   | 22,402   | 22,368   | 22,531   | 22,251   |
| Rata-rata | 22,331   | 22,300   | 22,357   | 22,172   | 22,250   | 22,168   |

Tabel 5. Tegangan yang dihasilkan setiap kombinasi rekonfigurasi (Lanjutan)

| kombinasi | 43       | 44       | 45       | 46       | 47       | 48       |
|-----------|----------|----------|----------|----------|----------|----------|
| No        | teg (kV) |
| 1         | 23,000   | 23,000   | 23,000   | 23,000   | 23,000   | 23,000   |
| 2         | 22,757   | 22,482   | 22,426   | 22,261   | 22,303   | 22,828   |
| 3         | 21,493   | 22,003   | 21,945   | 21,776   | 21,819   | 22,720   |
| 4         | 22,511   | 22,248   | 22,349   | 21,946   | 22,051   | 22,151   |
| 5         | 22,456   | 22,275   | 22,488   | 21,871   | 21,995   | 22,178   |
| 6         | 22,155   | 22,736   | 22,736   | 22,736   | 22,736   | 22,401   |
| 7         | 22,060   | 22,643   | 22,643   | 22,643   | 22,643   | 22,477   |
| 8         | 21,678   | 21,400   | 21,340   | 21,166   | 21,211   | 22,045   |
| 9         | 21,537   | 21,837   | 21,779   | 21,608   | 21,652   | 22,713   |
| 10        | 21,495   | 21,214   | 21,154   | 20,978   | 21,023   | 21,865   |
| 11        | 22,903   | 22,677   | 22,752   | 22,952   | 22,903   | 22,582   |
| 12        | 22,044   | 22,627   | 22,627   | 22,627   | 22,627   | 22,495   |
| 13        | 22,862   | 22,450   | 22,586   | 21,766   | 22,862   | 22,354   |
| 14        | 22,402   | 22,368   | 22,531   | 21,785   | 21,940   | 22,272   |
| Rata-rata | 22,240   | 22,283   | 22,311   | 22,080   | 22,198   | 22,434   |

Tabel 5. Tegangan yang dihasilkan setiap kombinasi rekonfigurasi (Lanjutan)

| kombinasi | 49       | 50       | 51       | 52       | 53       | 54       |
|-----------|----------|----------|----------|----------|----------|----------|
| No        | teg (kV) |
| 1         | 23,000   | 23,000   | 23,000   | 23,000   | 23,000   | 23,000   |
| 2         | 22,774   | 22,718   | 22,655   | 22,828   | 22,774   | 22,614   |
| 3         | 22,665   | 22,609   | 22,546   | 22,720   | 22,665   | 22,505   |
| 4         | 22,698   | 22,559   | 22,407   | 22,248   | 22,698   | 22,304   |
| 5         | 22,393   | 22,534   | 22,352   | 22,275   | 22,488   | 22,231   |
| 6         | 22,401   | 22,401   | 22,401   | 22,304   | 22,304   | 22,304   |
| 7         | 22,553   | 22,625   | 22,706   | 22,210   | 22,210   | 22,210   |
| 8         | 22,045   | 22,045   | 22,045   | 21,947   | 21,947   | 21,947   |
| 9         | 22,659   | 22,603   | 22,539   | 22,713   | 22,659   | 22,498   |
| 10        | 21,865   | 21,865   | 21,865   | 21,765   | 21,765   | 21,765   |
| 11        | 22,658   | 22,730   | 22,811   | 22,677   | 22,752   | 22,952   |
| 12        | 22,571   | 22,643   | 22,724   | 22,193   | 22,193   | 22,193   |
| 13        | 22,491   | 22,623   | 22,769   | 22,450   | 22,586   | 22,128   |
| 14        | 22,436   | 22,594   | 22,298   | 22,368   | 22,531   | 22,146   |
| Rata-rata | 22,515   | 22,539   | 22,509   | 22,407   | 22,469   | 22,343   |

Tabel 5. Tegangan yang dihasilkan setiap kombinasi rekonfigurasi (Lanjutan)

| kombinasi | 55       | 56       | 57       | 58       | 59       |
|-----------|----------|----------|----------|----------|----------|
| No        | teg (kV) |
| 1         | 23,000   | 23,000   | 23,000   | 23,000   | 23,000   |
| 2         | 22,655   | 22,482   | 22,482   | 22,261   | 22,303   |
| 3         | 22,546   | 22,003   | 22,003   | 21,776   | 21,819   |
| 4         | 22,407   | 22,151   | 22,151   | 21,946   | 22,051   |
| 5         | 22,352   | 22,178   | 22,178   | 21,871   | 21,995   |
| 6         | 22,304   | 22,829   | 22,829   | 22,829   | 22,829   |
| 7         | 22,210   | 22,477   | 22,477   | 22,755   | 22,706   |
| 8         | 21,947   | 21,400   | 21,400   | 21,166   | 21,211   |
| 9         | 22,539   | 21,837   | 21,837   | 21,608   | 21,652   |
| 10        | 21,765   | 21,214   | 21,214   | 20,978   | 21,023   |
| 11        | 22,903   | 22,582   | 22,582   | 22,860   | 22,811   |
| 12        | 22,193   | 22,495   | 22,495   | 22,773   | 22,724   |
| 13        | 22,862   | 22,354   | 22,354   | 21,766   | 22,769   |
| 14        | 22,298   | 22,272   | 22,272   | 21,785   | 21,940   |
| Rata-rata | 22,427   | 22,234   | 22,234   | 22,098   | 22,203   |



*Halaman ini sengaja dikosongkan*

# **STUDY OF THREE PHASE RADIAL POWER FLOW IN DISTRIBUTION NETWORK USING NEWTON- RAPHSON METHOD FOR IMPROVING VOLTAGE PROFILE WITH NETWORK RECONFIGURATION AND CAPACITOR PLACEMENT**

**Student Name**

: Ainul Yaqin

**Id Number**

: 2213105079

**Supervisor I**

: Prof. Ir. Ontoseno Penangsang, M.Sc, Ph.D

**Id Number**

: 19490715 197412 1 001

**Supervisor II**

: Dr. Ir. Soedibyo, M.MT.

**Id Number**

: 19551207 198003 1 004

## **ABSTRACT**

*Power flow analysis is the important part of distribution systems design and operation. The one of popular power flow method is Newton-Raphson. This method generally used in transmission systems analysis but, distribution system has the different characteristic that regular newton-raphson can't handle. Distribution system operating in middle voltage level, radial structure and connected directly to load, so the voltage profile is should be in a range of standart . This research proposed modified Newton-Raphson power flow method is used to improve voltage profile with reconfiguration and capacitor placement. This research using IEEE 16 bus modified to test proposed method. The result is Newton-Raphson is effective can be applied to reconfiguration and capacitor placement. The validation with ETAP show that the biggest error of method was 0,03285%. Reconfiguration and capacitor placement simultaneously can improve average voltage profile for each bus.*

**Keywords** : Distribution Power Flow Analysis, Reconfiguration, Capacitor Bank

*Halaman ini sengaja dikosongkan*

## KATA PENGANTAR

Puji Syukur penulis panjatkan kehadiran Allah SWT atas segala Rahmat, Karunia, dan Petunjuk yang telah dilimpahkan-Nya sehingga penulis mampu menyelesaikan tugas akhir dengan judul "**Studi Aliran Daya Sistem Distribusi Radial Tiga Fasa Metode Newton-Raphson Untuk Memperbaiki Profil Tegangan Menggunakan Rekonfigurasi Jaringan dan Penempatan Kapasitor Bank**". Tugas Akhir ini disusun sebagai salah satu persyaratan untuk menyelesaikan jenjang pendidikan S1 pada Bidang Studi Teknik Sistem Tenaga, Jurusan Teknik Elektro, Fakultas Teknologi Industri, Institut Teknologi Sepuluh Nopember. Atas selesainya penyusunan tugas akhir ini, penulis ingin mengucapkan terima kasih kepada :

1. Allah SWT atas limpahan rahmat dan karunia-Nya.
2. Bapak dan Ibu, Moh. Arifin, Rahmatul Ummah, serta seluruh keluarga yang selalu mendukung penulis dalam menyelesaikan studi.
3. Prof. Ir. Ontoseno Penangsang, M.Sc, PhD dan Dr. Ir. Soedibyo M.MT sebagai dosen pembimbing yang telah memberikan arahan dan perhatiannya dalam tugas akhir.
4. Prof. Dr. Ir. Adi Soeprijanto, MT. yang telah memberikan bimbingan, ilmu, serta nasihat selama penulis melaksanakan studi.
5. Dimas Fajar Uman Putra, ST., MT., Suyanto ST., MT. dan Dr. Eng. Rony Seto Wibowo, dan yang telah memberikan dukungan penulis dalam menyelesaikan tugas akhir.
6. Keluarga Laboratorium simulasi B103, albert, khakim, surya, citra, ayla, reyhan, nani, fadhli, dan kharis serta trainee 2012 serta 2013 yang sudah banyak membantu.
7. Seluruh dosen yang telah memberikan ilmunya selama kuliah, karyawan, dan keluarga besar Jurusan Teknik Elektro ITS baik LJ maupun Reguler yang tidak bisa disebutkan satu per satu.
8. Semua rekan-rekan kuliah yang sudah banyak membantu
9. Semua rekan kos yang selalu menemani saat susah maupun senang.

Semoga tugas akhir ini bermanfaat bagi mahasiswa maupun orang lain. Penulis menyadari bahwa masih banyak kekurangan, untuk itu kritik dan saran diharapkan untuk penyempurnaan tugas akhir ini.

Surabaya, 3 juli 2015  
Penulis

## DAFTAR ISI

|   |     |
|---|-----|
| <b>HALAMAN SAMPUL</b>   | vii |
| <b>HALAMAN JUDUL</b>  | vii |
| <b>PERNYATAAN KEASLIAN TUGAS AKHIR</b>                                    | ix  |
| <b>LEMBAR PENGESAHAN</b>  | xii |
| <b>ABSTRAK .....</b>  | v   |
| <b>ABSTRACT .....</b>   | vii |
| <b>KATA PENGANTAR .....</b>   | ix  |
| <b>DAFTAR ISI .....</b>   | xi  |
| <b>DAFTAR GAMBAR .....</b>  | ix  |
| <b>DAFTAR TABEL .....</b>   | xi  |
| <br><b>BAB 1 PENDAHULUAN</b>  |     |
| 1.1 Latar Belakang .....  | 1   |
| 1.2 Permasalahan .....  | 2   |
| 1.3 Tujuan .....  | 2   |
| 1.4 Batasan Masalah .....   | 2   |
| 1.5 Metodologi .....  | 2   |
| 1.6 Sistematika Penulisan .....   | 4   |
| 1.7 Relevansi .....   | 4   |
| <br><b>BAB 2 SISTEM DISTRIBUSI TENAGA LISTRIK DAN ANALISA ALIRAN DAYA</b> |     |
| 2.1 Sistem Distribusi Tenaga Listrik .....                                | 5   |
| 2.2.1 Jaringan Distribusi Radial .....                                    | 6   |
| 2.2.1.1 Jaringan radial tipe pohon .....                                  | 7   |
| 2.2.1.2 Jaringan radial dengan <i>tie-switch</i> pemisah .....            | 8   |
| 2.2.1.3 Jaringan dengan pembagian fasa area .....                         | 9   |
| 2.2.1.4 Jaringan radial tipe pusat beban .....                            | 10  |
| 2.2 Analisa Aliran Daya .....   | 10  |
| 2.2.1 Metode <i>Newton-Raphson</i> .....                                  | 11  |
| 2.2.1.1 Fungsi Non-Linier .....   | 11  |
| 2.2.2 Penyelesaian aliran daya metode <i>Newton-Raphson</i> .....         | 15  |
| 2.3 Kapasitor Bank .....  | 17  |

## **BAB 3 ANALISA ALIRAN DAYA SISTEM DISTRIBUSI METODE NEWTON-RAPHSON, REKONFIGURASI JARINGAN DAN PENEMPATAN KAPASITOR BANK**

|     |   |    |
|-----|---|----|
| 3.1 | Studi Aliran Daya Metode <i>Newton-Raphson</i> Pada Sistem Distribusi Radial..... | 20 |
| 3.2 | Rekonfigurasi Jaringan distribusi .....   | 29 |
| 3.3 | <i>Loss sensitifity factor (LSF)</i> untuk penempatan kapasitor bank ...          | 31 |
| 3.4 | Sistem distribusi IEEE 16 bus .....   | 31 |

## **BAB 4 SIMULASI DAN ANALISIS**

|     |  |    |
|-----|--|----|
| 4.1 | Analisa aliran daya sistem IEEE 14 bus (Kasus1) .....                                | 33 |
| 4.2 | Perbandingan analisis aliran daya metode <i>Newton-Raphson</i> dengan ETAP 12.6..... | 34 |
| 4.3 | Rekonfigurasi jaringan pada sistem IEEE 16 bus(Kasus2) .....                         | 37 |
| 4.4 | Penempatan kapasitor bank pada sistem IEEE 16 bus (Kasus 3) .....                    | 43 |
| 4.5 | Rekonfigurasi dan Penempatan kapasitor bank pada sistem IEEE 16 bus(Kasus 4) .....   | 44 |

## **BAB 5 PENUTUP**

|     |                  |    |
|-----|------------------|----|
| 5.1 | Kesimpulan ..... | 49 |
| 5.2 | Saran .....      | 49 |

## DAFTAR TABEL

|           |  |    |
|-----------|--|----|
| Tabel 2.1 | Hasil iterasi contoh 2.2 .....   | 15 |
| Tabel 3.1 | Data saluran dan beban contoh 3.1 .....  | 24 |
| Tabel 3.2 | Hasil analisa aliran daya metode <i>Newton-Raphson</i> contoh 3.1 .....                              | 27 |
| Tabel 3.3 | Jumlah kombinasi konfigurasi baru yang mungkin terjadi pada jaringan sederhana pada gambar 3.3 ..... | 30 |
| Tabel 3.4 | Data saluran IEEE 16 bus modifikasi.....   | 33 |
| Tabel 3.5 | Data beban IEEE 16 bus modifikasi.....   | 34 |
| Tabel 4.1 | Studi kasus pada simulasi aliran daya .....  | 35 |
| Tabel 4.2 | Hasil perhitungan tegangan metode <i>Newton-Raphson</i> pada sistem IEEE 16 bus modifikasi.....      | 36 |
| Tabel 4.3 | Kombinasi rekonfigurasi pada sistem IEEE 16 bus modifikasi.....                                      | 37 |
| Tabel 4.4 | Hasil analisa tegangan pada konfigurasi baru .....   | 40 |
| Tabel 4.5 | Hasil perhitungan indeks <i>Loss Sensitivity Factor</i> konfigurasi awal .....                       | 42 |
| Tabel 4.6 | Hasil analisis tegangan akibat penempatan kapasitor bank   | 43 |
| Tabel 4.7 | Hasil perhitungan indeks <i>Loss Sensitivity Factor</i> pada konfigurasi baru.....                   | 44 |
| Tabel 4.8 | Hasil analisis tegangan akibat rekonfigurasi dan penempatan kapasitor bank .....                     | 45 |
| Tabel 4.9 | Hasil Validasi perhitungan metode <i>Newton-Raphson</i> pada IEEE 16 bus modifikasi.....             | 47 |



*Halaman ini sengaja dikosongkan*

## DAFTAR GAMBAR

|             |  |    |
|-------------|--|----|
| Gambar 1.1  | Flow Chart Penyelesaian Tugas Akhir .....  | 3  |
| Gambar 2.2  | Sistem Tenaga Listrik Secara Umum .....  | 8  |
| Gambar 2.3  | Jaringan Distribusi Radial .....   | 7  |
| Gambar 2.4  | Jaringan Radial Tipe Pohon.....  | 8  |
| Gambar 2.5  | Sistem Jaringan Distribusi Radial Dengan <i>Tie-Switch</i> .   | 9  |
| Gambar 2.6  | Jaringan Distribusi Radial Dengan <i>Phase Area</i> .....  | 9  |
| Gambar 2.7  | Ilustrasi Metode <i>Newton-Raphson</i> .....   | 11 |
| Gambar 2.8  | Rangkaian Konduktor Sebelum Pemasangan Kapasitor   | 18 |
| Gambar 2.9  | Rangkaian Konduktor Setelah Pemasangan Kapasitor.  | 18 |
| Gambar 2.10 | Aliran Daya Tanpa Kompensasi.....  | 18 |
| Gambar 2.11 | Aliran Daya Dengan Kompensasi .....  | 18 |
| Gambar 3.1  | <i>Flow Chart</i> Penyelesaian Analisa Aliran Daya .....   | 19 |
| Gambar 3.2  | Single Line Diagram Contoh 3.1 .....   | 23 |
| Gambar 3.3  | Ilustrasi Rekonfigurasi Pada Jaringan Distribusi .....   | 29 |
| Gambar 3.4  | Tie dan Sectionalizing switch pada jaringan distribusi.  | 28 |
| Gambar 3.5  | Saluran distribusi dengan impedansi dan beban .....  | 28 |
| Gambar 3.6  | Flow chart penentuan lokasi kapasitor bank .....   | 32 |
| Gambar 3.7  | Single line diagram sistem IEEE 16 bus modifikasi....  | 28 |
| Gambar 4.1  | Grafik tegangan setiap bus pada kondisi awal.....  | 36 |
| Gambar 4.2  | Rata-rata tegangan sistem dengan setiap kombinasi<br>switch.....   | 38 |
| Gambar 4.3  | Konfigurasi baru IEEE 16 bus modifikasi setelah<br>rekonfigurasi.....  | 41 |
| Gambar 4.4  | Grafik perbandingan tegangan konfigurasi awal dan<br>konfigurasi baru.....   | 41 |
| Gambar 4.5  | Grafik Perbandingan Tegangan Konfigurasi awal dan<br>tegangan akibat pemasangan kapasitor bank .....   | 44 |
| Gambar 4.6  | Grafik Perbandingan Tegangan Konfigurasi awal dan<br>tegangan akibat rekonfigurasi jaringan dan pemasangan<br>kapasitor bank.....                    | 44 |
| Gambar 4.7  | Grafik perbandingan Tegangan rata-rata untuk semua<br>studi kasus .....  | 48 |
| Gambar 4.8  | Grafik perbandingan Tegangan Hasil metode <i>Newton-<br/>Raphson</i> pada IEEE 16 bus modifikasi dengan konfigurasi<br>baru dan Kapasitor Bank ..... | 48 |



*Halaman ini sengaja dikosongkan*

## BIODATA PENULIS



Penulis bernama lengkap Ainul Yaqin. Anak pertama dari dua bersaudara dari pasangan Bapak Moh. Arifin dan Rohmtul Ummah. Penulis lahir pada tanggal 24 Maret 1991 di Kota Kediri. Mengawali pendidikannya di MIN Tanjung Tani Kabupaten Nganjuk, pada tahun 1997-2003. Kemudian melanjutkan pendidikan pada tingkat menengah pertama di MTsN Tanjung Tani Kabupaten Nganjuk pada tahun 2003- 2006. Setelah itu, penulis melanjutkan jenjang pendidikannya di MAN 3 Kota Kediri pada tahun 2006–2009. Setelah lulus menyelesaikan pendidikannya di tingkat SMA pada tahun 2009, penulis meneruskan pendidikannya ke jenjang perkuliahan di Institut Teknologi Sepuluh Nopember Surabaya, Fakultas Teknologi Industri, Jurusan Teknik Elektro, bidang studi Teknik Sistem Tenaga. Semasa perkuliahan penulis belum pernah mengikuti organisasi namun pada akhir tahun perkuliahan penulis aktif sebagai asisten Laboratorium Simulasi Sistem Tenaga Listrik Jurusan Teknik Elektro FTI ITS pada tahun 2013-2014.

## **BAB I** **PENDAHULUAN**

### **1.1 Latar Belakang**

Analisa aliran daya merupakan bagian yang penting dalam melakukan desain dan operasi pada sistem distribusi tenaga listrik. Salah satu metode yang banyak digunakan untuk analisa aliran daya adalah metode *Newton-Raphson*. Metode tersebut umumnya digunakan untuk analisa sistem transmisi. Topologi sistem distribusi yang berbeda dengan sistem transmisi menyebabkan analisa aliran daya klasik tidak selalu konvergen bila di terapkan di sistem distribusi[1]. Sistem distribusi dioperasikan dengan tegangan rendah dan langsung tersambung dengan beban, oleh karena itu profil tegangan harus dijaga pada standart yang diperbolehkan. Pada tugas akhir ini diusulkan analisa aliran daya sistem distribusi radial tiga fasa seimbang dengan metode *Newton-Raphson* untuk aplikasi perbaikan profil tegangan pada bus dengan cara melakukan rekonfigurasi jaringan dan menempatkan kapasitor bank. Dengan upaya rekonfigurasi jaringan dan penempatan kapasitor bank, diharapkan profil tegangan akan menjadi lebih baik.

### **1.2 Rumusan Masalah**

Hal yang menjadi permasalahan dan akan dibahas dalam tugas akhir ini adalah :

1. Memodifikasi metode standart *Newton-Raphson* agar dapat di implementasikan pada sistem distribusi radial tiga fasa seimbang.
2. Meningkatkan profil tegangan bus pada jaringan distribusi radial.
3. Memperbaiki profil tegangan pada bus menggunakan rekonfigurasi jaringan dan menempatkan kapasitor bank.

Untuk memperjelas bahasan perlu adanya pembatasan masalah. Adapun batasan tersebut adalah :

Metode analisa aliran daya yang digunakan adalah *Newton-Raphson* dengan saluran dan beban seimbang. Nilai kapasitor bank yang digunakan dibatasi sesuai dengan nilai yang terdapat dilapangan[2].

### **1.3 Tujuan**

Tujuan yang ingin dicapai dalam tugas akhir ini adalah memperlajari cara pembuatan simulasi aliran daya sistem distribusi

radial menggunakan metode *Newton-Raphson*. Tegangan setiap bus hasil simulasi dijadikan acuan melakukan rekonfigurasi jaringan dan menempatkan kapasitor bank untuk meningkatkan profil tegangan meningkat.

#### 1.4 Metodologi

Metodologi yang digunakan dalam penyusunan tugas ini adalah sebagai berikut:

1. Pengambilan Data

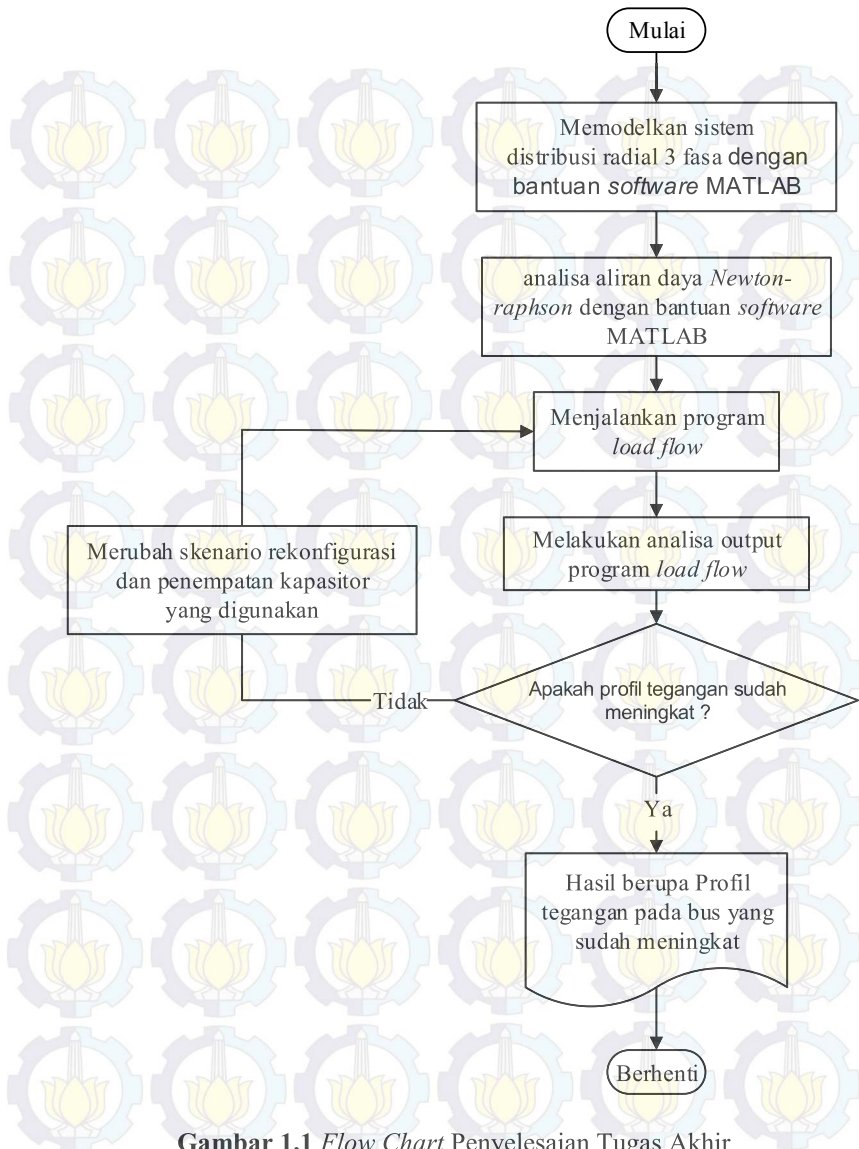
Pengerjaan tugas akhir ini dimulai dengan mengumpulkan data berupa *single line diagram*, data beban serta data setiap saluran. Semua data yang didapatkan dituliskan pada script software Matlab.

2. Simulasi dan Analisis Data

Langkah awal yang dilakukan adalah menentukan persamaan aliran arus setiap bus menggunakan formulasi *Newton-Raphson* untuk sistem distribusi. Perhitungan aliran daya dimulai dengan membentuk matrik  $F$  dan matrik  $Y_{bus}$  sesuai dengan persamaan (3.7) dan (3.15). Langkah selanjutnya adalah membuat *jacobian* matrik dibuat berdasarkan persamaan (3.10) sampai (3.13). Untuk menghitung tegangan bus pertama dihitung matrik  $\Delta\delta$  dan  $\Delta V$  yang merepresentasikan selisih tegangan dan sudut hasil perhitungan dengan tegangan sebenarnya. Hasil perhitungan tersebut ditambah dengan nilai awal (*initial value*), sehingga didapatkan tegangan bus dan sudut tegangan setiap bus yang baru. Proses perhitungan di ulang untuk mendapatkan nilai akurat sesuai dengan batasan iterasi dan toleransi yang ditentukan. Dengan mengacu pada hasil analisa aliran daya tersebut tegangan bus diperbaiki dengan cara melakukan rekonfigurasi jaringan serta menempatkan kapasitor bank. Semua perhitungan dilakukan dengan bantuan software Matlab 2013. Hasil perhitungan yang didapatkan akan dibandingkan dengan simulasi menggunakan software ETAP 12.6 untuk validasi dan pembanding.

3. Penarikan Kesimpulan

Dari hasil analisa data, penarikan kesimpulan dilakukan untuk menjawab permasalahan yang ada.



Gambar 1.1 Flow Chart Penyelesaian Tugas Akhir

## **1.6 Sistematika**

Sistematika penulisan dalam Tugas Akhir ini terdiri atas lima bab dengan uraian sebagai berikut :

Bab 1 : Pendahuluan

Bab ini membahas tentang penjelasan mengenai latar belakang, permasalahan dan batasan masalah, tujuan, metode penelitian, sistematika pembahasan, dan relevansi.

Bab 2 : Sistem Distribusi Tenaga Listrik

Berisi pembahasan mengenai sistem distribusi tenaga listrik, teori tentang standart *Newton-Raphson* dan teori mengenai rekonfigurasi jaringan dan penempatan kapasitor bank.

Bab 3 : Analisis Aliran Daya Pada Sistem Distribusi, Rekonfigurasi jaringan dan Penempatan kapasitor bank

Bab ini membahas mengenai karakteristik sistem distribusi, analisis aliran daya menggunakan *Newton-raphson* serta sistem IEEE 16 bus modifikasi yang dijadikan objek penelitian.

Bab 4 : Simulasi dan Analisis

Bab ini membahas hasil perhitungan analisis aliran daya pada sistem distribusi IEEE 16 bus modifikasi dan perbandingannya dengan hasil *software* ETAP. Pada bab ini juga dijelaskan analisa rekonfigurasi jaringan dan penempatan kapasitor bank dan efeknya terhadap perbaikan profil tegangan.

Bab 5 : Penutup

Bab ini berisi tentang kesimpulan dan saran dari hasil keseluruhan pembahasan yang telah dilakukan.

## **1.7 Relevansi**

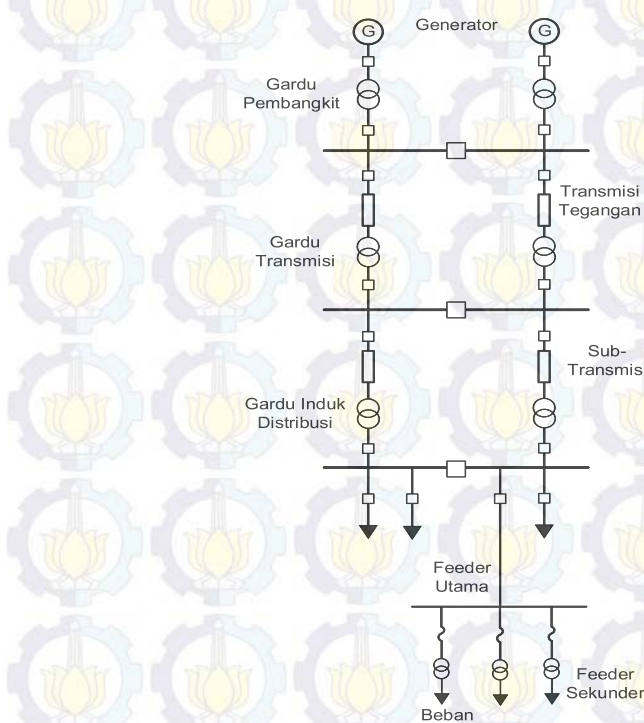
Hasil yang diperoleh dari tugas akhir ini diharapkan dapat memberi manfaat bagi pihak yang berkepentingan seperti operator jaringan distribusi untuk desain dan operasi jaringan. Selain itu tugas akhir ini diharapkan dapat menjadi referensi bagi mahasiswa lain yang akan melakukan penelitian tentang perbaikan parameter tegangan sistem distribusi.

## BAB II

# SISTEM DISTRIBUSI TENAGA LISTRIK

### 2.1 Sistem Distribusi Tenaga Listrik[3]

Sistem tenaga listrik secara umum terdiri dari sistem pembangkitan, sistem transmisi dan sistem distribusi. Tenaga listrik yang dihasilkan pembangkit dengan tegangan 11-24 kV akan dinaikkan menjadi 70-500 kV untuk transmisi. Hal tersebut dilakukan untuk mengurangi rugi daya pada transmisi. Dari saluran transmisi tegangan akan diturunkan kembali menjadi 20 kV di gardu distribusi kemudian akan di salurkan ke beban tegangan menengah atau ke trafo distribusi untuk saluran sekunder.



**Gambar 2.1** Sistem Tenaga Listrik Secara Umum

Sistem distribusi digunakan untuk menyalurkan daya listrik ke pusat-pusat beban. Sistem ini menggunakan saluran udara, kabel udara maupun kabel tanah sesuai dengan kondisi, lingkungan dan keandalan yang diinginkan. Secara umum komponen sistem distribusi adalah sebagai berikut :

a. Gardu Induk

Gardu induk merupakan unit sistem distribusi yang berfungsi untuk menerima daya dari sistem transmisi untuk kemudian diteruskan sistem distribusi. Pada gardu induk ini tegangan berasal dari sistem transmisi tegangan tinggi yaitu 70kV, 154kV, 220kV atau 500kV.

b. Jaringan Subtransmisi

Jaringan Subtransmisi merupakan jaringan yang berfungsi untuk mengalirkan daya dari gardu induk menuju gardu-gardu distribusi. Namun jaringan subtransmisi belum tentu ada di seluruh sistem distribusi, karena jaringan subtransmisi merupakan jaringan dengan tegangan peralihan yaitu antara 170-150kV.

c. Gardu Distribusi

Gardu Distribusi merupakan komponen dalam sistem distribusi yang berfungsi untuk menyalurkan daya dari Gardu Induk atau dari jaringan subtransmisi yang kemudian disalurkan pada penyulang primer atau langsung kepada konsumen-konsumen besar yang membutuhkan tegangan menengah 20 kV.

d. Jaringan distribusi Primer

Saluran penyulang utama merupakan rangkaian yang berfungsi menghubungkan gardu distribusi dengan transformator distribusi.

e. Transformator Distribusi.

Transformator Distribusi adalah transformator yang berfungsi untuk mengubah tegangan menengah 20KV menjadi tegangan rendah 220/380V. Kemudian tegangan tersebut disalurkan kepada beban-beban yang beroperasi pada tegangan rendah seperti perumahan atau perkantoran.

f. Jaringan distribusi Sekunder.

Rangkaian sekunder merupakan rangkaian yang berasal dari gardu distribusi yang berfungsi untuk melayani konsumen yang tersebar di sepanjang jaringan distribusi dengan rating tegangan 220/380V.

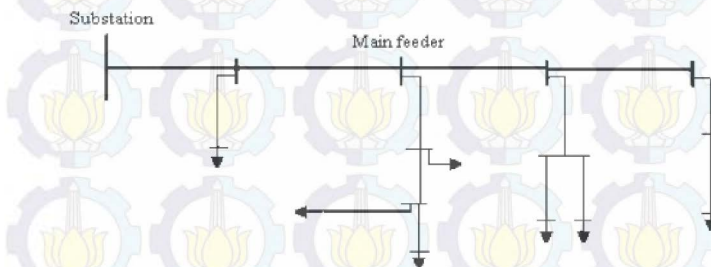
### 2.2.1 Jaringan Distribusi Radial

Distribusi radial adalah jaringan yang mempunyai karakteristik terdiri dari satu saluran antara titik sumber dengan titik bebannya. Distribusi radial merupakan bentuk sistem distribusi yang paling banyak digunakan dengan spesifikasi sebagai berikut :

- a. bentuknya sederhana
- b. membutuhkan biaya investasi yang murah.

Disisi lain jenis distribusi ini punya beberapa kekurangan yaitu:

- c. kualitas daya yang lebih rendah karena mempunyai drop tegangan yang relatif besar
- d. dan tingkat keandalan jaringan yang rendah karena beban hanya di supply hanya dengan satu sumber.



Gambar 2.2 Jaringan Distribusi Radial

Untuk melokalisir gangguan, pada bentuk radial ini biasanya dilengkapi dengan perlatan pengaman berupa fuse, *sectionalizer*, *recloser*, atau alat pemutus beban lainnya yang fungsinya melokalisir gangguan.

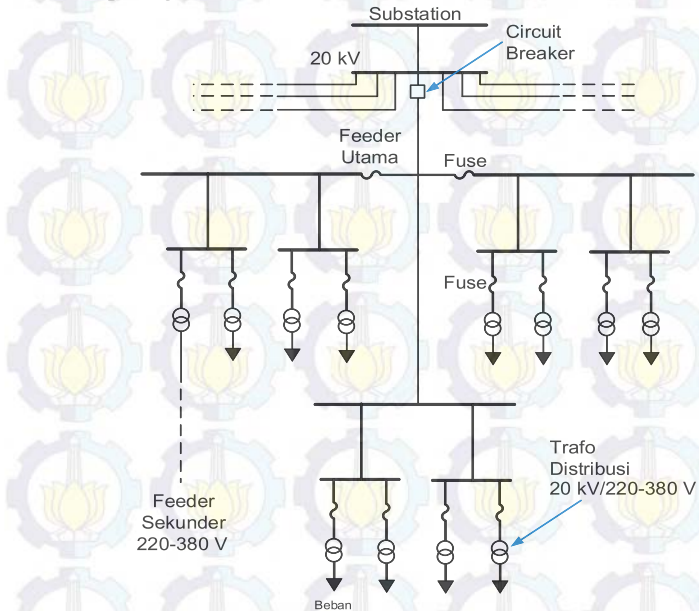
Sitem distribusi radial dapat dibedakan lagi menjadi beberapa tipe jaringan. Berikut ini beberapa modifikasi jaringan distribusi radial: sistem radial pohon, sistem radial dengan *tie-switch* pemisah, sistem radial dengan pembagian fasa area serta sistem radial dengan pusat beban.

#### 2.2.1.1 Jaringan Radial Tipe Pohon

Sistem radial jenis ini dinamakan radial pohon karena dari bentuknya menyerupai cabang pohon. Jaringan ini merupakan bentuk yang paling sederhana dari distribusi radial. Saluran utama ditarik

percabangan ke saluran lateral, dari saluran lateral tadi ditarik lagi saluran sublateral yang kemudian tersambung ke beban.

Sesuai dengan beban yang ditanggung saluran, ukuran saluran utama memiliki ukuran terbesar, ukuran saluran lateral akan lebih kecil dari saluran utama sampai saluran sublateral yang mempunyai ukuran saluran paling kecil.

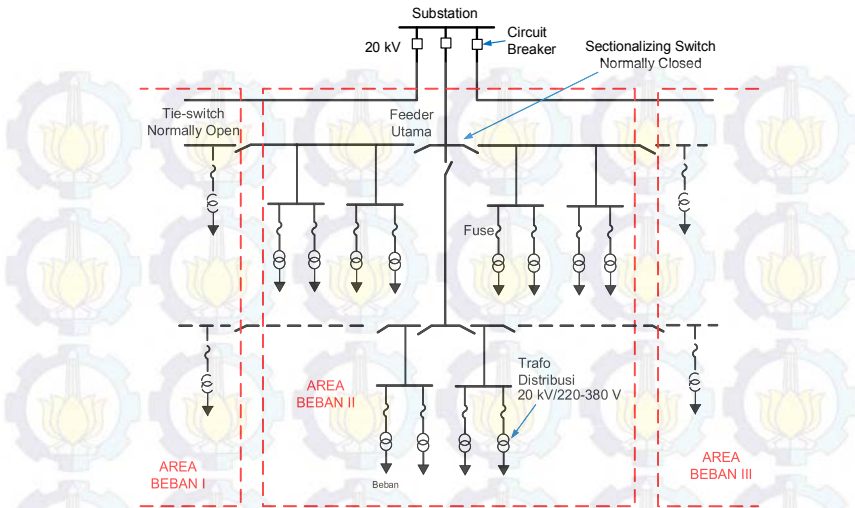


Gambar 2.3 Jaringan Radial Tipe Pohon

#### 2.2.1.2 Jaringan Radial dengan Tie Switch Pemisah

Penggunaan *tie-switch* bertujuan untuk meningkatkan keandalan sistem. Apabila terdapat gangguan pada suatu penyulang maka akan dilakukan manuver dengan menggunakan *tie-switch* untuk memindahkan suplai beban ke penyulang yang lain. Sistem ini merupakan pengembangan dari sistem radial pohon. Sistem radial dengan *tie switch* pemisah dapat dilihat pada gambar 2.3

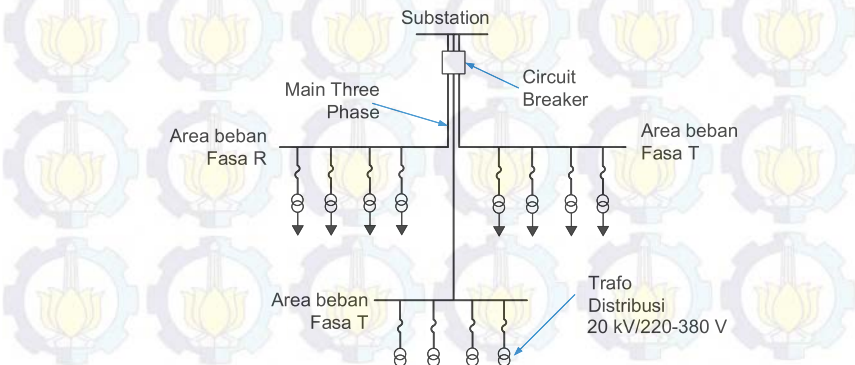
Dengan adanya *tie-switch* dan *sectionalizing switch* pada tiap saluran maka konfigurasi sistem ini juga dapat diubah dengan cara mengubah kombinasi buka dan tutup *switch*.



**Gambar 2.4** Jaringan Distribusi Radial Dengan Tie-Switch

#### 2.2.1.3 Jaringan Radial dengan Pembagian Fasa Area

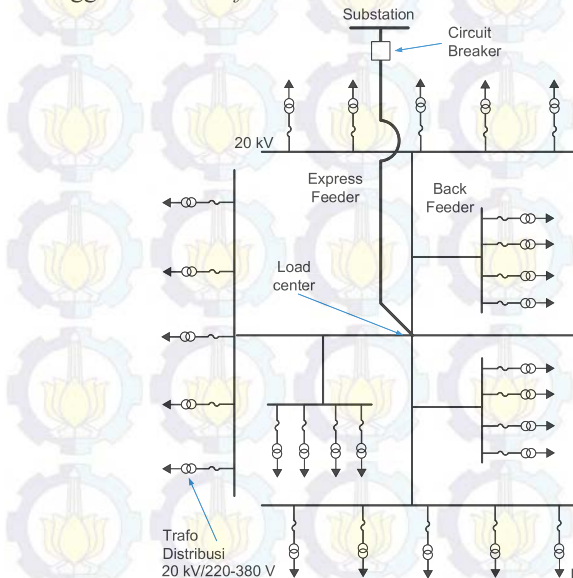
Sebagaimana namanya, jaringan ini mempunyai karakteristik satu fasa hanya melayani satu area tertentu. Jaringan jenis ini hanya cocok untuk daerah beban yang stabil dan penambahan maupun pembagian bebananya dapat diatur merata dan seimbang pada setiap fasanya. Contoh dari sistem jaringan ini dapat dilihat pada gambar 2.4



**Gambar 2.5** Jaringan Distribusi Radial Dengan Phase Area

#### 2.2.1.4 Jaringan radial tipe pusat beban

Bentuk jaringan ini mensupply daya dengan menggunakan penyulang utama yang disebut *express feeder* yang langsung tersambung dengan pusat beban. Dari pusat beban tersebut listrik disebarluaskan menggunakan *back feeder* secara radial.



Gambar 2.6 Jaringan Distribusi Dengan Pusat Beban

## 2.2 Simulasi Dan Analisis Aliran Daya[4]

Analisis aliran daya sangat penting baik untuk perencanaan sistem yang baru maupun untuk pengembangan sistem di masa mendatang. Dengan menggunakan simulasi dan analisis aliran daya dapat diperoleh informasi mengenai akibat perubahan beban, perubahan pembebanan pembangkit, serta perubahan konfigurasi sistem.

Dengan melakukan perhitungan aliran daya pada sistem tenaga listrik dengan menggunakan program komputer, digunakan rengakaiian pengganti komponen-komponen sistem tenaga dan semua besaran di berikan dalam P.U.(per-unit). Metode perhitungan aliran daya yang secara umum adalah metode *Gauss-Seidel*, *Newton-Raphson*, dan *Fast-Decoupled*.

Perhitungan aliran daya dilakukan untuk perencanaan, operasi dan pengendalian operasi sistem tenaga listrik dimana kondisi operasi statis sistem tenaga di ditentukan oleh batasan daya atau tegangan pada bus-bus yang terdapat pada sistem.

Secara umum klasifikasi bus dibagi menjadi 3 yaitu :

1. Load (P-Q) bus atau bus beban, yaitu bus dimana daya nyata  $S_i$  ditentukan
2. Generator (P-V) bus, yaitu bus dimana daya aktif dan tegangan yang tetap.
3. Slack (Swing bus) adalah bus yang harga tegangan dan sudutnya tetap.

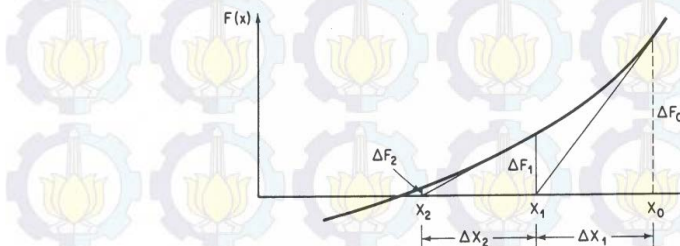
### 2.2.1 Metode Newton-Raphson

Metode Newton-Raphson banyak digunakan untuk menyelesaikan persamaan non-linier. Dengan metode ini persamaan non-linier diubah ke dalam bentuk linier dan digunakan untuk menentukan solusi dari persamaan non-linier tersebut. Metode ini diterapkan untuk menentukan satu besaran yang tidak diketahui dalam satu persamaan, atau sistem dengan sejumlah persamaan dengan besaran yang tidak diketahui jumlah persamaan maupun besarnya.

#### 2.2.1.1 Fungsi non-linier

Misalkan  $F(x) = 0$  sebagai persamaan non-linier, dimana setiap nilai  $x$  yang memenuhi nilai  $F(x) = 0$  adalah akar dari Misalkan  $F(x)$ . Untuk mendapatkan akar dari persamaan tersebut diperlukan perkiraan awal untuk  $x$  pada sekitar nilai tersebut dengan perkiraan awal yaitu  $x_0$ ,

$$F(x) = \Delta F_0 \quad (2.1)$$



**Gambar 2.7** Ilustrasi Metode Newton-Raphson

Dimana  $\Delta F_0$  adalah kesalahan (error) bila  $x_0$  bukan merupakan akar dari  $F(x)$ . hal ini ditunjukkan pada gambar 2.5, garis singgung ditarik pada titik dikurva yang sesuai dengan  $x_0$ , dan diproyeksikan sampai memotong sumbu  $x$  untuk menentukan perkiraan kedua dari akar dan seterusnya sampai  $\Delta F_0$  lebih kecil dari nilai toleransi. dimana bila  $y(x) = 0$  diberikan rumus perkiraan nilai akar pada setiap iterasi,

$$x_{n+1} = x_n - \frac{F(x_n)}{F'(x_n)} \quad \text{atau} \quad x_{n+1} = x_n - \Delta x_n \quad (2.2)$$

Berikut adalah contoh 2.1 aplikasi perhitungan *Newton-Raphson* :

$$F(x) = x^3 - 64$$

$$F'(x) = 3x^2$$

selanjutnya digunakan perkiraan awal  
 $x_0 = 5$

proses iterasi berjalan sesuai persamaan (2.2) sehingga menghasilkan :

$$\Delta x_n = \frac{F(x_n)}{F'(x_n)}$$

$$\Delta x_n = \frac{x^3 - 64}{3x^2}$$

pada iterasi pertama diperoleh

$$\Delta x_1 = \frac{125 - 64}{75} = 0,8133$$

maka

$$x_1 = 5 - 0,8133 = 4,1867$$

untuk iterasi kedua,

$$\Delta x_2 = \frac{(4,1867)^2 - 64}{3(4,1867)^2} = 0,1785 \text{ dan}$$

$$x_2 = 4,1867 - 0,1785 = 4,0082$$

Proses ini dilakukan sampai akurasi yang diinginkan tercapai. untuk mencari solusi masalah yang terdiri dari lebih dari satu persamaan metode newton raphson juga dapat digunakan. misalkan diketahui dua persamaan non-linier  $F_1, F_2$  maka

$$F_1(x_1, x_2)=0, F_2(x_1, x_2)=0 \quad (2.3)$$

matriks jacobian untuk 2x2 persamaan adalah

$$\begin{pmatrix} \frac{\partial F_1}{\partial x_1} & \frac{\partial F_1}{\partial x_2} \\ \frac{\partial F_2}{\partial x_1} & \frac{\partial F_2}{\partial x_2} \end{pmatrix} \quad (2.4)$$

Hubungan linier untuk perubahan kecil ( $\Delta x_1, \Delta x_2$ ) diberikan pada persamaan (2.5)

$$\begin{pmatrix} \frac{\partial F_1}{\partial x_1}^k & \frac{\partial F_1}{\partial x_2}^k \\ \frac{\partial F_2}{\partial x_1}^k & \frac{\partial F_2}{\partial x_2}^k \end{pmatrix} \begin{pmatrix} \Delta x_1^{(k+1)} \\ \Delta x_2^{(k+1)} \end{pmatrix} = \begin{pmatrix} \Delta F_1^{(k)} \\ \Delta F_2^{(k)} \end{pmatrix} \quad (2.5)$$

Persamaan ini kemudian diselesaikan secara langsung untuk koreksi pertama. koreksi tersebut kemudian di tambahkan ke variabel pada iterasi awal (nol) untuk memperoleh nilai variabel pada iterasi pertama

$$\begin{pmatrix} x_1^{(k+1)} \\ x_2^{(k+1)} \end{pmatrix} + \begin{pmatrix} x_1^{(k)} \\ x_2^{(k)} \end{pmatrix} = \begin{pmatrix} \Delta x_1^{(k+1)} \\ \Delta x_2^{(k+1)} \end{pmatrix} \quad (2.6)$$

berikut ini contoh 2.2 aplikasi metode *Newton-Raphson* untuk perhitungan persamaan 2x2 menggunakan metode *Newton-Raphson* :

$$F_1 = x_1^2 + x_2^2 - 5x_1 = 0$$

$$F_2 = x_1^2 + x_2^2 - 1, 5x_1 = 0$$

Penyelesaian.

turunan parsial dari persamaan diatas adalah

$$\frac{\partial F_1}{\partial x_1} = 2x_1 - 5 \quad \frac{\partial F_1}{\partial x_2} = 2x_1$$

$$\frac{\partial F_1}{\partial x_1} = 2x_1 \quad \frac{\partial F_1}{\partial x_1} = -2x_1 - 1, 5$$

dengan menggunakan perkiraan awal,

$$x_1^{(0)} = 3 \quad \text{dan} \quad x_2^{(0)} = 3$$

hasilnya adalah

$$F_1^0 = (3)^2 + (3)^2 - 5(3) = 3$$

$$F_2^0 = (3)^2 - (3)^2 - 1, 5(3) = 4, 5$$

elemen matriks jacobian adalah sebagai berikut :

$$\frac{\partial F_1^0}{\partial x_1} = 2(3) - 5 = 1 \quad \frac{\partial F_1^0}{\partial x_2} = 2(3) = 1$$

$$\frac{\partial F_2^0}{\partial x_1} = 2(3) = 6 \quad \frac{\partial F_2^0}{\partial x_2} = (-2)(3) + 1, 5 = -4, 5$$

maka,

$$\begin{pmatrix} 1 & 6 \\ 6 & -4.5 \end{pmatrix} \begin{pmatrix} \Delta x_1^{(0)} \\ \Delta x_2^{(0)} \end{pmatrix} = \begin{pmatrix} -3 \\ -4, 5 \end{pmatrix}$$

penyelesaiannya adalah

$$\Delta x_1^{(0)} = -1$$

$$\Delta x_2^{(0)} = -0, 333$$

dengan demikian hasil pada iterasi pertama adalah

$$x_1^{(1)} = x_1^{(0)} + \Delta x_1^{(1)} = 3 - 1 = 2$$

$$x_2^{(1)} = x_2^{(0)} + \Delta x_2^{(1)} = 3 - 0,333 = 2,667$$

prosedur di atas diulangi

$$F_1^{(1)} = (2)^2 + (2,667)^2 - 5(3) = 1,1129$$

$$F_2^{(1)} = (2)^2 - (2,667)^2 - 1,5(2,667) = 0,8876$$

elemen matriks jacobian adalah sebagai berikut :

$$\frac{\partial F_1^{(1)}}{\partial x_1} = 2(2) - 5 = -1 \quad \frac{\partial F_1^{(1)}}{\partial x_2} = 2(2,6667) = 6$$

$$\frac{\partial F_2^{(1)}}{\partial x_1} = 2(2) = 4 \quad \frac{\partial F_2^{(1)}}{\partial x_2} = -2(2,6667) = 6$$

kemudian,

$$\begin{pmatrix} -1 & 5,334 \\ 4 & -3,834 \end{pmatrix} \begin{pmatrix} \Delta x_1^{(1)} \\ \Delta x_2^{(1)} \end{pmatrix} = \begin{pmatrix} -1,1129 \\ -0,8876 \end{pmatrix}$$

dengan mengulangi prosedur diatas berikut ini adalah hasil pada setiap iterasi sampai dengan iterasi ke 8 :

**Tabel 2.1** Hasil iterasi contoh 2.2

| iterasi | $x_1$      | $x_2$      |
|---------|------------|------------|
| 3       | 1,223900   | 2,17380    |
| 4       | 1,093500   | 2,07330    |
| 5       | 1,031600   | 2,02480    |
| 6       | 1,000650   | 2,00510    |
| 7       | 1,004000   | 2,00030    |
| 8       | 1,00000189 | 2,00000149 |

### 2.2.2 Penyelesaian Aliran Daya dengan Metode *Newton-Raphson*

Untuk menyelesaikan aliran daya menggunakan persamaan aliran daya untuk mendapatkan tegangan setiap bus. Persamaan aliran daya yang dimaksud adalah :

$$P_i - jQ_i = |V_i| \angle -\delta_i \sum_{j=1}^n |Y_{ij}| |V_j| \angle \theta_{ij} + \delta_j \quad (2.7)$$

Dengan memisahkan bagian real dan imajiner persamaan diatas didapatkan:

$$\begin{aligned} P_i &= |V_i| \sum_{j=1}^n |Y_{ij}| |V_j| \cos(\theta_{ij} - \delta_i + \delta_j) \\ Q_i &= |V_i| \sum_{j=1}^n |Y_{ij}| |V_j| \sin(\theta_{ij} - \delta_i + \delta_j) \end{aligned} \quad (2.7)$$

Persamaan diatas merupakan fungsi  $|V|$  dan  $\delta$  pada tiap-tiap bus. Persamaan tersebut kemudian digunakan untuk menghitung  $|V|$  dan  $\delta$  tiap bus. Cara umum metode analisa aliran daya *Newton-Raphson* ditulis sebagai berikut.

$$\begin{pmatrix} H & N \\ J & L \end{pmatrix} \begin{pmatrix} \Delta\delta \\ \Delta|V| \\ |V| \end{pmatrix} = \begin{pmatrix} \Delta P \\ \Delta Q \end{pmatrix} \quad (2.8)$$

Dimana elemen matrik H :

$$\frac{\partial P_i}{\partial \delta_i} = \sum_{j \neq 1} |V_i| |V_j| |Y_{ij}| \sin(\theta_{ij} - \delta_i + \delta_j)$$

$$\frac{\partial P_i}{\partial \delta_j} = -|V_i| |V_j| |Y_{ij}| \sin(\theta_{ij} - \delta_i + \delta_j)$$

Elemen matrik N:

$$\frac{\partial P_i}{\partial |V|} = 2|V_i| |Y_{ii}| \cos \theta_{ii} + \sum_{j \neq 1} |V_j| |Y_{ij}| \cos(\theta_{ij} - \delta_i + \delta_j)$$

$$\frac{\partial P_i}{\partial |V|_j} = |V_i| |Y_{ij}| \sin(\theta_{ij} - \delta_i + \delta_j)$$

elemen matrik J :

$$\frac{\partial Q_i}{\partial \delta_i} = \sum_{j \neq 1} |V_i| |V_j| |Y_{ij}| \cos(\theta_{ij} - \delta_i + \delta_j)$$

$$\frac{\partial Q_i}{\partial \delta_j} = -|V_i| |V_j| |Y_{ij}| \sin(\theta_{ij} - \delta_i + \delta_j)$$

Elemen matrik L:

$$\frac{\partial Q_i}{\partial |V|_i} = -2|V_i||Y_{ii}|\sin\theta_{ii} + \sum_{j \neq i} |V_j||Y_{ij}|\cos(\theta_{ij} - \delta_i + \delta_j) \quad (2.9)$$

$$\frac{\partial Q_i}{\partial |V|_j} = -|V_i||Y_{ij}|\sin(\theta_{ij} - \delta_i + \delta_j)$$

Nilai mismatch dihitung dengan persamaan berikut:

$$\Delta P_i^{(k)} = P^{sch} - \Delta P_i^{(k)}$$

$$\Delta Q_i^{(k)} = Q^{sch} - \Delta Q_i^{(k)}$$

akar akar persamaan diperoleh dari operasi perkalian secara matriks. dengan akar akarnya adalah:

$$\delta_i^{(k+1)} = \delta_i^{(k)} + \Delta \delta_i^{(k)}$$

$$|V|_i^{(k+1)} = |V|_i^{(k)} + \Delta |V|_i^{(k)}$$

(2.10)

## 2.3 Kapasitor Bank[5]

Kapasitor merupakan komponen kompensator yang berfungsi untuk memperbaiki faktor daya, sebagai pengatur tegangan maupun untuk mengurangi kerugian daya (*Ploss*) dan drop tegangan (*Vdrop*) pada jaringan. Fungsi lain dari kapasitor bank adalah untuk mengkompensasi daya reaktif yang sekaligus menjaga kualitas tegangan dan juga untuk meningkatkan effisiensi pada sistem dan umumnya pemakaian bank kapasitor memberikan keuntungan antara lain:

Kapasitor paralel dan reaktor paralel berguna untuk :

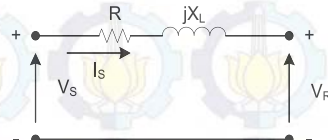
- Mengkompensasi kebutuhan daya reaktif
- Menaikkan atau menurunkan tegangan
- Mengurangi rugi-rugi distribusi
- Memperbaiki faktor daya
- Memaksimalkan kapasitas sistem

Kapasitor dipasang pada jaringan dengan tujuan untuk perbaikan faktor daya, sebagai pengatur tegangan maupun untuk mengurangi kerugian daya dan drop tegangan pada jaringan.

### 2.3.1 Pengaruh Pemasangan Kapasitor Terhadap Tegangan

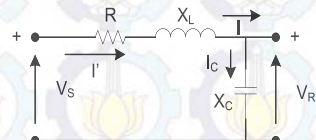
Pada umumnya jaringan distribusi akan menyerap daya reaktif karena karakteristik beban-beban yang ada. Kondisi sistem distribusi tanpa kapasitor dapat dilihat pada gambar 2.8. Gambar tersebut

memperlihatkan kondisi suatu konduktor sebelum pemasangan kapasitor.

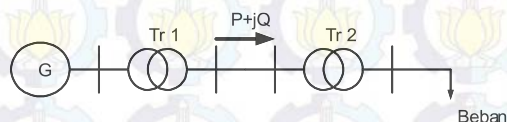


**Gambar 2.8** Rangkaian Konduktor Sebelum Pemasangan Kapasitor

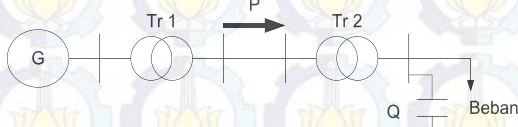
Sedangkan pada Gambar 2.9 dibawah diperlihatkan suatu sistem yang diberi kompensasi daya reaktif berupa kapasitor. Pemasangan kapasitor membuat kenaikan pada tegangan disisi terima ( $V_R$ ) jika tegangan pengirim ( $V_s$ ) dipertahankan konstan.



**Gambar 2.9** Rangkaian Konduktor Setelah Pemasangan Kapasitor



**Gambar 2.10** Aliran Daya Tanpa Kompensasi

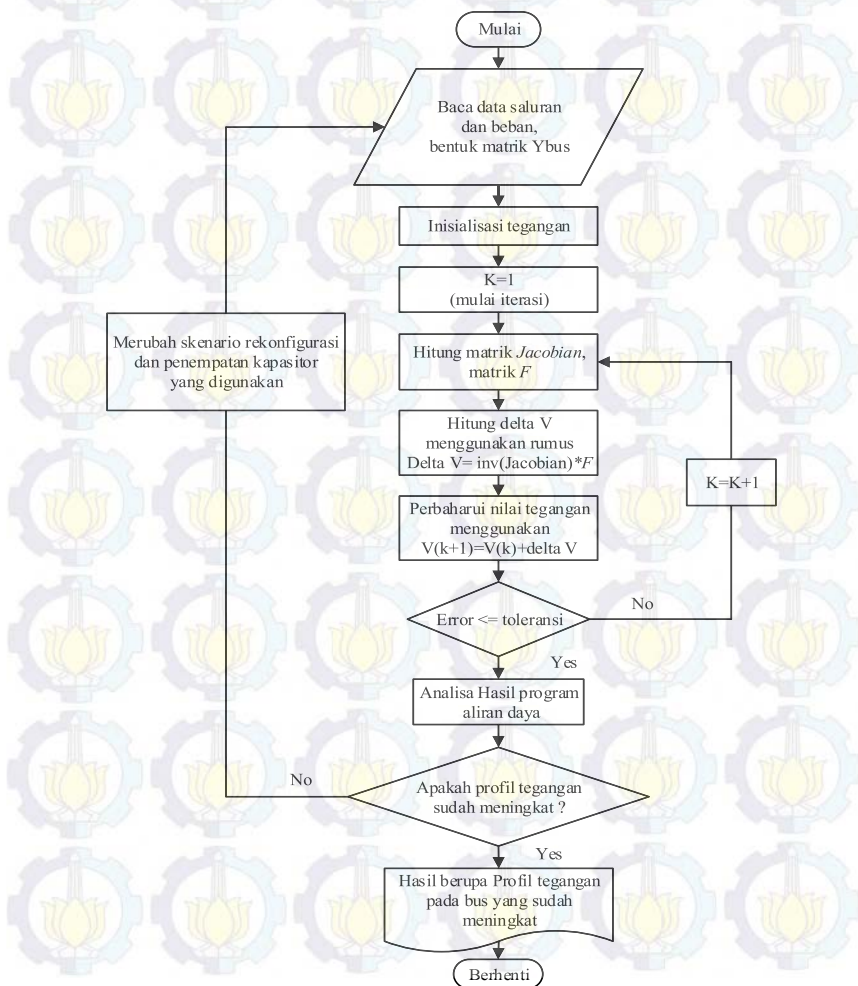


**Gambar 2.11** Aliran Daya Dengan Kompensasi

Daya reaktif bisa dibangkitkan oleh kapasitor dan penggunaan kapasitor bank sebagai suplai daya reaktif pada sistem tenaga listrik adalah solusi terbaik untuk memproduksi daya reaktif, karena biaya awal dan pemeliharaannya tidak mahal.

### BAB III

## ANALISA ALIRAN DAYA SISTEM DISTRIBUSI METODE NEWTON-RAPHSON, REKONFIGURASI JARINGAN DAN PENEMPATAN KAPASITOR BANK



**Gambar 3.1 Flow Chart Penyelesaian Analisa Aliran Daya**

Pada bab ini akan dijelaskan tentang perancangan dari analisa aliran daya, rekonfigurasi jaringan dan lokasi pemasangan kapasitor bank. Tahapan penggerjaan tugas akhir ini dijelaskan melalui *flowchart* diatas.

### 3.1 Studi Aliran Daya Metode *Newton-Raphson* Pada Sistem Distribusi Radial

Metode *Newton-Raphson* adalah metode yang handal digunakan untuk menghitung analisa aliran daya, selain itu metode tersebut juga mempunyai sejarah panjang dan digunakan secara luas untuk diterapkan pada *software* komersial. Metode *Newton-Raphson* juga sangat efisien dan sudah digunakan sebagai standart perhitungan analisa aliran daya pada banyak literatur.

Analisa aliran daya metode *Newton-Raphson* digunakan untuk menentukan tegangan bus melalui persamaan *mismatch* daya, namun untuk elternatif *Newton-Raphson* pada tugas akhir ini menggunakan persamaan *mismatch* arus[6].

Bila sebuah sistem mempunyai jumlah bus sebanyak- $n$  maka di asumsikan bus  $k=1$  merupakan slack bus dimana tegangan dan sudutnya tetap. Persamaan aliran arus setiap bus dapat di representasikan dengan persamaan berikut.

$$(I_{gen,k} - I_{dem,k}) - \sum_{i=1}^n Y_{ki}V_i = 0 \quad (3.1)$$

$I_{gen,k}$  merupakan arus generator yang mengalir di bus ke- $k$  sedangkan  $I_{dem,k}$  merupakan arus akibat beban. Pada kondisi praktis beban di sistem tenaga listrik merupakan persamaan daya. Oleh karena itu dapat dituliskan persamaan baru dengan mensubstitusi persamaan (3.2) ke persamaan (3.1) sehingga persamaan aliran daya menjadi persamaan (3.3) yang dituliskan sebagai berikut.

$$I_k = \frac{S_k^*}{V_k} \quad (3.2)$$

$$I_k = \left( \frac{S_{sch,k} - S_{dem,k}}{V_k} \right)^* - \sum_{i=1}^n Y_{ki}V_i \quad (3.3)$$

Dalam persamaan tersebut tegangan, daya di bus ke- $k$ , serta admitansi dari bus- $k$  ke bus- $i$  di definisikan dengan.

$$|V_k| \angle \delta_k$$

$$Y_{ki} \angle \theta_{ki} \\ S_{gen,k} - S_{dem,k} = S_{sch,k} = S_k \angle \varphi_k \quad (3.4)$$

Persamaan (3.4) jika disubstitusikan ke persamaan (3.3) akan menjadi.

$$I_k = \left| \frac{S_{sch,k}}{V_k} \right| \angle(-\varphi_k + \delta_k) - \sum_{i=1}^n |Y_{ki}V_i| \angle(-\varphi_{ki} + \delta_i) \quad (3.5)$$

Pada persamaan (3.5) merupakan persamaan arus masih berupa bentuk kompleks.

$$I_k = G_k + jH_k \quad (3.6)$$

Persamaan (3.5) dapat diuraikan menjadi persamaan arus real dan imajinernya sehingga menjadi.

$$G_k = \left| \frac{S_{sch,k}}{V_k} \right| \cos \angle(-\varphi_k + \delta_k) - \sum_{i=1}^n |Y_{ki}V_i| \cos \angle(-\theta_{ki} + \delta_i) \\ H_k = \left| \frac{S_{sch,k}}{V_k} \right| \sin \angle(-\varphi_k + \delta_k) - \sum_{i=1}^n |Y_{ki}V_i| \sin \angle(-\theta_{ki} + \delta_i) \quad (3.7)$$

Keterangan :

$G_k$  = arus aktif yang mengalir pada bus ke- $k$

$H_k$  = arus reaktif yang mengalir pada bus ke- $k$

$V_k$  = tegangan pada bus ke- $k$

$I_k$  = arus pada bus ke- $k$

$V_i$  = tegangan pada bus- $i$

$Y_{ki}$  = admittansi saluran dari bus- $k$  ke bus- $i$

$\delta_k$  = sudut fasa tegangan kompleks pada bus- $k$

$\varphi_k$  = sudut fasa daya kompleks pada bus- $k$

$\theta_{ki}$  = sudut fasa admittansi saluran dari bus- $k$  ke bus- $i$

Persamaan (3.5) merupakan persamaan *mismatch* arus pada bus- $k$ . nilai *mismatch* akan bernilai nol bila semua tegangan pada bus telah ditemukan. Untuk mencari tegangan setiap bus maka kedua persamaan diatas harus di formulasiakan menjadi deret taylor sehingga menjadi :

$$G_k = \sum_{i=1}^n \frac{\partial G_k}{\partial \delta_i} \Delta \delta_i + \sum_{i=1}^n \frac{\partial G_k}{\partial V_k} \Delta V_i \quad (3.8)$$

dari persamaan deret taylor ini, formula untuk menentukan sudut dan magnitude tegangan dapat di ekspresikan sebagai berikut.

$$\begin{bmatrix} G \\ H \end{bmatrix} = \begin{bmatrix} \frac{\partial G}{\partial \delta} & \frac{\partial G}{\partial V} \\ \frac{\partial H}{\partial \delta} & \frac{\partial H}{\partial V} \end{bmatrix} \begin{bmatrix} \Delta \delta \\ \Delta V \end{bmatrix} = \begin{bmatrix} J_1 & J_2 \\ J_3 & J_4 \end{bmatrix} \begin{bmatrix} \Delta \delta \\ \Delta V \end{bmatrix} \quad (3.9)$$

Elemen matriks jacobian persamaan (3.8) dapat diturunkan seperti metode *Newton-Raphson* biasa, penurunan elemen matriks tersebut dijelaskan pada persamaan (3.10) sampai (3.13)

Submatriks J1 :

$$\begin{aligned} \frac{\partial G_k}{\partial \delta_i} &= -|V_i Y_{ki}| \sin(\theta_{ki} + \delta_i) \text{ untuk } k \neq i \\ \frac{\partial G_k}{\partial \delta_k} &= -|V_i Y_{kk}| \sin(\theta_{kk} + \delta_k) + \left| \frac{S_{sch,k}}{V_k} \right| \sin(-\varphi_k + \delta_k) \end{aligned} \quad (3.10)$$

Submatriks J2 :

$$\begin{aligned} \frac{\partial G_k}{\partial |V_k|} &= -|V_i Y_{ki}| \sin(\theta_{ki} + \delta_i) \text{ untuk } k \neq i \\ \frac{\partial G_k}{\partial |V_k|} &= -|V_k Y_{kk}| \sin(\theta_{kk} + \delta_k) + \left| \frac{S_{sch,k}}{V_k} \right| \sin(-\varphi_k + \delta_k) \end{aligned} \quad (3.11)$$

Submatriks J3 :

$$\frac{\partial H_k}{\partial \delta_i} = |V_i Y_{ki}| \cos(\theta_{ki} + \delta_i) \text{ untuk } k \neq i$$

$$\frac{\partial H_k}{\partial \delta_k} = \left| V_i Y_{kk} \right| \cos(\theta_{kk} + \delta_k) - \left| \frac{S_{sch,k}}{V_k} \right| \cos(-\varphi_k + \delta_k) a \quad (3.12)$$

Submatriks J4 :

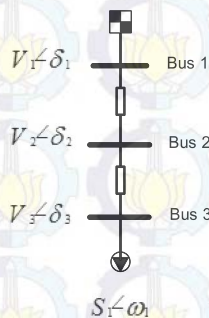
$$\begin{aligned} \frac{\partial G_k}{\partial |V_k|} &= \left| V_i Y_{ki} \right| \cos(\theta_{ki} + \delta_i) \text{ untuk } k \neq i \\ \frac{\partial H_k}{\partial |V_k|} &= \left| V_k Y_{kk} \right| \cos(\theta_{kk} + \delta_k) + \left| \frac{S_{sch,k}}{V_k} \right| \cos(-\varphi_k + \delta_k) \end{aligned} \quad (3.13)$$

Persamaan aliran daya tersebut diselesaikan dengan menggunakan suatu proses pengulangan (iterasi) dengan menetapkan nilai-nilai perkiraan untuk tegangan pada bus yang tidak diketahui nilainya dan kemudian menghitung suatu nilai baru untuk setiap tegangan bus dari nilai perkiraan pada bus yang lain.

Setiap perhitungan suatu himpunan nilai tegangan yang baru disebut sebagai satu iterasi. Proses iterasi ini diulang terus-menerus hingga perubahan yang terjadi pada setiap bus kurang dari nilai minimum atau tidak melebihi nilai maksimum yang telah ditentukan.

Salah satu contoh sederhana penyelesaian persamaan aliran daya dengan metode *Newton-Raphson* adalah sebagai berikut.

**Contoh 3.1 :**



**Gambar 3.2** Single Line Diagram Contoh 3.1

**Tabel 3.1** Data saluran dan beban contoh 3.1

| bus | bus | R(ohm)  | X(ohm) | P(MW)   | Q(Mvar) |
|-----|-----|---------|--------|---------|---------|
| 1   | 2   | 0,39675 | 0,5920 | 2       | 1,6     |
| 2   | 3   | 0,42320 | 0,5819 | 3       | 1,5     |
|     |     | KVbase  |        | 20 kV   |         |
|     |     | MVAbase |        | 100 MVA |         |

Sebelum menghitung, semua data harus dikonversi menjadi satuan per-unit (p.u.) dengan rumus sebagai berikut.

$$\begin{aligned} Z_{p.u} &= \frac{Z_{Actual}(\text{ohm})}{Z_{Base}(\text{ohm})} \quad \text{dan}, \quad S_{p.u} = \frac{S_{Actual}(\text{VA})}{S_{Base}(\text{VA})} \\ KV_{p.u} &= \frac{KV_{Actual}(\text{kV})}{KV_{Base}(\text{kV})} \end{aligned} \quad (3.14)$$

Pada perhitungan juga ditetapkan nilai awal tegangan dan sudutnya sebesar  $1\angle 0$  p.u.

Gambar 3.3 merepresentasikan sebuah sistem distribusi sederhana yang berbentuk radial dan disuplai dari satu sumber. Untuk mempermudah perhitungan maka dihitung terlebih dahulu matriks  $Y_{bus}$  berdasarkan gambar 3.3 dan tabel 3.1 sehingga menghasilkan matrik  $Y_{bus}$  sebagai berikut.

$$Y_{bus} = \begin{pmatrix} Y_{11} & Y_{12} & Y_{13} \\ Y_{21} & Y_{22} & Y_{23} \\ Y_{31} & Y_{32} & Y_{33} \end{pmatrix} \quad (3.15)$$

Persamaan matrik  $Y_{bus}$  terdiri dari dua komponen, yaitu elemen matriks *on-diagonal* dan elemen matriks *off-diagonal*. Elemen *on-diagonal* matriks  $Y_{bus}$  adalah penjumlahan admitansi yang tersambung pada bus tersebut, pada contoh ini nilai elemen *on-diagonal* adalah sebagai berikut.

$$Y_{11} = y_{12}$$

$$Y_{22} = y_{12} + y_{13}$$

$$Y_{33} = y_{13}$$

Sedangkan elemen *off-diagonal* matriks adalah negatif admitansi saluran yang tersambung pada bus tersebut, nilainya sebagai berikut :

$$\begin{aligned} Y_{12} &= Y_{21} = -y_{12} \\ Y_{13} &= Y_{31} = -y_{13} \end{aligned}$$

Semua elemen matrik disusun sesuai persamaan (3.15) yang dituliskan sebelumnya. sehingga menghasilkan matriks sebagai berikut :

$$Y_{bus} = \begin{bmatrix} 3,629 - j4,839 & -3,6294 + j4,839 & 0 \\ -3,6294 + j4,839 & 6,899 - j9,335 & -3,269 + j4,495 \\ 0 & -3,269 + j4,495 & 3,269 - j4,495 \end{bmatrix}$$

atau dalam bentuk polar

$$Y_{bus} = \begin{bmatrix} 6,049\angle-0,927 & 6,049\angle2,214 & 0 \\ 6,049\angle2,214 & 11,608\angle-0,934 & 5,559\angle2,199 \\ 0 & 5,559\angle2,199 & 5,59\angle-0,942 \end{bmatrix}$$

Matriks  $Y_{bus}$  ini selanjutnya digunakan untuk menghitung elemen matriks *jacobian* maupun matriks  $F$ . Langkah selanjutnya adalah menghitung matriks Setelah menghitung matriks, langkah selanjutnya adalah menghitung matrik  $F$  dengan persamaan (3.7) sehingga didapatkan nilai berikut.

$$G_2 = \left| \frac{S_2}{V_2} \right| \cos \angle(-\varphi_2 + \delta_2) - (|Y_{21}V_1| \cos \angle(-\theta_{21} + \delta_1) + |Y_{22}V_2| \cos \angle(-\theta_{22} + \delta_2)$$

$$+ |Y_{23}V_3| \cos \angle(-\theta_{23} + \delta_3) = -0,02$$

$$G_3 = \left| \frac{S_3}{V_3} \right| \cos \angle(-\varphi_3 + \delta_3) - (|Y_{31}V_1| \cos \angle(-\theta_{31} + \delta_1) + |Y_{32}V_2| \cos \angle(-\theta_{32} + \delta_2)$$

$$+ |Y_{33}V_3| \cos \angle(-\theta_{33} + \delta_3) = -0,03$$

Kemudian dihitung nilai  $H$  sebagai berikut :

$$H_2 = \left| \frac{S_2}{V_2} \right| \sin \angle(-\varphi_2 + \delta_2) - (|Y_{21}V_1| \sin \angle(-\theta_{21} + \delta_1) + |Y_{22}V_2| \sin \angle(-\theta_{22} + \delta_2)$$

$$+ |Y_{23}V_3| \sin \angle(-\theta_{23} + \delta_3)) = 0,01599$$

$$H_3 = \begin{vmatrix} S_3 \\ V_3 \end{vmatrix} \sin \angle(-\varphi_3 + \delta_3) - (|Y_{31}V_1| \sin \angle(-\theta_{31} + \delta_1) + |Y_{32}V_2| \sin \angle(-\theta_{32} + \delta_2) + |Y_{33}V_3| \sin \angle(-\theta_{33} + \delta_3)) = 0,1499$$

Setelah semua elemen matriks  $F$  didapatkan, untuk menentukan persamaan tegangan setiap bus masih diperlukan matriks *jacobian*. Matriks *jacobian* dihitung menggunakan persamaan (3.10) sampai (3.13).

$$J1 = \begin{bmatrix} \frac{\partial G_1}{\partial \delta_1} & \frac{\partial G_2}{\partial \delta_1} & \frac{\partial G_3}{\partial \delta_1} \\ \frac{\partial G_1}{\partial \delta_2} & \frac{\partial G_2}{\partial \delta_2} & \frac{\partial G_3}{\partial \delta_2} \\ \frac{\partial G_1}{\partial \delta_3} & \frac{\partial G_2}{\partial \delta_3} & \frac{\partial G_3}{\partial \delta_3} \end{bmatrix}, J2 = \begin{bmatrix} \frac{\partial G_1}{\partial |V_1|} & \frac{\partial G_2}{\partial |V_1|} & \frac{\partial G_3}{\partial |V_1|} \\ \frac{\partial G_1}{\partial |V_2|} & \frac{\partial G_2}{\partial |V_2|} & \frac{\partial G_3}{\partial |V_2|} \\ \frac{\partial G_1}{\partial |V_3|} & \frac{\partial G_2}{\partial |V_3|} & \frac{\partial G_3}{\partial |V_3|} \end{bmatrix},$$

$$J3 = \begin{bmatrix} \frac{\partial H_1}{\partial \delta_1} & \frac{\partial H_2}{\partial \delta_1} & \frac{\partial H_3}{\partial \delta_1} \\ \frac{\partial H_1}{\partial \delta_2} & \frac{\partial H_2}{\partial \delta_2} & \frac{\partial H_3}{\partial \delta_2} \\ \frac{\partial H_1}{\partial \delta_3} & \frac{\partial H_2}{\partial \delta_3} & \frac{\partial H_3}{\partial \delta_3} \end{bmatrix}, J4 = \begin{bmatrix} \frac{\partial H_1}{\partial |V_1|} & \frac{\partial H_2}{\partial |V_1|} & \frac{\partial H_3}{\partial |V_1|} \\ \frac{\partial H_1}{\partial |V_2|} & \frac{\partial H_2}{\partial |V_2|} & \frac{\partial H_3}{\partial |V_2|} \\ \frac{\partial H_1}{\partial |V_3|} & \frac{\partial H_2}{\partial |V_3|} & \frac{\partial H_3}{\partial |V_3|} \end{bmatrix}$$

Setiap elemen matriks *jacobian* yang merupakan fungsi penurunan terhadap magnitude dan sudut tegangan *slack bus* (bus 1) dihapus, karena *slack bus* mempunyai tegangan dan sudut yang tetap yaitu sebesar  $1\angle 0$ . Setelah dilakukan eliminasi baris dan kolom pada setiap elemen matriks maka didapatkan persamaan sebagai berikut.

$$J_1 = \begin{vmatrix} \frac{\partial G_2}{\partial \delta_2} & \frac{\partial G_3}{\partial \delta_2} \\ \frac{\partial G_2}{\partial \delta_3} & \frac{\partial G_3}{\partial \delta_3} \end{vmatrix}, J_2 = \begin{vmatrix} \frac{\partial G_2}{\partial |V_2|} & \frac{\partial G_3}{\partial |V_2|} \\ \frac{\partial G_2}{\partial |V_3|} & \frac{\partial G_3}{\partial |V_3|} \end{vmatrix}$$

$$J_1 = \begin{vmatrix} \frac{\partial H_2}{\partial \delta_2} & \frac{\partial H_3}{\partial \delta_2} \\ \frac{\partial H_2}{\partial \delta_3} & \frac{\partial H_3}{\partial \delta_3} \end{vmatrix}, J_2 = \begin{vmatrix} \frac{\partial H_2}{\partial |V_2|} & \frac{\partial H_3}{\partial |V_2|} \\ \frac{\partial H_2}{\partial |V_3|} & \frac{\partial H_3}{\partial |V_3|} \end{vmatrix}$$

Setelah dihitung elemen matriks  $J_1$ ,  $J_2$ ,  $J_3$  dan  $J_4$  akan bernilai

$$J_1 = \begin{vmatrix} 9,351 & -4,495 \\ -4,495 & 4,510 \end{vmatrix}, J_2 = \begin{vmatrix} 6,879 & -3,269 \\ -3,269 & 3,239 \end{vmatrix}$$

$$J_3 = \begin{vmatrix} 6,919 & -3,269 \\ -3,269 & -3,299 \end{vmatrix}, J_4 = \begin{vmatrix} -9,319 & 4,495 \\ 4,495 & -4,480 \end{vmatrix}$$

Setelah semua komponen untuk menghitung tegangan sudah di dapatkan maka langkah selanjutknya adalah membentuk operasi matrik sesuai dengan persamaan (3.7)

$$\left[ \begin{array}{c|ccccc} -0,0200 & 9,351 & -4,495 & 6,879 & -3,269 & \Delta\delta_2 \\ -0,0300 & -4,495 & 4,510 & -3,269 & 3,239 & \Delta\delta_3 \\ 0,0159 & 6,919 & -3,269 & -9,139 & 4,495 & \Delta|V_2| \\ 0,0149 & -3,269 & 3,299 & 4,495 & -4,480 & \Delta|V_3| \end{array} \right]$$

Untuk menentukan tegangan sampai kondisi toleransi tertentu maka jacobian matriks dihitung menggunakan perkiraan awal. Update nilai untuk iterasi pertama sebagai berikut

$$\left[ \begin{array}{c} \Delta\delta_2 \\ \Delta\delta_3 \\ \Delta|V_2| \\ \Delta|V_3| \end{array} \right]^0 = \left[ \begin{array}{cccc} 9,351 & -4,495 & 6,879 & -3,269 \\ -4,495 & 4,510 & -3,269 & 3,239 \\ 6,919 & -3,269 & -9,139 & 4,495 \\ -3,269 & 3,299 & 4,495 & -4,480 \end{array} \right]^{-1} \left[ \begin{array}{c} -0,0200 \\ -0,0300 \\ 0,0159 \\ 0,0149 \end{array} \right]$$

Didapatkan nilai .

$$\begin{bmatrix} \Delta\delta_2 \\ \Delta\delta_3 \\ \Delta|V_2| \\ \Delta|V_3| \end{bmatrix}^0 = \begin{bmatrix} -0,0035378 \\ -0,0063219 \\ -0,0091888 \\ -0,0146409 \end{bmatrix}^0 \rightarrow \begin{bmatrix} \delta_2 \\ \delta_3 \\ |V_2| \\ |V_3| \end{bmatrix}^1 = \begin{bmatrix} \delta_2 \\ \delta_3 \\ |V_2| \\ |V_3| \end{bmatrix}^0 + \begin{bmatrix} \Delta\delta_2 \\ \Delta\delta_3 \\ \Delta|V_2| \\ \Delta|V_3| \end{bmatrix}^0$$

Berdasarkan perhitungan pada persamaan diatas didapatkan nilai iterasi tegangan pada iterasi pertama yaitu.

$$\begin{bmatrix} \delta_2 \\ \delta_3 \\ |V_2| \\ |V_3| \end{bmatrix}^1 = \begin{bmatrix} 0 \\ 0 \\ 1 \\ 1 \end{bmatrix} + \begin{bmatrix} -0,0035378 \\ -0,0063219 \\ -0,0091888 \\ -0,0146409 \end{bmatrix} = \begin{bmatrix} -0,00353785rad \\ -0,0063219rad \\ 0,9908111p.u \\ 0,9853590p.u \end{bmatrix}$$

Untuk iterasi kedua, persamaan diselesaikan dengan semua variabel yang digunakan diperoleh dari iterasi pertama.

$$\begin{bmatrix} \Delta\delta_2 \\ \Delta\delta_3 \\ \Delta|V_2| \\ \Delta|V_3| \end{bmatrix}^1 = \begin{bmatrix} 9,289 & -4,450 & 6,845 & -3,241 \\ -4,466 & 4,465 & -3,253 & 3,210 \\ 6,823 & -3,193 & -9,343 & 4,516 \\ -3,223 & 3,224 & 4,507 & -4,500 \end{bmatrix}^{-1} \begin{bmatrix} 0,0000901 \\ -0,000230 \\ 0,0001110 \\ -0,0002513 \end{bmatrix}$$

Didapatkan nilai

$$\begin{bmatrix} \Delta\delta_2 \\ \Delta\delta_3 \\ \Delta|V_2| \\ \Delta|V_3| \end{bmatrix}^1 = \begin{bmatrix} -0,00001706 \\ -0,00009266 \\ 0,000004586 \\ 0,000017065 \end{bmatrix}^1 \rightarrow \begin{bmatrix} \delta_2 \\ \delta_3 \\ |V_2| \\ |V_3| \end{bmatrix}^2 = \begin{bmatrix} \delta_2 \\ \delta_3 \\ |V_2| \\ |V_3| \end{bmatrix}^1 + \begin{bmatrix} \Delta\delta_2 \\ \Delta\delta_3 \\ \Delta|V_2| \\ \Delta|V_3| \end{bmatrix}^1$$

Berdasarkan perhitungan diatas didapatkan nilai pada iterasi kedua yaitu.

$$\begin{bmatrix} \delta_2 \\ \delta_3 \\ |V_2| \\ |V_3| \end{bmatrix}^2 = \begin{bmatrix} -0,00353785rad \\ -0,0063219rad \\ 0,9908111p.u \\ 0,9853590p.u \end{bmatrix} + \begin{bmatrix} -0,00001706 \\ -0,00009266 \\ 0,000004586 \\ 0,000017065 \end{bmatrix} = \begin{bmatrix} -0,0035699rad \\ -0,00641457rad \\ 0,99908157p.u \\ 0,98537613p.u \end{bmatrix}$$

dengan mengulangi prosedur diatas berikut ini adalah hasil perhitungan magnitude dan sudut tegangan pada setiap iterasi 1 sampai dengan iterasi ke-2 dengan ketelitian  $10^{-3}$  dan mismatch 0,000251. Dengan

mengembalikan nilai p.u ke nilai sebenarnya dengan persamaan (3.14) maka didapatkan nilai pada tabel 3.2

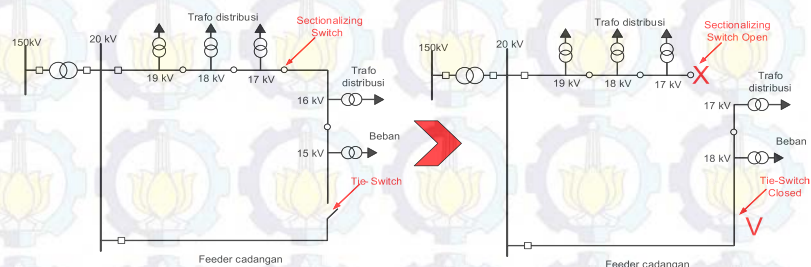
**Tabel 3.2** Hasil analisa aliran daya metode *Newton-Raphson* contoh 3.1

| Bus ke- | Tegangan Ke- (kV) | Sudut (Derajat) |
|---------|-------------------|-----------------|
| 1       | 20                | 0               |
| 2       | 19,81631          | -0,204544       |
| 3       | 19,70752          | -0,36752        |

### 3.2 Rekonfigurasi Jaringan Distribusi Radial

Sistem distribusi secara umum merupakan distribusi radial karena biaya dan proteksi yang sederhana, namun pada distribusi primer pada umumnya terdapat tie dan sectionalizing switch yang dapat digunakan untuk manuver agar keandalan dan fleksibilitas operasi meningkat. Secara umum pada jaringan distribusi primer terdapat switch *normally closed* yaitu *sectionalizing-switch* dan switch yang beroperasi *normally open* yaitu *tie-switch*. Kedua tipe switch tersebut digunakan untuk menanggulangi kondisi darurat dan proteksi serta untuk perawatan jaringan.

Pada kondisi normal konfigurasi jaringan diubah dengan tujuan untuk menurunkan rugi jaringan, maupun memperbaiki tegangan[3]. Konfigurasi sistem dapat diubah dengan melakukan operasi buka-tutup switch pada jaringan distribusi primer.

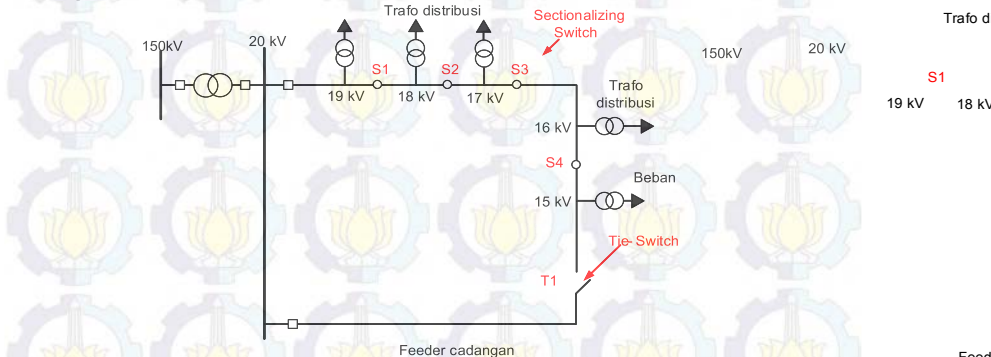


**Gambar 3.3** Ilustrasi rekonfigurasi pada jaringan distribusi

Rekonfigurasi jaringan distribusi dapat digunakan untuk menurunkan rugi-rugi daya dengan mengatur ulang konfigurasi jaringan distribusi sehingga efisiensi daya listrik yang disalurkan meningkat dan

konsumen dapat dilayani dengan baik. Pada tugas akhir ini rekonfigurasi dilakukan pada sistem yang telah terpasang dengan kombinasi switch yang ada agar rekonfigurasi jaringan menghasilkan drop tegangan yang nilai signifikan.

Ilustrasi kombinasi buka dan tutup switch pada jaringan adalah sebagai berikut:



**Gambar 3.4 Tie dan sectionalizing switch pada jaringan distribusi**

Pada gambar 3 terdapat 4 *sectionalizing switch* dan *tie-switch* yang dapat digunakan. Dengan jumlah switch tersebut maka kemungkinan yang bisa dilakukan adalah :

**Tabel 3.3** jumlah kombinasi konfigurasi baru yang mungkin terjadi pada jaringan sederhana pada gambar 3.3

| No kombinasi | Switch open | Switch Closed |
|--------------|-------------|---------------|
| 1            | S1          | T1            |
| 2            | S2          | T1            |
| 3            | S3          | T1            |
| 4            | S4          | T1            |

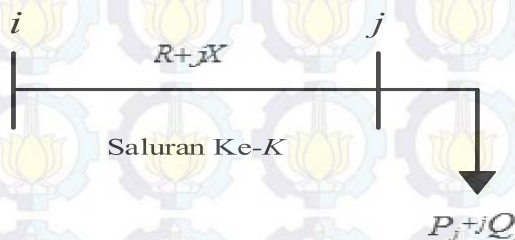
Dari kemungkinan tersebut nantinya dipilih kombinasi baru yang menghasilkan perbaikan tegangan yang lebih baik. Konfigurasi baru dari kombinasi yang dipilih selanjutnya akan digunakan untuk menentukan pada bus mana kapasitor bank akan dipasang.

### 3.3 Loss Sensitivity Factor (LSF) untuk penempatan kapasitor Bank

Kapasitor secara umum digunakan untuk mengkompensasi daya reaktif, mengurangi rugi daya dan mengatur profil tegangan. Langkah dalam pemasangan kapasitor bank pada sistem distribusi radial adalah menentukan nilai kapasitor kemudian menentukan dibus manakah kapasitor tersebut harus dipasang.

Pada kondisi kapasitas kapasitor bank yang tersedia tidak memiliki banyak variasi, sehingga secara teori dan praktik di lapangan, kapasitas kapasitor yang dipasang pada sistem sedikit berbeda. Oleh karena itu dengan mempertimbangkan kapasitas yang tersedia di lapangan nilai kapasitor yang digunakan sudah ditentukan berdasarkan literatur yang sudah ada [7].

Untuk menentukan kandidat bus yang akan dipasang kapasitor. Digunakan sebuah metode yang bernama *Loss Sensitivity Factor* (LSF). Metode ini dilakukan dengan cara melakukan perhitungan faktor sensitifitas rugi-rugi yang di ilustrasikan pada gambar 3.5.



Gambar 3.5 Saluran distribusi dengan impedansi dan beban

Berdasarkan gambar 3.5 rugi-rugi daya aktif  $I^2R$  pada saluran ke- $K$  dapat dituliskan sebagai berikut.

$$P_{loss,j} = \frac{P_j^2 + Q_j^2 \times R_{ij}}{V_j^2} \quad (3.16)$$

Faktor sensitifitas rugi-rugi dapat dihitung dengan persamaan berikut.

$$\frac{\partial P_{loss,j}}{\partial Q_j} = \frac{2 \times Q_j \times R_{ij}}{V_j^2} \quad (3.17)$$

Dari persamaan (3.18) didapatkan rumus LSF sebagai berikut

$$LSF_j = \frac{2 \times Q_j \times R_j}{V_j^2} \quad (3.18)$$

Rugi pada bus yang mempunyai indeks LSF yang besar akan menyebabkan drop tegangan yang besar sehingga lokasi penempatan kapasitor nantinya akan dipilih pada bus yang mempunyai indeks LSF besar.

Semua indeks LSF pada sistem akan dihitung menggunakan persamaan (3.18), kemudian di implementasikan pada IEEE 14 bus modifikasi. Selain mempertimbangkan nilai LSF bus, parameter untuk menentukan lokasi kapasitor adalah indeks normalisasi Dengan persamaan berikut:

$$norm_j = \frac{V_j}{0,95} \quad (3.19)$$

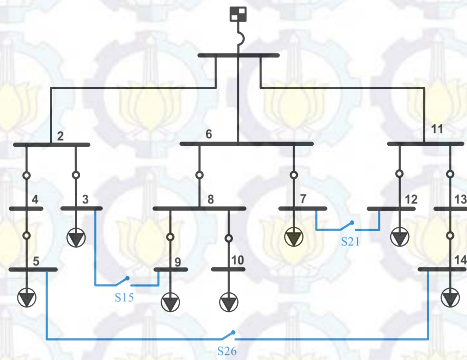
Ketika suatu bus pada sistem, mempunyai indeks LSF dan normalisasi yang jelek maka kandidat bus tersebut akan digunakan sebagai lokasi pemasangan kapasitor bank.



Gambar 3.6 Flow chart penentuan lokasi kapasitor bank

### 3.4 Sistem Distribusi IEEE 16 Bus Modifikasi

Untuk mencoba keberhasilan metode maka metode akan diterapkan pada sistem standart yaitu IEEE 16 bus yang di modifikasi . Berikut ini data saluran maupun beban yang digunakan untuk pengujian.



Gambar 3.7 Single line diagram sistem IEEE 16 bus modifikasi

Tabel 3.4 Data saluran IEEE 16 bus modifikasi

| Switch | Saluran |     | Impedansi |        |
|--------|---------|-----|-----------|--------|
|        | Bus     | Bus | R(ohm)    | X(ohm) |
|        | 1       | 2   | 0,39675   | 0,529  |
| S12    | 2       | 3   | 0,4232    | 0,5819 |
| S13    | 2       | 4   | 0,4761    | 0,9522 |
| S14    | 4       | 5   | 0,2116    | 0,2116 |
|        | 1       | 6   | 0,5819    | 0,5819 |
| S17    | 6       | 7   | 0,5819    | 0,5819 |
| S18    | 6       | 8   | 0,4232    | 0,5819 |
| S19    | 8       | 9   | 0,5819    | 0,5819 |
| S20    | 8       | 10  | 0,4232    | 0,5819 |
|        | 1       | 11  | 0,5819    | 0,5819 |
| S24    | 11      | 12  | 0,4761    | 0,6348 |
| S23    | 11      | 13  | 0,4232    | 0,5819 |
| S25    | 13      | 14  | 0,2116    | 0,2116 |
| S15    | 3       | 9   | 0,4761    | 0,9522 |
| S21    | 7       | 12  | 0,2116    | 0,2116 |
| S26    | 5       | 14  | 0,4761    | 0,2116 |

**Tabel 3.5** Data beban IEEE 16 bus modifikasi

| No<br>Bus | Daya Beban |         |
|-----------|------------|---------|
|           | P(MW)      | Q(MVar) |
| 1         | 0          | 0       |
| 2         | 2          | 1,6     |
| 3         | 3          | 1,5     |
| 4         | 2          | 0,8     |
| 5         | 1,5        | 1,2     |
| 6         | 4          | 2,7     |
| 6         | 1          | 0,9     |
| 8         | 5          | 3       |
| 9         | 0,6        | 0,1     |
| 10        | 4,5        | 3,5     |
| 11        | 1          | 0,9     |
| 12        | 1          | 0,7     |
| 13        | 1          | 0,9     |

## BAB IV

### SIMULASI DAN ANALISIS

Pada bab 4 ini, akan dibahas mengenai simulasi dan analisis metode *Newton-Raphson* pada sistem distribusi radial IEEE 16 bus modifikasi. Langkah pertama untuk pengujian metode adalah simulasi pada konfigurasi awal IEEE 16 bus modifikasi, Selanjutnya adalah melakukan perbaikan tegangan dengan rekonfigurasi jaringan maupun menempatkan kapasitor bank pada sistem.

Untuk mengetahui efek rekonfigurasi jaringan dan kapasitor bank pada sistem maka di lakukan uji coba simulasi dengan beberapa studi kasus sebagai berikut:

**Tabel 4.1** Studi kasus pada simulasi aliran daya

| No. | Studi kasus | Keterangan                                  |
|-----|-------------|---|
| 1   | Kasus 1     | Konfigurasi awal sistem                     |
| 2   | Kasus 2     | Rekonfigurasi Jaringan                      |
| 3   | Kasus 3     | Penempatan Kapasitor Bank                   |
| 4   | Kasus 4     | Rekonfigurasi dan penempatan kapasitor bank |

Dari beberapa kasus diatas kemudian akan dapat ditentukan konfigurasi baru mana yang menghasilkan perbaikan tegangan yang lebih baik dibandingkan konfigurasi awal.

#### 4.1 Analisis Aliran Daya Sistem IEEE 16 Bus (Kasus 1)

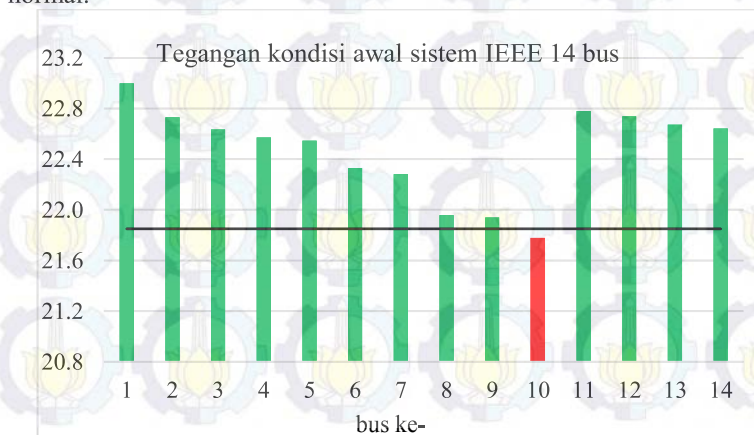
Bab ini akan membahas mengenai simulasi dan analisis aliran daya sistem distribusi radial menggunakan metode *Newton-Raphson*. Dari hasil simulasi pada sistem IEEE 16 bus modifikasi maka didapatkan nilai tegangan agar diketahui kondisi awal sistem sebelum dilakukan upaya perbaikan tegangan dengan rekonfigurasi dan penempatan kapasitor bank pada jaringan.

Berikut ini merupakan hasil analisis aliran daya metode *Newton-Raphson* :

**Tabel 4.2** Hasil perhitungan tegangan metode *Newton-Raphson* pada sistem IEEE 16 bus modifikasi

| Bus No | Tegangan     |                 |
|--------|--------------|-----------------|
|        | besaran (kV) | sudut (derajat) |
| 1      | 23,000       | 0,000           |
| 2      | 22,731       | -0,271          |
| 3      | 22,637       | -0,394          |
| 4      | 22,573       | -0,536          |
| 5      | 22,547       | -0,544          |
| 6      | 22,330       | -0,314          |
| 7      | 22,281       | -0,321          |
| 8      | 21,959       | -0,675          |
| 9      | 21,940       | -0,709          |
| 10     | 21,778       | -0,811          |
| 11     | 22,779       | -0,102          |
| 12     | 22,739       | -0,135          |
| 13     | 22,673       | -0,212          |
| 14     | 22,644       | -0,238          |

Dari tabel 4.2 dapat dilihat bahwa pada kondisi semula rata-rata nilai tegangan semua bus pada sistem berada pada kondisi normal, kecuali pada bus 10 yang mengalami *undervoltage* karena kurang dari 0,95pu. pada kondisi tersebut maka tegangan harus diperbaiki agar menjadi normal.



**Gambar 4.1** Grafik tegangan setiap bus pada kondisi awal sistem

## 4.2 Rekonfigurasi Jaringan Pada sistem IEEE 16 bus (Kasus 2)

Rekonfigurasi pada tugas akhir ini dilakukan dengan *switch* yang sudah terpasang pada sistem. IEEE 16 bus modifikasi mempunyai 3 buah *tie-switch* dan 10 *sectionalizing-switch* yang dapat digunakan untuk merubah konfigurasi jaringan dengan merubah buka tutup switch tersebut. Untuk merubah konfigurasi jaringan dilakukan dengan uji coba buka dan tutup *switch* secara manual. Kombinasi *switch* yang menghasilkan profil tegangan yang lebih baik dari kondisi awal sistem akan dipilih untuk konfigurasi sistem yang baru.

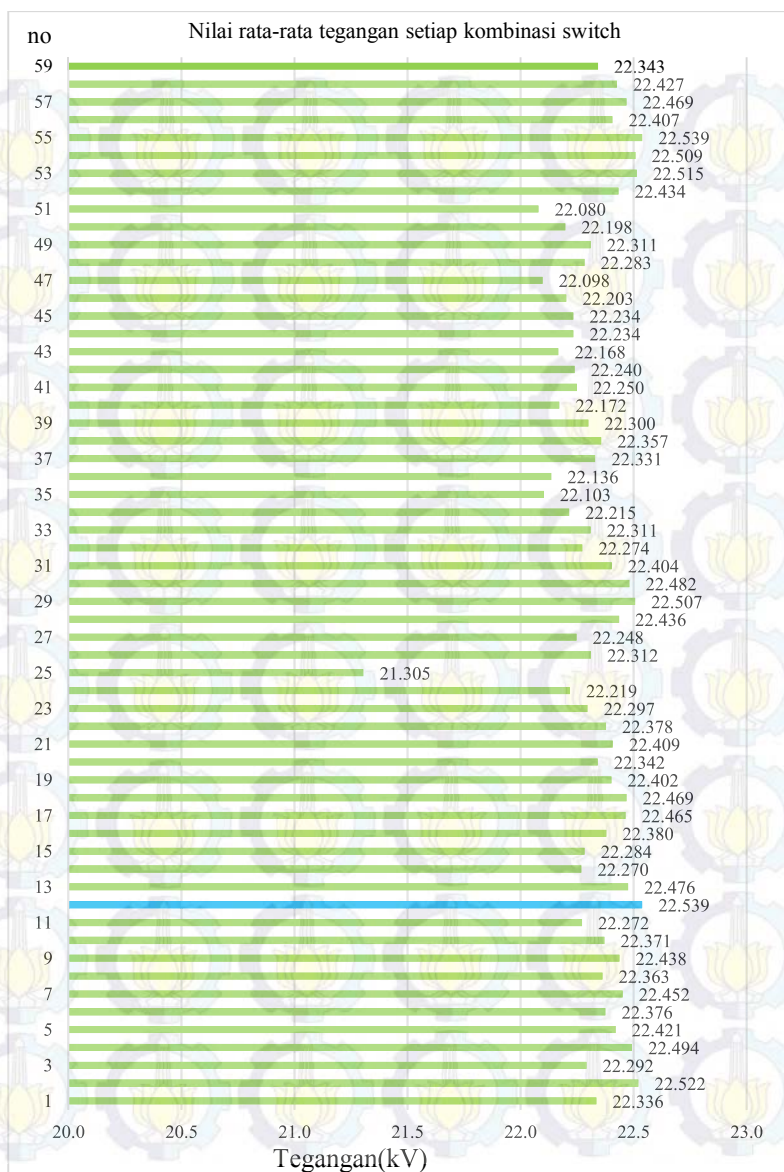
Simulasi yang dilakukan pada penelitian ini dilakukan dengan kombinasi *switch* yang mungkin dilakukan. Berikut ini kombinasi yang dilakukan dalam penelitian :

**Tabel 4.3** Kombinasi rekonfigurasi pada sistem IEEE 16 bus modifikasi

| No | Switch ditutup | Switch dibuka | Rata-rata tegangan | tegangan terendah |
|----|----------------|---------------|--------------------|-------------------|
| 1  |                | 15            | 22,336             | 21,541            |
| 2  |                | 15            | 22,522             | 21,813            |
| 3  |                | 15            | 22,292             | 21,093            |
| 4  |                | 21            | 22,494             | 21,830            |
| 5  |                | 21            | 22,421             | 21,730            |
| 6  |                | 26            | 22,376             | 21,778            |
| 7  |                | 26            | 22,452             | 22,778            |
| 8  |                | 26            | 22,363             | 21,778            |
| 9  |                | 26            | 22,438             | 21,778            |
| 10 | 15&21          | 12&17         | 22,371             | 21,569            |
| 11 | 15&21          | 12&24         | 22,272             | 21,495            |
| 12 | 15&21          | 19&17         | 22,539             | 21,865            |
| 13 | 15&21          | 19&24         | 22,476             | 21,765            |
| 14 | 15&21          | 18&17         | 22,270             | 21,865            |
| 15 | 15&21          | 18&24         | 22,284             | 21,093            |
| 16 | 21&26          | 17&13         | 22,380             | 21,830            |
| 17 | 21&26          | 17&14         | 22,465             | 21,830            |
| 18 | 21&26          | 17&23         | 22,469             | 21,830            |
| 19 | 21&26          | 17&25         | 22,402             | 21,830            |
| 20 | 21&26          | 24&13         | 22,342             | 21,730            |
| 21 | 21&26          | 24&14         | 22,409             | 21,730            |
| 22 | 21&26          | 24&23         | 22,378             | 21,730            |

**Tabel 4.3** kombinasi rekonfigurasi pada sistem IEEE 16 bus modifikasi(Lanjutan)

| No | Switch ditutup | Switch dibuka | Rata-rata tegangan | tegangan terendah |
|----|----------------|---------------|--------------------|-------------------|
| 23 | 21&26          | 24&25         | 22,297             | 21,730            |
| 24 | 15&26          | 12&13         | 22,219             | 22,541            |
| 25 | 15&26          | 12&14         | 21,305             | 21,541            |
| 26 | 15&26          | 12&23         | 22,312             | 21,541            |
| 27 | 15&26          | 12&25         | 22,248             | 21,541            |
| 28 | 15&26          | 19&13         | 22,436             | 21,813            |
| 29 | 15&26          | 19&14         | 22,507             | 21,813            |
| 30 | 15&26          | 19&23         | 22,482             | 21,813            |
| 31 | 15&26          | 19&25         | 22,404             | 21,813            |
| 32 | 15&26          | 18&13         | 22,274             | 21,214            |
| 33 | 15&26          | 18&14         | 22,311             | 21,154            |
| 34 | 15&26          | 18&23         | 22,215             | 21,023            |
| 35 | 15&26          | 18&25         | 22,103             | 20,978            |
| 36 | 15&21&26       | 12&17&13      | 22,136             | 21,595            |
| 37 | 15&21&26       | 12&17&14      | 22,331             | 21,596            |
| 38 | 15&21&26       | 12&17&23      | 22,357             | 21,595            |
| 39 | 15&21&26       | 12&17&25      | 22,300             | 22,595            |
| 40 | 15&21&26       | 12&24&13      | 22,172             | 21,495            |
| 41 | 15&21&26       | 12&24&14      | 22,250             | 21,495            |
| 42 | 15&21&26       | 12&24&23      | 22,240             | 21,495            |
| 43 | 15&21&26       | 12&24&25      | 22,168             | 21,495            |
| 44 | 15&21&26       | 18&17&13      | 22,234             | 21,214            |
| 45 | 15&21&26       | 18&17&14      | 22,234             | 21,214            |
| 46 | 15&21&26       | 18&17&23      | 22,203             | 20,978            |
| 47 | 15&21&26       | 18&17&25      | 22,098             | 21,023            |
| 48 | 15&21&26       | 18&24&13      | 22,283             | 21,214            |
| 49 | 15&21&26       | 18&24&14      | 22,311             | 21,154            |
| 50 | 15&21&26       | 18&24&23      | 22,198             | 21,023            |
| 51 | 15&21&26       | 18&24&25      | 22,080             | 20,978            |
| 52 | 15&21&26       | 19&17&13      | 22,434             | 21,865            |
| 53 | 15&21&26       | 19&17&14      | 22,515             | 21,865            |
| 54 | 15&21&26       | 19&17&23      | 22,509             | 21,865            |
| 55 | 15&21&26       | 19&17&25      | 22,539             | 21,865            |
| 56 | 15&21&26       | 19&24&13      | 22,407             | 21,765            |
| 57 | 15&21&26       | 19&24&14      | 22,469             | 21,752            |
| 58 | 15&21&26       | 19&24&23      | 22,427             | 21,765            |
| 59 | 15&21&26       | 19&24&25      | 22,343             | 21,765            |



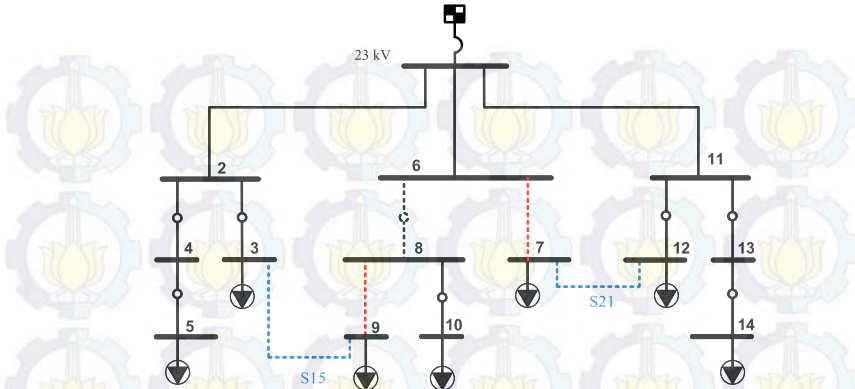
**Gambar 4.2** Rata-rata tegangan sistem dengan setiap kombinasi *switch*

Setelah dilakukan simulasi maka didapatkan hasil peningkatan tegangan yang lebih signifikan dengan melakukan rekonfigurasi sesuai kombinasi nomor 12, dengan cara mengaktifkan *switch* S15(3,9), S21(7,12) serta memutus *switch* S19(3,9) dan S(6,7). Dengan merubah konfigurasi jaringan sesuai kombinasi tersebut rata-rata tegangan semua bus akan menjadi 22,539kV. hasil simulasi yang dilakukan menghasilkan profil tegangan sebagai berikut :

**Tabel 4.4** Hasil analisa tegangan pada konfigurasi baru

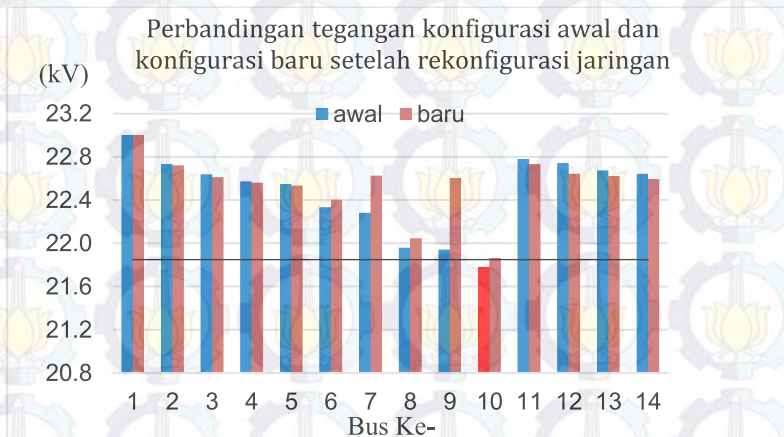
| No Bus    | Tegangan awal Magnitude (kV) | Tegangan baru Magnitude (kV) |
|-----------|------------------------------|------------------------------|
| 1         | 23                           | 23                           |
| 2         | 22,731                       | 22,718                       |
| 3         | 22,637                       | 22,609                       |
| 4         | 22,573                       | 22,559                       |
| 5         | 22,547                       | 22,534                       |
| 6         | 22,330                       | 22,401                       |
| 7         | 22,281                       | 22,625                       |
| 8         | 21,959                       | 22,045                       |
| 9         | 21,940                       | 22,603                       |
| 10        | 21,778                       | 21,865                       |
| 11        | 22,779                       | 22,730                       |
| 12        | 22,739                       | 22,643                       |
| 13        | 22,673                       | 22,623                       |
| 14        | 22,644                       | 22,594                       |
| Rata-rata | 22,472                       | 22,539                       |

Dari data pada tabel 4.4 diperoleh hasil bahwa konfigurasi baru pada sistem ini akan menghasilkan rata-rata peningkatan tegangan yang lebih besar dibandingkan dengan konfigurasi awal. Peningkatan profil tegangan terlihat saat konfigurasi awal rata-rata tegangan setiap bus adalah 22,472kV. Saat menerapkan konfigurasi baru, rata-rata semua bus menjadi sebesar 22,539kV. dapat dilihat pula bahwa tegangan pada bus 10 sebesar 21,865kV sudah menjadi normal yaitu berada di atas diatas 0,95pu akibat rekonfigurasi.



**Gambar 4.3** Konfigurasi baru IEEE 16 bus modifikasi setelah rekonfigurasi

Konfigurasi awal single line diagram IEEE 16 bus modifikasi dapat dilihat pada gambar 3.7, sedangkan konfigurasi baru sistem setelah rekonfigurasi jaringan dapat dilihat di grafik pada gambar 4.3.



**Gambar 4.4** Grafik perbandingan tegangan konfigurasi awal dan konfigurasi baru

### 4.3 Penempatan kapasitor bank pada sistem IEEE 16 bus (Kasus 3)

Pada tugas akhir ini, analisa penempatan kapasitor bank pada jaringan distribusi bertujuan untuk meningkatkan profil tegangan. Lokasi penempatan kapasitor bank ditentukan menggunakan metode *Loss Sensitivity Factor* (LSF). Lokasi penempatan kapasitor bank dilakukan pada bus yang mempunyai indeks LFS terbesar dan mempunyai indeks normalisasi kurang dari 1,01.

**Tabel 4.5** Hasil perhitungan indeks *Loss Sensitivity Factor* konfigurasi awal

| Bus | LSF    | Normaliasi |
|-----|--------|------------|
| 2   | 0,0079 | 1,0403     |
| 3   | 0,0025 | 1,0360     |
| 4   | 0,0037 | 1,0331     |
| 5   | 0,0010 | 1,0319     |
| 6   | 0,0243 | 1,0220     |
| 7   | 0,0021 | 1,0197     |
| 8   | 0,0117 | 1,0050     |
| 9   | 0,0002 | 1,0041     |
| 10  | 0,0062 | 0,9967     |
| 11  | 0,0079 | 1,0425     |
| 12  | 0,0013 | 1,0407     |
| 13  | 0,0031 | 1,0376     |
| 14  | 0,0008 | 1,0363     |

Berdasarkan tabel 4.5 dan penempatan kapasitor bank akan dilakukan pada bus 8 dan bus 10. Nilai kapasitor yang akan digunakan akan dipasang berdasarkan kebutuhan daya reaktif beban total sebesar 18,8MVar. Berdasarkan data tersebut maka nilai kapasitor yang digunakan haruslah lebih kecil dari 18,8Mvar agar tidak terjadi kompensasi yang berlebihan dan tegangan bus menjadi *overvoltage*.

Mengacu pada kapasitas kapasitor yang terdapat di dalam kondisi praktis, kapasitor yang digunakan adalah 1800 kVar. nilai tersebut

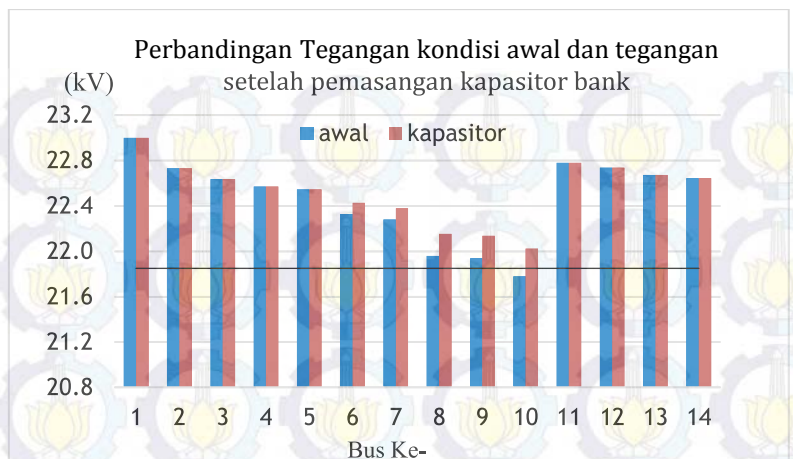
merupakan nilai kapasitor terbesar yang terdapat pada kondisi dilapangan.

**Tabel 4.6** Hasil analisis tegangan akibat penempatan kapasitor bank

| Bus       | Tegangan       |                |
|-----------|----------------|----------------|
|           | magnitude (kV) | magnitude (kV) |
| 1         | 23.000         | 23.000         |
| 2         | 22.731         | 22.731         |
| 3         | 22.637         | 22.637         |
| 4         | 22.573         | 22.573         |
| 5         | 22.547         | 22.547         |
| 6         | 22.330         | 22.429         |
| 7         | 22.281         | 22.379         |
| 8         | 21.959         | 22.155         |
| 9         | 21.940         | 22.136         |
| 10        | 21.778         | 22.023         |
| 11        | 22.779         | 22.779         |
| 12        | 22.739         | 22.739         |
| 13        | 22.673         | 22.673         |
| 14        | 22.644         | 22.644         |
| Rata-rata | 22.472         | 22.532         |

Dari hasil simulasi tersebut akibat pemasangan kapasitor bank pada jaringan, rata-rata tegangan setiap bus akan meningkat menjadi 22,532kV dan bus yang mengalami *undervoltage* yaitu bus 10 menjadi normal setelah pemasangan kapasitor.

Kenaikan rata-rata akibat penempatan kapasitor masih lebih kecil dibandingkan dengan rekonfigurasi jaringan. Perbandingan tegangan antara kondisi awal dan kondisi setelah pemasangan kapasitor bank pada jaringan dapat dilihat pada gambar 4.4 sebagai berikut.



Gambar 4.5 Grafik perbandingan antara tegangan konfigurasi awal dan tegangan akibat pemasangan kapasitor bank

#### 4.4 Rekonfigurasi jaringan dan Penempatan kapasitor bank pada sistem IEEE 16 bus (Kasus 4)

Pada sub bab ini digunakan rekonfigurasi dan kapasitor bank secara bersamaan untuk meningkatkan profil tegangan. Konfigurasi baru yang digunakan adalah konfigurasi pada gambar 4.3. Dari konfigurasi yang sudah dipilih nilai LSF dari setiap bus akan dicari untuk menentukan kandidat bus yang akan digunakan untuk pemasangan kapasitor bank agar menghasilkan perbaikan tegangan yang lebih signifikan. Setelah dilakukan simulasi maka didapatkan hasil sebagai berikut.

Tabel 4.7 Hasil perhitungan indeks *Loss Sensitivity Factor* pada konfigurasi baru

| Bus | LSF     | norm    |
|-----|---------|---------|
| 2   | 0,00807 | 1,03973 |
| 3   | 0,00265 | 1,03475 |
| 9   | 0,00166 | 1,03247 |
| 4   | 0,00225 | 1,03131 |
| 5   | 0,00793 | 1,02522 |

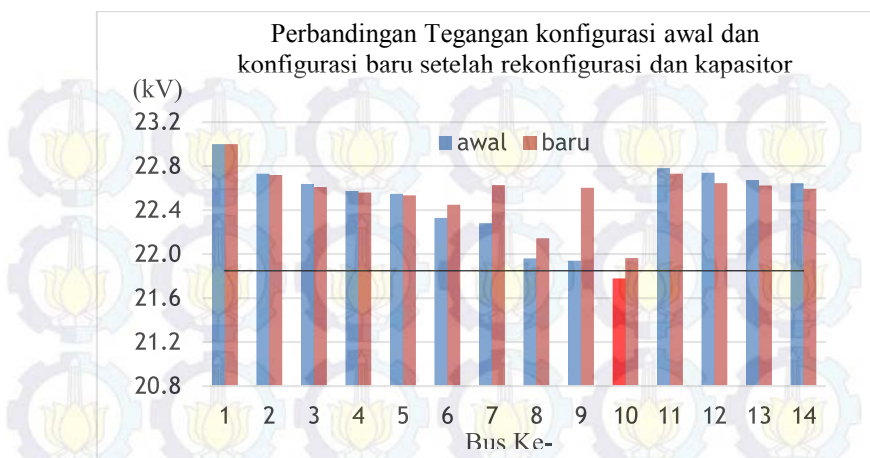
**Tabel 4.7** Hasil perhitungan indeks *Loss Sensitivity Factor* pada konfigurasi baru(Lanjutan)

| Bus | LSF     | norm    |
|-----|---------|---------|
| 6   | 0,00205 | 1,03548 |
| 8   | 0,01139 | 1,00893 |
| 10  | 0,00017 | 1,03445 |
| 11  | 0,00852 | 1,00068 |
| 12  | 0,00816 | 1,04027 |
| 7   | 0,00058 | 1,03629 |
| 13  | 0,00315 | 1,03538 |
| 14  | 0,00083 | 1,03405 |

Dari tabel 4.8 maka kandidat bus yang digunakan untuk pemasangan kapasitor bank adalah bus 8 karena memenuhi syarat normalisasi serta mempunyai indeks LSF yang besar. Setelah dilakukan simulasi maka didapatkan hasil sebagai berikut :

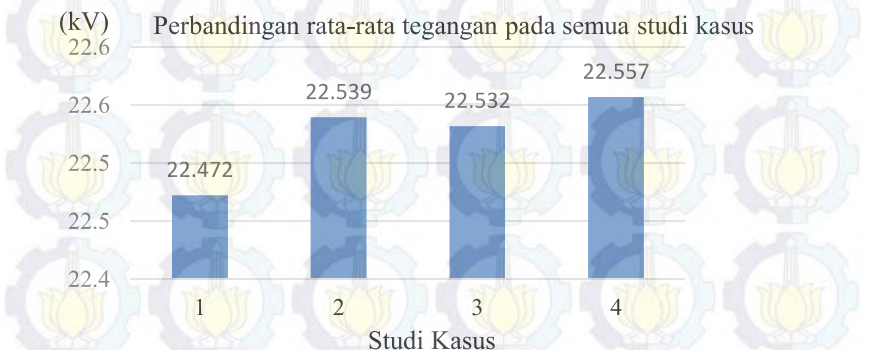
**Tabel 4.8** Hasil analisis tegangan akibat rekonfigurasi dan penempatan kapasitor bank

| No Bus    | Tegangan       |                |
|-----------|----------------|----------------|
|           | magnitude (kV) | magnitude (kV) |
| 1         | 23,000         | 23,000         |
| 2         | 22,731         | 22,718         |
| 3         | 22,637         | 22,609         |
| 4         | 22,573         | 22,559         |
| 5         | 22,547         | 22,534         |
| 6         | 22,330         | 22,450         |
| 7         | 22,281         | 22,625         |
| 8         | 21,959         | 22,143         |
| 9         | 21,940         | 22,603         |
| 10        | 21,778         | 21,963         |
| 11        | 22,779         | 22,730         |
| 12        | 22,739         | 22,643         |
| 13        | 22,673         | 22,623         |
| 14        | 22,644         | 22,594         |
| Rata-rata | 22,472         | 22,557         |



**Gambar 4.6** Grafik perbandingan antara tegangan konfigurasi awal dan tegangan akibat rekonfigurasi jaringan dan pemasangan kapasitor bank

Apabila hanya rekonfigurasi jaringan atau hanya penempatan kapasitor yang digunakan untuk memperbaiki profil tegangan, maka penggunaan rekonfigurasi jaringan dan kapasitor bank secara bersamaan .



**Gambar 4.7** Grafik perbandingan rata-rata tegangan untuk semua studi kasus

Dari grafik 4.5 rekonfigurasi dan kapasitor bank dapat dilakukan untuk memperbaiki profil tegangan. Namun peningkatan tegangan yang lebih signifikan terjadi ketika rekonfigurasi jaringan dan kapasitor bank dilakukan secara bersamaan.

## 4.5 Perbandingan Analisis Aliran Daya Metode *Newton-Raphson* Untuk Aplikasi Rekonfigurasi dan Penempatan Kapasitor Dengan ETAP 12,6

Untuk mengetahui akurasi perhitungan, baik implementasi metode *Newton-Raphson* maupun rekonfigurasi jaringan serta pemasangan kapasitor bank, maka metode tersebut perlu pembandingan dan validasi untuk membuktikan kebenaran metode tersebut.

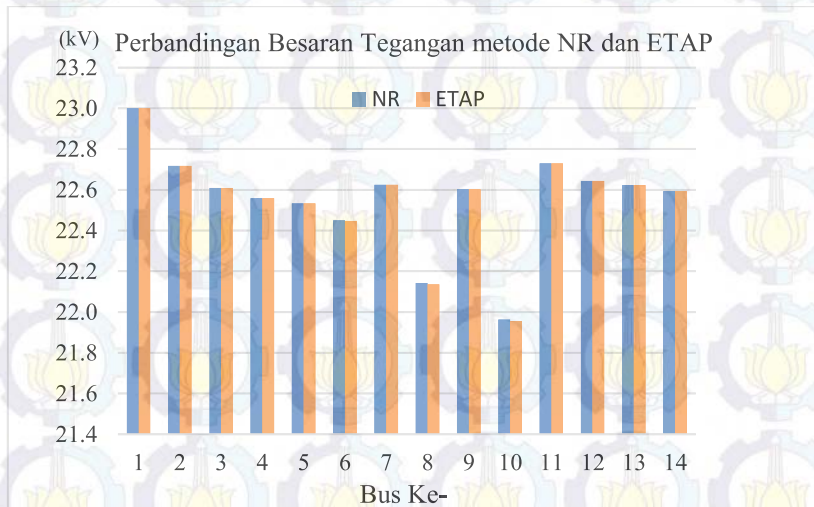
Pada tugas akhir ini ETAP 12,6 digunakan sebagai pembanding karena *software* tersebut mampu digunakan untuk analisa aliran daya sistem distribusi dan sudah digunakan secara riil pada industri.

Berikut adalah data perbandingan hasil analisa aliran daya metode *Newton-Raphson* dengan software etap 12,6 untuk sistem IEEE 16 bus modifikasi.

**Tabel 4.9** Hasil validasi perhitungan tegangan metode *Newton-Raphson* pada IEEE 16 bus dengan konfigurasi baru dan kapasitor

| Bus No | Newton-Raphson |                 | ETAP         |                 | Error (%) |         |
|--------|----------------|-----------------|--------------|-----------------|-----------|---------|
|        | Tegangan       |                 | Tegangan     |                 |           |         |
|        | Besaran (kV)   | sudut (derajat) | Besaran (kV) | sudut (derajat) | besaran   | sudut   |
| 1      | 23,00000       | 0,00000         | 23,00000     | 0,00000         | 0,00000   | 0,00000 |
| 2      | 22,71799       | -0,30120        | 22,71802     | -0,30120        | 0,00011   | 0,00077 |
| 3      | 22,60934       | -0,45935        | 22,60923     | -0,45935        | 0,00048   | 0,00097 |
| 4      | 22,55937       | -0,56741        | 22,55932     | -0,56741        | 0,00022   | 0,00009 |
| 5      | 22,53402       | -0,57457        | 22,53402     | -0,57457        | 0,00002   | 0,00083 |
| 6      | 22,44997       | -0,39082        | 22,44639     | -0,38228        | 0,01594   | 2,23388 |
| 7      | 22,62524       | -0,16694        | 22,62533     | -0,16694        | 0,00038   | 0,00049 |
| 8      | 22,14274       | -0,79873        | 22,13566     | -0,78390        | 0,03199   | 1,89138 |
| 9      | 22,60278       | -0,47121        | 22,60279     | -0,47121        | 0,00003   | 0,00052 |
| 10     | 21,96324       | -0,93272        | 21,95603     | -0,91799        | 0,03285   | 1,60478 |
| 11     | 22,72997       | -0,10802        | 22,72998     | -0,10802        | 0,00004   | 0,00421 |
| 12     | 22,64301       | -0,16457        | 22,64304     | -0,16457        | 0,00012   | 0,00161 |
| 13     | 22,62297       | -0,21947        | 22,62303     | -0,21947        | 0,00028   | 0,00185 |
| 14     | 22,59393       | -0,24556        | 22,59382     | -0,24556        | 0,00049   | 0,00127 |

Berdasarkan validasi pada tabel 4.3 dapat dilihat bahwa hasil perhitungan tegangan setelah rekonfigurasi dan penempatan kapasitor bank mempunyai *error* yang cukup kecil dibandingkan dengan ETAP 12,6. Nilai *error* terbesar yang dihasilkan sebesar 0,03285 % untuk besaran dan 2,23388 % untuk sudut tegangan.



**Gambar 4.8** Grafik Perbandingan Tegangan Hasil Metode *Newton-Raphson* Dengan ETAP pada IEEE 16 bus modifikasi dengan konfigurasi baru dan kapasitor bank.

## DAFTAR PUSTAKA

1. U. Thongkrajay, N. Poolsawat, T Ratniyomchai & T. Kulwanichpong "Alternative Newton-Raphson Power Flow Calculation in Unbalance Three-Phase Distribution Systems", Proceedings of 5th WSEAS International conference on Application of electrical engineering . 2, Mei 2007
2. Horacio Diaz R., Ildefonso Harnisch V., Raul Sanhueza H., "Feeder Reconfiguration And Capacitor Placement In Distribution Systems: An Approach For Simultaneous Solution Using A Genetic Algorithm", Revista Chilena de ingnierira, Vol 18 No 1, 2010,pp 144-153.
3. Suhadi, "Teknik Distribusi Tenaga Listrik", Departemen pendidikan nasional, jakarta, 17 agustus 2008.
4. Penangsang, Ontoseno. "Analisis Aliran Daya". ITS Press, Surabaya, 2006.
5. Saadat, Hadi. "Power System Analysis (Second Edition)", McGraw-Hill Education (Asia). Singapore, 2004.
6. T. Kulwanichpong " Simplfied Newton-Raphson power flow solution method", Journal of electrical and energy systems 32(2010) 551-558. , Thailand, 6 Nopember 2009.
7. Mirzaeian, Dehkordi. "Optimal Capacitor Placement and Sizing in TABRIZ Distribution System Using Loss Sensitivity Factors and Particle Swarm Optimization (PSO)", ITS, Surabaya, 2012.
8. Priambodo, Pungky. "Analisis Aliran Daya Tiga Fasa Tidak Seimbang Menggunakan Metode K-Matrik Dan  $Z_{br}$  Pada Sistem Distribusi 20kV Kota Surabaya", ITS, Surabaya, 2012.



*Halaman ini sengaja dikosongkan*

## BAB 5

### PENUTUP

#### 5.1 KESIMPULAN

Memperbaiki tegangan pada jaringan distribusi IEEE 16 bus modifikasi dengan rekonfigurasi jaringan akan meningkatkan rata-rata tegangan dari 22,447kV menjadi 22,539kV. Memperbaiki tegangan dengan kapasitor bank akan meningkatkan profil tegangan menjadi 22,532 sedangkan saat menggunakan rekonfigurasi dan kapasitor bank akan menghasilkan profil tegangan menjadi 22,557kV.

Berdasarkan hasil yang didapatkan dari simulasi dan analisis pada tugas akhir ini, dapat diambil kesimpulan bahwa analisa aliran daya metode *Newton-Raphson* dapat digunakan untuk aplikasi rekonfigurasi dan penempatan kapasitor bank pada IEEE 16 bus modifikasi. Berdasarkan hasil validasi dengan software ETAP metode *Newton-Raphson* mempunyai *error* terbesar dengan nilai 0.03285%

#### 5.2 SARAN

Saran yang dapat diberikan untuk perbaikan dan pengembangan simulasi ini adalah sebagai berikut :

Mempertimbangkan penerapan kecerdasan buatan untuk rekonfigurasi jaringan dan penentuan lokasi kapasitor agar penentuan konfigurasi baru berjalan lebih cepat.



*Halaman ini sengaja dikosongkan*

## Lampiran

Tabel 5. Tegangan yang dihasilkan setiap kombinasi rekonfigurasi

| kombinasi | 1           | 2           | 3           | 4           | 5           | 6           |
|-----------|-------------|-------------|-------------|-------------|-------------|-------------|
| No        | teg<br>(kV) | teg<br>(kV) | teg<br>(kV) | teg<br>(kV) | teg<br>(kV) | teg<br>(kV) |
| 1         | 23,000      | 23,000      | 23,000      | 23,000      | 23,000      | 23,000      |
| 2         | 22,820      | 22,369      | 22,718      | 22,841      | 22,787      | 22,627      |
| 3         | 21,541      | 21,886      | 22,609      | 22,747      | 22,692      | 22,532      |
| 4         | 22,662      | 22,207      | 22,559      | 22,203      | 22,711      | 22,318      |
| 5         | 22,637      | 22,182      | 22,534      | 22,229      | 22,444      | 22,245      |
| 6         | 22,202      | 22,780      | 22,350      | 22,330      | 22,330      | 22,330      |
| 7         | 22,152      | 22,732      | 22,301      | 22,281      | 22,281      | 22,281      |
| 8         | 21,726      | 21,280      | 21,993      | 21,959      | 21,959      | 21,959      |
| 9         | 21,585      | 21,720      | 22,603      | 21,940      | 21,940      | 21,940      |
| 10        | 21,543      | 21,093      | 21,813      | 21,778      | 21,778      | 21,778      |
| 11        | 22,779      | 22,779      | 22,779      | 22,633      | 22,708      | 22,908      |
| 12        | 22,739      | 22,739      | 22,739      | 22,592      | 22,668      | 22,868      |
| 13        | 22,673      | 22,673      | 22,673      | 22,405      | 22,541      | 22,142      |
| 14        | 22,644      | 22,644      | 22,644      | 22,323      | 22,487      | 22,160      |
| Rata-rata | 22,336      | 22,292      | 22,522      | 22,376      | 22,452      | 22,363      |

Tabel 5. Tegangan yang dihasilkan setiap kombinasi rekonfigurasi (Lanjutan)

| kombinasi | 7           | 8           | 9           | 10          | 11          | 12          |
|-----------|-------------|-------------|-------------|-------------|-------------|-------------|
| No        | teg<br>(kV) | teg<br>(kV) | teg<br>(kV) | teg<br>(kV) | teg<br>(kV) | teg<br>(kV) |
| 1         | 23,000      | 23,000      | 23,000      | 23,000      | 23,000      | 23,000      |
| 2         | 22,668      | 22,731      | 22,731      | 22,820      | 22,820      | 22,718      |
| 3         | 22,573      | 22,637      | 22,637      | 21,493      | 21,595      | 22,609      |
| 4         | 22,421      | 22,573      | 22,573      | 22,662      | 22,662      | 22,559      |
| 5         | 22,366      | 22,547      | 22,547      | 22,637      | 22,637      | 22,534      |
| 6         | 22,330      | 22,382      | 22,284      | 22,155      | 22,253      | 22,401      |
| 7         | 22,281      | 22,625      | 22,190      | 22,060      | 22,625      | 22,625      |
| 8         | 21,959      | 22,011      | 21,912      | 21,678      | 21,779      | 22,045      |
| 9         | 21,940      | 21,992      | 21,893      | 21,537      | 21,639      | 22,603      |
| 10        | 21,778      | 21,830      | 21,730      | 21,495      | 21,596      | 21,865      |
| 11        | 22,860      | 22,730      | 22,823      | 22,823      | 22,730      | 22,730      |
| 12        | 22,819      | 22,643      | 22,174      | 22,044      | 22,643      | 22,643      |
| 13        | 22,818      | 22,623      | 22,717      | 22,717      | 22,623      | 22,623      |
| 14        | 22,311      | 22,594      | 22,688      | 22,688      | 22,594      | 22,594      |
| Rata-rata | 22,438      | 22,494      | 22,421      | 22,272      | 22,371      | 22,539      |

Tabel 5. Tegangan yang dihasilkan setiap kombinasi rekonfigurasi (Lanjutan)

| kombinasi<br>No | 13<br>teg<br>(kV) | 14<br>teg<br>(kV) | 15<br>teg<br>(kV) | 16<br>teg<br>(kV) | 17<br>teg<br>(kV) | 18<br>teg<br>(kV) |
|-----------------|-------------------|-------------------|-------------------|-------------------|-------------------|-------------------|
| 1               | 23,000            | 23,000            | 23,000            | 23,000            | 23,000            | 23,000            |
| 2               | 22,369            | 22,369            | 22,718            | 22,787            | 22,841            | 22,668            |
| 3               | 21,886            | 21,886            | 22,609            | 22,692            | 22,747            | 22,573            |
| 4               | 22,207            | 22,207            | 22,559            | 22,711            | 22,151            | 22,421            |
| 5               | 22,182            | 22,182            | 22,534            | 22,393            | 22,178            | 22,366            |
| 6               | 22,829            | 22,736            | 22,304            | 22,382            | 22,382            | 22,382            |
| 7               | 22,625            | 22,643            | 22,210            | 22,553            | 22,477            | 22,706            |
| 8               | 21,280            | 21,280            | 21,947            | 22,011            | 22,011            | 22,011            |
| 9               | 21,720            | 21,720            | 22,603            | 21,992            | 21,992            | 21,992            |
| 10              | 21,093            | 21,093            | 21,765            | 21,830            | 21,830            | 21,830            |
| 11              | 22,730            | 22,823            | 22,823            | 22,658            | 22,582            | 22,811            |
| 12              | 22,643            | 22,627            | 22,193            | 22,571            | 22,495            | 22,724            |
| 13              | 22,623            | 22,717            | 22,717            | 22,491            | 22,354            | 22,769            |
| 14              | 22,594            | 22,688            | 22,688            | 22,436            | 22,272            | 22,311            |
| Rata-rata       | 22,270            | 22,284            | 22,476            | 22,465            | 22,380            | 22,469            |

Tabel 5. Tegangan yang dihasilkan setiap kombinasi rekonfigurasi (Lanjutan)

| kombinasi<br>No | 19<br>teg<br>(kV) | 20<br>teg<br>(kV) | 21<br>teg<br>(kV) | 22<br>teg<br>(kV) | 23<br>teg<br>(kV) | 24<br>teg<br>(kV) |
|-----------------|-------------------|-------------------|-------------------|-------------------|-------------------|-------------------|
| 1               | 23,000            | 23,000            | 23,000            | 23,000            | 23,000            | 23,000            |
| 2               | 22,627            | 22,841            | 22,787            | 22,627            | 22,668            | 22,928            |
| 3               | 22,532            | 22,747            | 22,692            | 22,532            | 22,573            | 21,541            |
| 4               | 22,318            | 22,248            | 22,711            | 22,318            | 22,421            | 22,203            |
| 5               | 22,245            | 22,275            | 22,488            | 22,245            | 22,366            | 22,229            |
| 6               | 22,382            | 22,284            | 22,284            | 22,284            | 22,284            | 22,202            |
| 7               | 22,755            | 22,190            | 22,190            | 22,190            | 22,190            | 22,152            |
| 8               | 22,011            | 21,912            | 21,912            | 21,912            | 21,912            | 21,726            |
| 9               | 21,992            | 21,893            | 21,893            | 21,893            | 21,893            | 21,585            |
| 10              | 21,830            | 21,730            | 21,730            | 21,730            | 21,730            | 21,543            |
| 11              | 22,860            | 22,677            | 22,752            | 22,952            | 22,903            | 22,633            |
| 12              | 22,773            | 22,174            | 22,174            | 22,174            | 22,174            | 22,592            |
| 13              | 22,142            | 22,450            | 22,586            | 22,142            | 22,862            | 22,405            |
| 14              | 22,160            | 22,368            | 22,531            | 22,160            | 22,311            | 22,323            |
| Rata-rata       | 22,402            | 22,342            | 22,409            | 22,297            | 22,378            | 22,219            |

Tabel 5. Tegangan yang dihasilkan setiap kombinasi rekonfigurasi (Lanjutan)

| kombinasi | 25       | 26       | 27       | 28       | 29       | 30       |
|-----------|----------|----------|----------|----------|----------|----------|
| No        | teg (kV) |
| 1         | 23,000   | 23,000   | 23,000   | 23,000   | 23,000   | 23,000   |
| 2         | 22,875   | 22,717   | 22,757   | 22,828   | 22,774   | 22,614   |
| 3         | 21,541   | 21,541   | 21,541   | 22,720   | 22,665   | 22,505   |
| 4         | 22,800   | 22,409   | 22,511   | 22,203   | 22,698   | 22,304   |
| 5         | 22,444   | 22,336   | 22,456   | 22,229   | 22,444   | 22,231   |
| 6         | 22,202   | 22,202   | 22,202   | 22,350   | 22,350   | 22,350   |
| 7         | 22,152   | 22,152   | 22,152   | 22,301   | 22,301   | 22,301   |
| 8         | 21,726   | 21,726   | 21,726   | 21,993   | 21,993   | 21,993   |
| 9         | 21,585   | 21,585   | 21,585   | 22,713   | 22,659   | 22,498   |
| 10        | 21,543   | 21,543   | 21,543   | 21,813   | 21,813   | 21,813   |
| 11        | 22,708   | 22,908   | 22,860   | 22,633   | 22,708   | 22,908   |
| 12        | 22,668   | 22,868   | 22,819   | 22,592   | 22,668   | 22,868   |
| 13        | 22,541   | 22,233   | 22,818   | 22,405   | 22,541   | 22,128   |
| 14        | 22,487   | 22,251   | 22,402   | 22,323   | 22,487   | 22,146   |
| Rata-rata | 22,305   | 22,248   | 22,312   | 22,436   | 22,507   | 22,404   |

Tabel 5. Tegangan yang dihasilkan setiap kombinasi rekonfigurasi (Lanjutan)

| kombinasi | 31       | 32       | 33       | 34       | 35       | 36       |
|-----------|----------|----------|----------|----------|----------|----------|
| No        | teg (kV) |
| 1         | 23,000   | 23,000   | 23,000   | 23,000   | 23,000   | 23,000   |
| 2         | 22,655   | 22,482   | 22,426   | 22,261   | 22,303   | 22,928   |
| 3         | 22,546   | 22,003   | 21,945   | 21,776   | 21,819   | 21,595   |
| 4         | 22,407   | 22,203   | 22,349   | 21,946   | 22,051   | 22,151   |
| 5         | 22,352   | 22,229   | 22,444   | 21,871   | 21,995   | 22,178   |
| 6         | 22,350   | 22,780   | 22,780   | 22,780   | 22,780   | 22,253   |
| 7         | 22,301   | 22,732   | 22,732   | 22,732   | 22,732   | 22,477   |
| 8         | 21,993   | 21,400   | 21,340   | 21,166   | 21,211   | 21,779   |
| 9         | 22,539   | 21,837   | 21,779   | 21,608   | 21,652   | 21,639   |
| 10        | 21,813   | 21,214   | 21,154   | 20,978   | 21,023   | 21,596   |
| 11        | 22,860   | 22,633   | 22,708   | 22,908   | 22,860   | 22,582   |
| 12        | 22,819   | 22,592   | 22,668   | 22,868   | 22,819   | 22,495   |
| 13        | 22,818   | 22,405   | 22,541   | 21,766   | 22,818   | 22,354   |
| 14        | 22,298   | 22,323   | 22,487   | 21,785   | 21,940   | 22,272   |
| Rata-rata | 22,482   | 22,274   | 22,311   | 22,103   | 22,215   | 22,236   |

Tabel 5. Tegangan yang dihasilkan setiap kombinasi rekonfigurasi (Lanjutan)

| kombinasi | 37       | 38       | 39       | 40       | 41       | 42       |
|-----------|----------|----------|----------|----------|----------|----------|
| No        | teg (kV) |
| 1         | 23,000   | 23,000   | 23,000   | 23,000   | 23,000   | 23,000   |
| 2         | 22,875   | 22,717   | 22,757   | 22,928   | 22,875   | 22,717   |
| 3         | 21,595   | 21,595   | 21,595   | 21,493   | 21,493   | 21,493   |
| 4         | 22,800   | 22,409   | 22,511   | 22,248   | 22,800   | 22,409   |
| 5         | 22,393   | 22,336   | 22,456   | 22,275   | 22,488   | 22,336   |
| 6         | 22,253   | 22,253   | 22,253   | 22,155   | 22,155   | 22,155   |
| 7         | 22,553   | 22,755   | 22,706   | 22,060   | 22,060   | 22,060   |
| 8         | 21,779   | 21,779   | 21,779   | 21,678   | 21,678   | 21,678   |
| 9         | 21,639   | 21,639   | 21,639   | 21,537   | 21,537   | 21,537   |
| 10        | 21,596   | 21,596   | 21,596   | 21,495   | 21,495   | 21,495   |
| 11        | 22,658   | 22,860   | 22,811   | 22,677   | 22,752   | 22,952   |
| 12        | 22,571   | 22,773   | 22,724   | 22,044   | 22,044   | 22,044   |
| 13        | 22,491   | 22,233   | 22,769   | 22,450   | 22,586   | 22,233   |
| 14        | 22,436   | 22,251   | 22,402   | 22,368   | 22,531   | 22,251   |
| Rata-rata | 22,331   | 22,300   | 22,357   | 22,172   | 22,250   | 22,168   |

Tabel 5. Tegangan yang dihasilkan setiap kombinasi rekonfigurasi (Lanjutan)

| kombinasi | 43       | 44       | 45       | 46       | 47       | 48       |
|-----------|----------|----------|----------|----------|----------|----------|
| No        | teg (kV) |
| 1         | 23,000   | 23,000   | 23,000   | 23,000   | 23,000   | 23,000   |
| 2         | 22,757   | 22,482   | 22,426   | 22,261   | 22,303   | 22,828   |
| 3         | 21,493   | 22,003   | 21,945   | 21,776   | 21,819   | 22,720   |
| 4         | 22,511   | 22,248   | 22,349   | 21,946   | 22,051   | 22,151   |
| 5         | 22,456   | 22,275   | 22,488   | 21,871   | 21,995   | 22,178   |
| 6         | 22,155   | 22,736   | 22,736   | 22,736   | 22,736   | 22,401   |
| 7         | 22,060   | 22,643   | 22,643   | 22,643   | 22,643   | 22,477   |
| 8         | 21,678   | 21,400   | 21,340   | 21,166   | 21,211   | 22,045   |
| 9         | 21,537   | 21,837   | 21,779   | 21,608   | 21,652   | 22,713   |
| 10        | 21,495   | 21,214   | 21,154   | 20,978   | 21,023   | 21,865   |
| 11        | 22,903   | 22,677   | 22,752   | 22,952   | 22,903   | 22,582   |
| 12        | 22,044   | 22,627   | 22,627   | 22,627   | 22,627   | 22,495   |
| 13        | 22,862   | 22,450   | 22,586   | 21,766   | 22,862   | 22,354   |
| 14        | 22,402   | 22,368   | 22,531   | 21,785   | 21,940   | 22,272   |
| Rata-rata | 22,240   | 22,283   | 22,311   | 22,080   | 22,198   | 22,434   |

Tabel 5. Tegangan yang dihasilkan setiap kombinasi rekonfigurasi (Lanjutan)

| kombinasi | 49       | 50       | 51       | 52       | 53       | 54       |
|-----------|----------|----------|----------|----------|----------|----------|
| No        | teg (kV) |
| 1         | 23,000   | 23,000   | 23,000   | 23,000   | 23,000   | 23,000   |
| 2         | 22,774   | 22,718   | 22,655   | 22,828   | 22,774   | 22,614   |
| 3         | 22,665   | 22,609   | 22,546   | 22,720   | 22,665   | 22,505   |
| 4         | 22,698   | 22,559   | 22,407   | 22,248   | 22,698   | 22,304   |
| 5         | 22,393   | 22,534   | 22,352   | 22,275   | 22,488   | 22,231   |
| 6         | 22,401   | 22,401   | 22,401   | 22,304   | 22,304   | 22,304   |
| 7         | 22,553   | 22,625   | 22,706   | 22,210   | 22,210   | 22,210   |
| 8         | 22,045   | 22,045   | 22,045   | 21,947   | 21,947   | 21,947   |
| 9         | 22,659   | 22,603   | 22,539   | 22,713   | 22,659   | 22,498   |
| 10        | 21,865   | 21,865   | 21,865   | 21,765   | 21,765   | 21,765   |
| 11        | 22,658   | 22,730   | 22,811   | 22,677   | 22,752   | 22,952   |
| 12        | 22,571   | 22,643   | 22,724   | 22,193   | 22,193   | 22,193   |
| 13        | 22,491   | 22,623   | 22,769   | 22,450   | 22,586   | 22,128   |
| 14        | 22,436   | 22,594   | 22,298   | 22,368   | 22,531   | 22,146   |
| Rata-rata | 22,515   | 22,539   | 22,509   | 22,407   | 22,469   | 22,343   |

Tabel 5. Tegangan yang dihasilkan setiap kombinasi rekonfigurasi (Lanjutan)

| kombinasi | 55       | 56       | 57       | 58       | 59       |
|-----------|----------|----------|----------|----------|----------|
| No        | teg (kV) |
| 1         | 23,000   | 23,000   | 23,000   | 23,000   | 23,000   |
| 2         | 22,655   | 22,482   | 22,482   | 22,261   | 22,303   |
| 3         | 22,546   | 22,003   | 22,003   | 21,776   | 21,819   |
| 4         | 22,407   | 22,151   | 22,151   | 21,946   | 22,051   |
| 5         | 22,352   | 22,178   | 22,178   | 21,871   | 21,995   |
| 6         | 22,304   | 22,829   | 22,829   | 22,829   | 22,829   |
| 7         | 22,210   | 22,477   | 22,477   | 22,755   | 22,706   |
| 8         | 21,947   | 21,400   | 21,400   | 21,166   | 21,211   |
| 9         | 22,539   | 21,837   | 21,837   | 21,608   | 21,652   |
| 10        | 21,765   | 21,214   | 21,214   | 20,978   | 21,023   |
| 11        | 22,903   | 22,582   | 22,582   | 22,860   | 22,811   |
| 12        | 22,193   | 22,495   | 22,495   | 22,773   | 22,724   |
| 13        | 22,862   | 22,354   | 22,354   | 21,766   | 22,769   |
| 14        | 22,298   | 22,272   | 22,272   | 21,785   | 21,940   |
| Rata-rata | 22,427   | 22,234   | 22,234   | 22,098   | 22,203   |